AUTORIZAÇÃO PARA PUBLICAÇÃO AUTHORIZATION FOR PUBLICATION

	PALAVRAS CHAN	/ES/KEY WORDS	AUTORIZADA POR	AUTHORIZED BY-	
E 1	INTEGRAÇÃO NUMÉRICA FRANSFORMAÇÃO DE TEMPO FEMPO FICTÍCIO	ESTABILIZAÇÃO REGULARIZAÇÃO	Marco Anton Diretor	10 Raupp	
AUTOR RESPONSAVEL RESPONSIBLE AUTHOR INTERNA / INTERNAL Sebastião C.P. Gomes DISTRIBUIÇÃO/DISTRIBUTION INTERNA / INTERNAL EXTERNA / EXTERNAL RESTRITA / RESTRICTED		REVISADA POR Wilson C.C.	CSilvz da Silva		
521.	.3:629.7.076	/UDC	Dezembro		
TITLE	PUBLICAÇÃO Nº PUBLICATION NO INPE-4555-TDL/330 INVESTIGAÇÃO SOBRE OS EFEITOS DA TRANSFORMA ÇÃO DE TEMPO, ESTABILIZAÇÃO E REGULARIZA ÇÃO EM PROPAGAÇÃO NUMÉRICA DE ÖRBITA		PG/D PROJE	ORIGEM ORIGIN PG/DCG PROJETO PROJECT FRH/CEA	
τίτυιο/πτιε			Nº DE PAG. NO OF PAGES 192	ULTIMA PAGL LAST PAGE 175	
AUTORES/AUTHORSHIP	Sebastião Cícero Pinh	neiro Gomes	VERSÃO VERSION	Nº DE MAPAS NO OF MAPS	

RESUMO-NOTAS/ABSTRACT-NOTES

Este trabalho tem por objetivo investigar várias formulações da equações diferenciais do movimento orbital para utilização em propagação numé rica de órbita. As teorias que deram origem às diversas formulações são apre sentadas em conjunto com simulações numéricas. As simulações foram efetuadas utilizando-se três integradores numéricos distintos com tamanho fixo de passo, a saber: Runge-Kutta de quarta ordem, Runge-Kutta de oitava ordem e preditor -corretor de oitava ordem. Inicialmente foram estudadas a transformação do ti po Sundman de tempo, que produz um controle analítico do tamanho do passo; a estabilização das equações diferenciais que promove melhoramentos no comporta mento numérico da integração; e a regularização, que elimina as singularidades nas equações diferenciais do movimento kepleriano. Em seguida, uma nova trans formação de tempo foi proposta com o objetivo de se obter um controle analíti co mais eficiente do tamanho do passo, numa tentativa de redistribuir de forma mais equitativa os comprimentos de arco ao longo de uma revolução orbital. No ta-se que em todas as diferentes formulações, o tempo físico é obtido numerica mente como uma coordenada generalizada do sistema. Dedicou-se então um capítu lo ao estudo do erro global dessa coordenada bem como sua influência na obter ção da órbita propagada. Também, um mecanismo conhecido como elemento de tempo para se obter o tempo físico de forma mais precisa, foi estudado. Finalmente, foram apresentadas conclusões gerais bem como conclusões quanto a eficiencia das formulações em termos de precisão e tempo de processamento.

- OBSERVAÇÕES/REMARKS -

Dissertação de Mestrado em Ciência Espacial, aprovada em novembro de 1987.

Aprovada pela Banca Examinadora
em cumprimento a requisito exigido
para a obtenção do Título de Mestre
em Ciência Espacial

Dr. Luiz Danilo Damasceno Ferreira

Dr. Wilson Custodio Canesin da Silva

Orientador

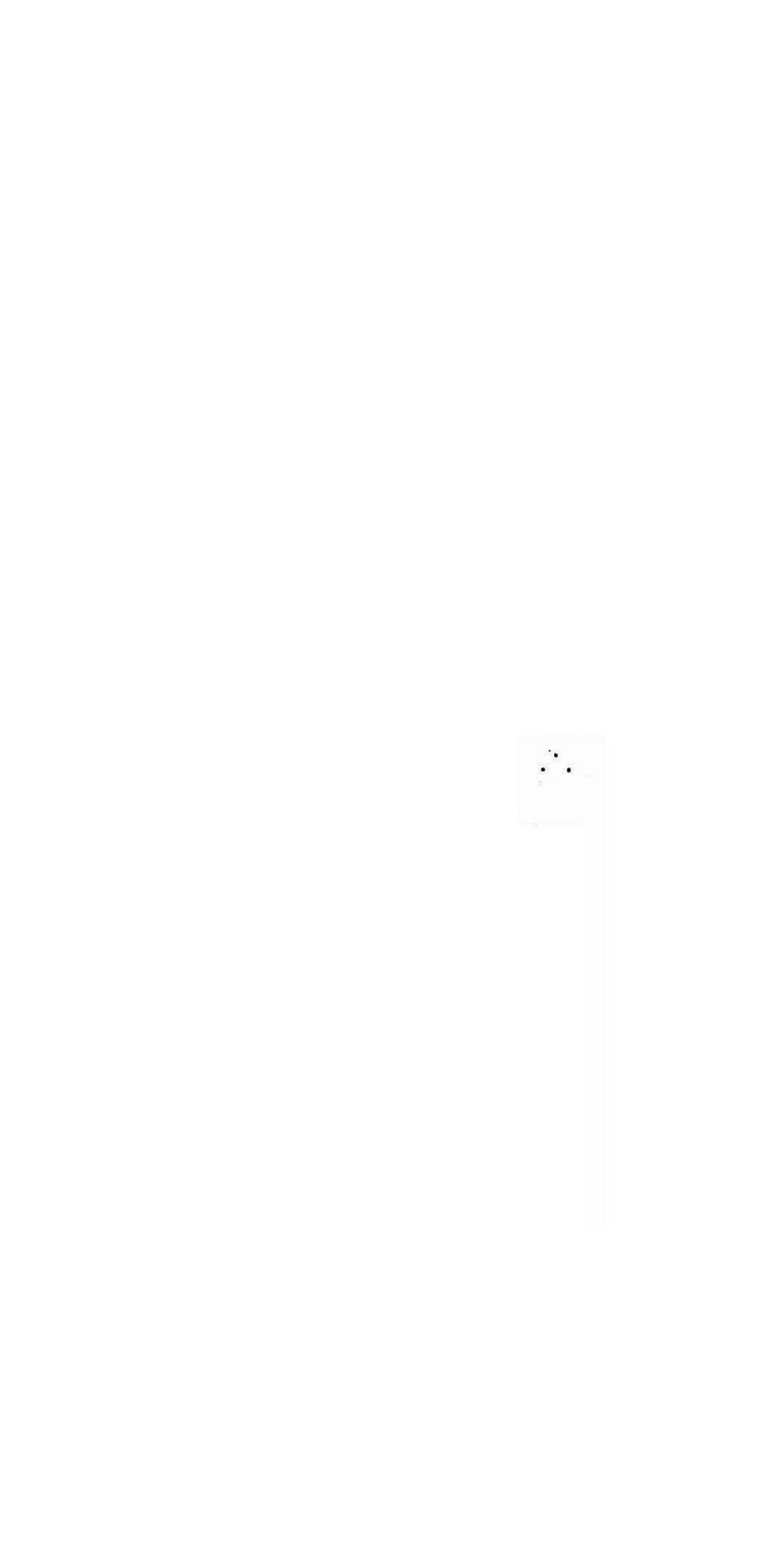
Dr. Roberto Vieira Martins

Dr. Rodolpho Vilhena de Moraes

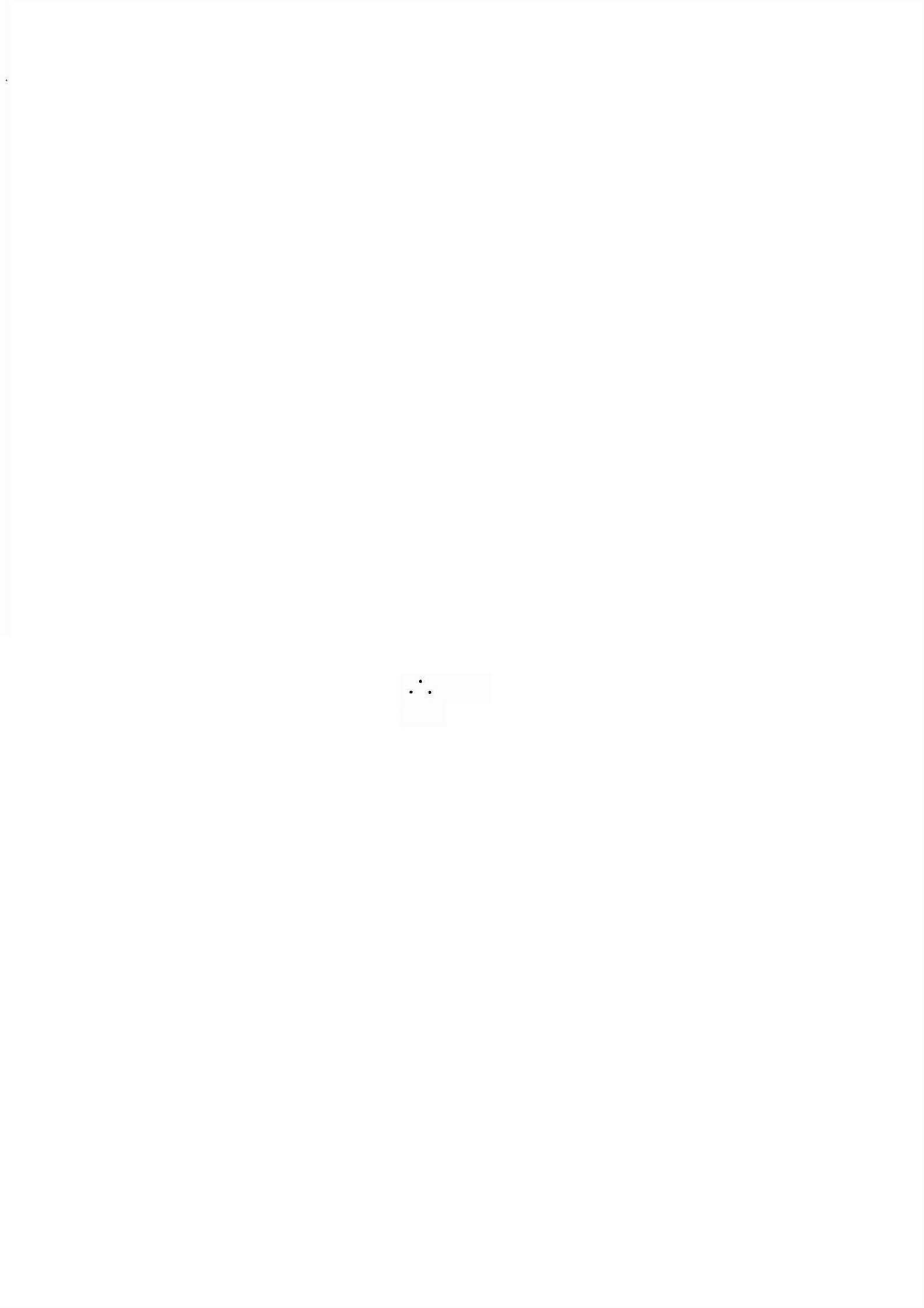
Membro da Banca -convidado-

Membro da Banca -convidado-

Candidato: Sebastião Cicero Pinheiro Gomes



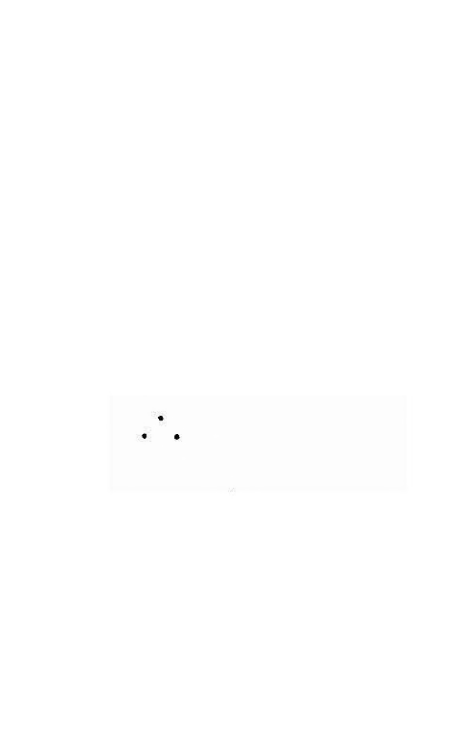
Aos meus pais, Manoel Gomes de Souza e Diva Pinheiro Gomes.



AGRADECIMENTOS

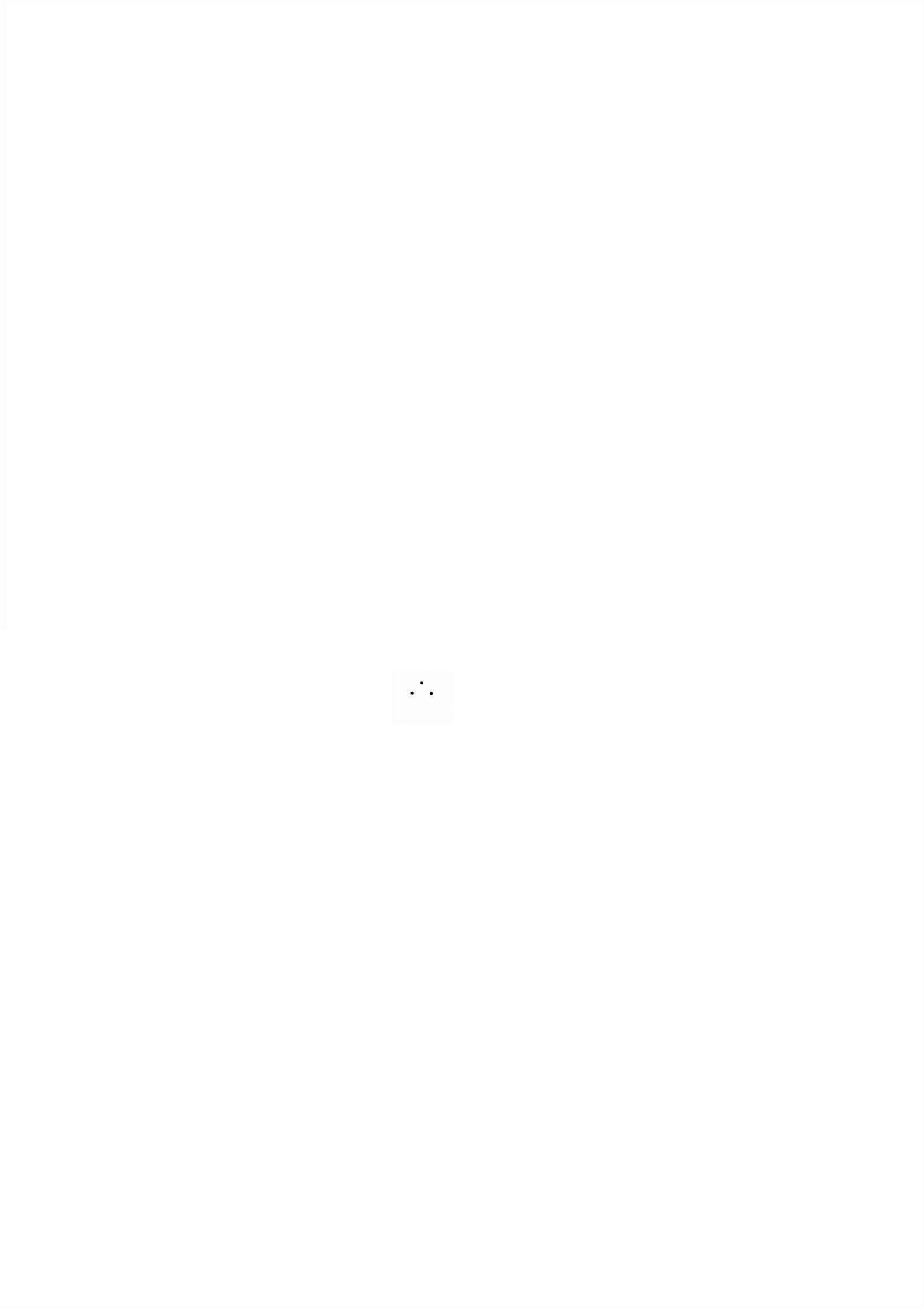
Ao Dr. Wilson Custódio Canesin da Silva, por sua orienta ção técnica e pessoal durante todo o desenvolvimento do presente trabalho.

Ao MSc. Hélio Koiti Kuga, que apesar de não constar of<u>i</u> cialmente também como orientador por não ter ainda concluído o seu do<u>u</u> torado, orientou-me de fato desde o início do trabalho, transmitind<u>o</u> -me sempre confiança e conhecimento técnico.



ABSTRACT

This work aims at investigating several formulations of the differential equations of the orbital motion for use in numerical orbit propagation. The theories which gave rise to various formulations are presented along with simulations of numerical propagation. The simulations were carried out using three different numerical integrators with fixed step size, namely: fourth order Runge-Kutta, eighth order Runge-Kutta and eighth order multistep predictor-corretor. At first, studied were the Sundman time transformation, which yields and analytical step size control; the stabilization of differential equations, which promotes enhancements on the numerical behaviour of the integration; and the regularization, which eliminates the singularities in the differential equations of keplerian motion. Afterwards, a new time transformation was proposed, in order to obtain a more efficient analytical step size control in an attempt to redistribute more equitably the arc lengths along one orbital revolution. It's noted that in all different formulations the physical time is obtained numerically as a generalized coordinate of the system. Because of this, a full chapter to study the global error on this coordinate as well as its influence when obtaining the propagated orbit. Also, a mechanism called time element to obtain a more accurate physical time was studied. Finally, some general conclusion as well as some comments about the efficiency of the formulations in terms of accuracy and processing time were presented.



SUMARIO

	Pag.
*	
LISTA DE FIGURAS	хi
LISTA DE TABELAS	xiii
CAPÍTULO 1 - INTRODUÇÃO	1
CAPÎTULO 2 - PERTURBAÇÕES NA ÖRBITA DE SATÉLITES ARTIFICIAIS TER RESTRES	5
2.1 - Pertubações devidas ao geopotencial	6
2.2 - Pertubações devidas ao arrasto atmosférico	.9
2.3 - Pertubações devidas à pressão de radiação solar direta	1.0
2.3.1 - Albedo terrestre	1.0
2.4 - Pertubações devidas a ação gravitacional de um terceiro corpo	11.
2.5 - Pertubações devidas às marés terrestres	12
2.6 - Efeitos das forças perturbadoras sobre os elementos orbitais	12
CAPÍTULO 3 - TRANSFORMAÇÃO DE TEMPO	19
3.1 - Considerações sobre a integração numérica	19
3.2 - Transformação de tempo	21
3.3 - Resultado de testes computacionais e conclusões	23
CAPÍTULO 4 - ESTABILIZAÇÃO DO SISTEMA DE EQUAÇÕES DIFERENCIAIS DO MOVIMENTO ORBITAL	35
4.1 - Estudo sobre o comportamento dinâmico em órbita kepleria na circular	35
4.2 - Estabilização do sistema de equações diferenciais orbitais	40
4.3 - Resultado de testes computacionais e conclusões	46
CAPÍTULO 5 - REGULARIZAÇÃO	57
5.1 - Regularização em movimento unidimensional	57
5.2 - Regularização em movimento bidimensional	59
5.3 - Regularização em movimento tridimensional	65
5.3.1 - Considerações sobre a matriz KS	67
5 3 2 - Fanações regulares do movimento no espaço	68

	Pág.
5.4 - Considerações sobre a integração numérica	71
5.4.1 - Condições iniciais da integração	73
5.5 - Resultado de testes computacionais e conclusões	74
CAPÍTULO 6 - ESTUDO EM MOVIMENTO PERTURBADO	81
6.1 - Perturbação em movimento orbital	81
6.2 - Mecanismo de parada no tempo físico final	83
6.3 - Resultado de testes computacionais e conclusões	85
6.3.1 - Sistema em tempo físico em órbita perturbada	85
6.3.2 - Sistema transformado em órbita perturbada	90
6.3.3 - Sistema estabilizado em órbita perturbada	94
6.3.4 - Sistema regularizado em órbita perturbada	99
6.4 - Análises gráficas e conclusões finais	104
CAPÍTULO 7 - PROPOSTA DE TRANSFORMAÇÃO DE TEMPO	111
7.1 - Motivação da transformação proposta	111
7.2 - A formulação proposta	112
7.3 - O novo tempo fictício	116
7.4 - Resultado de testes computacionais e conclusões	119
CAPÍTULO 8 - A COORDENADA DE TEMPO FÍSICO	129
8.1 - Erro na coordenada de tempo físico	129
8.2 - Testes com o mecanismo de parada	136
8.3 - Conclusões	139
CAPÍTULO 9 - ELEMENTOS DE TEMPO	141
9.1 - O elemento de tempo	141
9.2 - Testes computacionais e conclusões	144
CAPÍTULO 10 - CONCLUSÕES	161.
10.1 - Conclusões gerais	161
10.2 - Conclusões quanto ao custo e precisão de resultados	164
10.3 - Sugestão para futuras aplicações	171
DEPENDENCIAC DIDITOCHÁPICAC	172

LISTA DE FIGURAS

	Pág.
2.1 - Sistema inercial equatorial geocêntrico	5
2.2 - Sistemas equatoriais inercial e geocêntrico terrestre	7
2.3 - Sistema geocêntrico no qual originalmente obtem-se o gradiente do geopotencial	8
2.4 - Comportamento do semi-eixo maior no tempo	14
2.5 - Comportamento da excentricidade no tempo	15
2.6 - Comportamento da inclinação no tempo	15
2.7 - Comportamento da ascenção reta do nodo ascendente no tem	16
2.8 - Comportamento do argumento do perigeu no tempo	16
2.9 - Comportamento da anomalia média sem a componente kepleriana	1.7
3.1 - Erro em posição dos sistemas em tempo físico e transfor mado utilizando-se um Runge-Kutta de oitava ordem, dados da Tabela 3.2	33
4.1 - Configuração do sistema em coordenadas polares	of 35
4.2 - Orbitas circulares solução $(r = r_1)$ e deslocada $(r = r_2)$.	36
4.3 - Orbitas solução (i) e deslocada (e)	39
4.4 - Sistemas transformado e estabilizado propagados em um Runge-Kutta de oitava ordem com um tamanho de passo equivalente ao período orbital sobre vinte (T/20)	54
5.1 - Sistemas estabilizado e regularizado, propagados em um preditor-corretor de oitava ordem e com T/20 para tamanho	*
de passo	78
6.1 - Situação de convergência	84
6.2 - Sistemas em tempo físico, transformado, estabilizado e regularizado, propagados em um Runge-Kutta de quarta ordem e com T/60 para tamanho de passo	105
6.3 - Sistemas em tempo físico, transformado, estabilizado e regularizado, propagados em um Runge-Kutta de oitava ordem e com T/20 para tamanho de passo	106
6.4 - Sistemas em tempo físico (T/60), transformado, estabilizado e regularizado, propagados em um preditor -corretor de oitava ordem e com T/20 para tamanho de passo	107

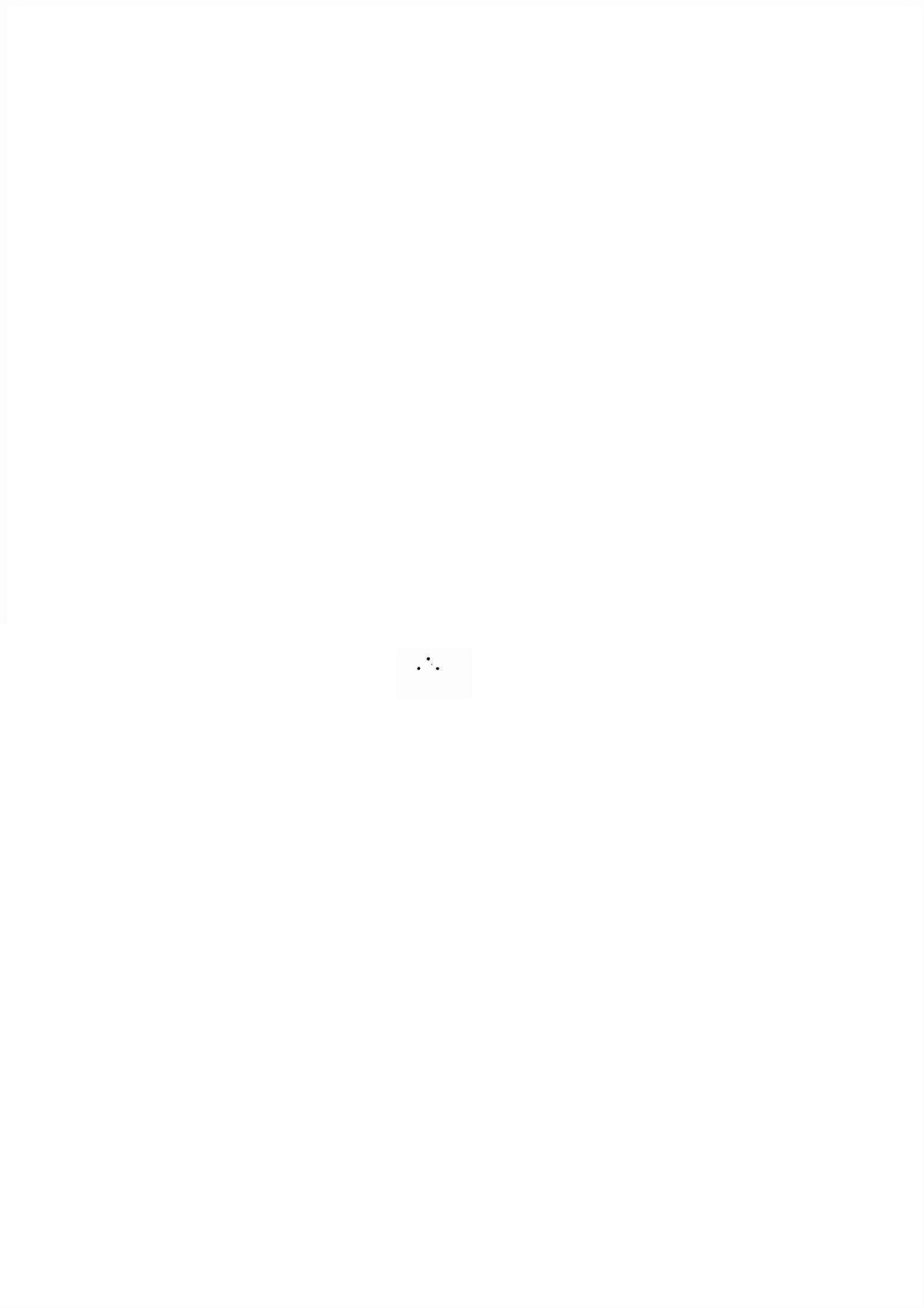
			Pāg.
7.1		Órbitas com os sistemas em tempo físico e transformado, com seus respectivos comprimentos de arco	112
7.2	-	Variação do intervalo de tempo físico em função da anomalia média, obtida com um preditor-corretor de oitava ordem em conjunto com o sistema transformado	118
7.3	-	Variação do intervalo de tempo físico em função da anomalia media, obtida com um preditor-corretor de oitava ordem em conjunto com o sistema proposto	118
7.4	-	Erro em função da excentricidade para os sistemas transformado e proposto, propagados em um Runge-Kutta de oitava or dem, com T/20 para tamanho de passo	125
7.5	-	Erro em função da excentricidade para os sistemas regularizado e proposto, propagados em um preditor-corretor de oita va ordem com T/60 para tamanho de passo, mais a curva do sistema proposto para os tamanhos ótimos de passo	126
8.1	_	Erro global da coordenada de tempo físico em órbita com excentricidade nula	131
8.2	_	Variação do erro da Figura 8.2	131
8.3	-	Erro global da coordenada de tempo físico em órbita com excentricidade 0,2	132
8.4	-	Variação do erro da Figura 8.3	132
8.5	-	Erro global da coordenada de tempo físico em órbita com excentricidade 0,4	133
8.6	-	Variação do erro da Figura 8.5	133
		Erro global da coordenada de tempo físico em órbita com excentricidade 0,6	134
8.8	_	Variação do erro da Figura 8.7	134
		Erro global da coordenada de tempo físico em órbita com excentricidade 0,8	135
8.1	0	- Variação do erro da Figura 8.9	135
9.1	_	Sistemas transformado, com e sem elemento de tempo, propaga dos em um Runge-Kutta de oitava ordem e com T/20 para tama nho de passo	
9.2	-	Sistemas transformado, com e sem elemento de tempo, propaga dos em um Runge-Kutta de quarta ordem e com T/60 para tama nho de passo	
9.3	-	Sistemas regularizado sem elemento de tempo, regularizado com elemento de tempo e estabilizado com elemento de tempo, em um Runge-Kutta de quarta ordem e com T/60 para tamanho de passo	

LISTA DE TABELAS

	Pág.
2.1 - Ordem de grandeza das forças específicas perturbadoras	13
3.1 - Sistemas em tempo físico e transformado, propagados em um Runge-Kutta de quarta ordem	27
3.2 - Sistemas em tempo físico e transformado, propagados em um Runge-Kutta de oitava ordem	28
3.3 - Sistemas em tempo físico e transformado, propagados em um preditor-corretor de oitava ordem	29
4.1 - Sistema estabilizado, propagado em Runge-Kutta de quarta or dem	51
4.2 - Sistema estabilizado, propagado em um Runge-Kutta de oita va ordem	52
4.3 - Sistema estabilizado, propagado em um preditor-corretor de oitava ordem	53
5.1 - Sistema regularizado propagado em um Runge-Kutta de quarta ordem	75
5.2 - Sistema regularizado propagado em um Runge-Kutta de oitava ordem	76
5.3 - Sistema regularizado propagado em um preditor-corretor de oitava ordem	77
6.1 - Sistema em tempo físico, com perturbação, propagado em Runge-Kutta de quarta ordem	87
6.2 - Sistema em tempo físico, com perturbação, propagado em um Runge-Kutta de oitava ordem	88
6.3 - Sistema em tempo físico, com perturbação, propagado em um preditor-corretor de oitava ordem	89
6.4 - Sistema transformado, com perturbação, propagado em um Runge-Kutta de quarta ordem	91
6.5 - Sistema transformado, com perturbação, propagado em um Runge-Kutta de oitava ordem	92
6.6 - Sistema transformado, com perturbação, propagado em um pre ditor-corretor de oitava ordem	93
6.7 - Sistema estabilizado, com perturbação, propagado em um Runge-Kutta de quarta ordem	96
6.8 - Sistema estabilizado, com perturbação, propagado em um Run qe-Kutta de oitava ordem	97
6.9 - Sistema estabilizado, com perturbação, propagado em um preditor-corretor de oitava ordem	98

	<u>Pág.</u>
6.10 - Sistema regularizado, com perturbação, propagado em um Runge-Kutta de quarta ordem	101
6.11 - Sistema regularizado, com perturbação, propagado em um Runge-Kutta de oitava ordem	102
6.12 - Sistema regularizado, com perturbação, propagado em um preditor-corretor de oitava ordem	103
7.1 - Sistema proposto, propagado em um Runge-Kutta de quarta-or dem	121
7.2 - Sistema proposto, propagado em um Runge-Kutta de oitava-or dem	122
7.3 - Sistema proposto, propagado em um preditor-corretor de oi tava ordem	123
7.4 - Sistema proposto, propagado em um preditor-corretor com tamanho ótimo de passo	124
8.1 - Erros com paradas no tempo físico final obtidos de forma analítica e numérica	137
8.2 - Erros em posição e velocidade em órbita kepleriana	138
8.3 - Erros em posição e velocidade em órbita perturbada	139
9.1 - Sistema transformado, com elemento de tempo, propagado em um Runge-Kutta de quarta ordem	145
9.2 - Sistema estabilizado, com elemento de tempo, propagado em um Runge-Kutta de quarta ordem	146
9.3 - Sistema regularizado, com elemento de tempo, propagado em um Runge-Kutta de quarta ordem	147
9.4 - Sistema transformado, com elemento de tempo, propagado em um Runge-Kutta de oitava ordem	148
9.5 - Sistema estabilizado, com elemento de tempo, propagado em um Runge-Kutta de oitava ordem	149
9.6 - Sistema regularizado, com elemento de tempo, propagado em um Runge-Kutta de oitava ordem	150
9.7 - Sistema transformado, com elemento de tempo, propagado em um preditor-corretor de oitava ordem	151
9.8 - Sistema estabilizado, com elemento de tempo, propagado em um preditor-corretor de oitava ordem	152
9.9 - Sistema regularizado, com elemento de tempo, propagado em um preditor-corretor de oitava ordem	153
10.1 - Eficiência dos diferentes conjuntos para excentricidades no intervalo 0 . 0.2	166

	Pág.
10.2 - Eficiência dos diferentes conjuntos para excentricidades no intervalo 0,2 , 0,4	167 [.]
10.3 - Eficiência dos diferentes conjuntos para excentricidades no intervalo 0,4 , 0,6	168
10.4 - Eficiência dos diferentes conjuntos para excentricidades no intervalo 0,6 , 0,8	169
10.5 - Quantidades de resultados ótimos das diferentes formula ções, extraídos de um tótal de trinta e seis resultados apresentados	170



CAPÍTULO 1

INTRODUÇÃO

Este trabalho tem por objetivo o estudo sobre diferentes formas de se escrever as equações diferenciais do movimento orbital, vi sando uma propagação numérica. Não se estudará os integradores numéricos mas sim as diferentes formulações, embora se explore as interações en tre ambos.

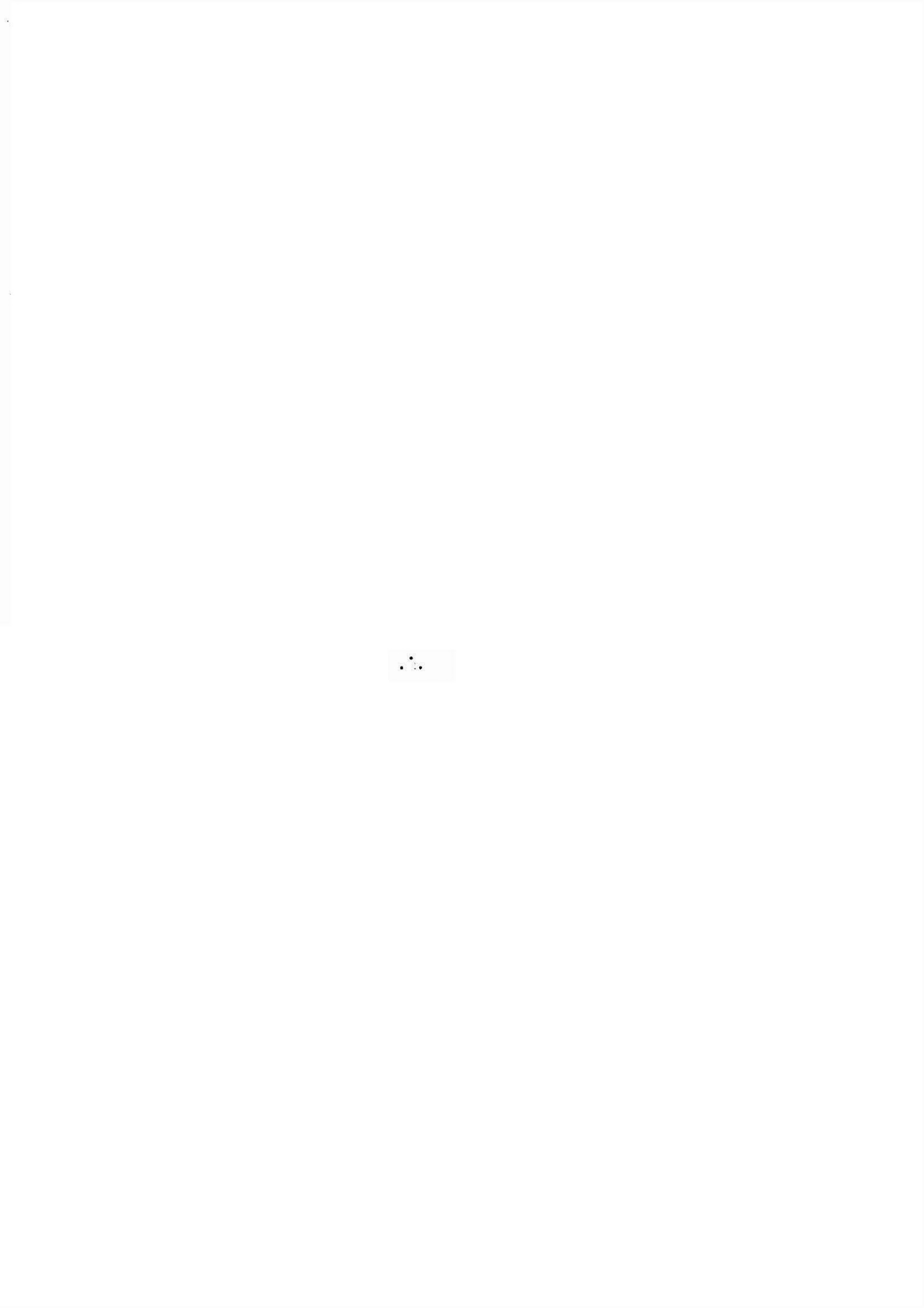
O trabalho está subdividido em dez capítulos dos quais os oito intermediários formam o seu corpo, sendo este a introdução e o último as conclusões. O Capítulo 2 trata das perturbações que atuam so bre um satélite artificial em movimento orbital e em seu final, uma ta bela relatando as ordens de grandeza das perturbações é apresentada. No Capítulo 3 é apresentada a primeira das diferentes formulações. Tra ta-se da transformação do tipo Sundman de tempo na versão da anomalia excêntrica. Uma vez efetuada a transformação, o sistema passa a ser cha mado de sistema transformado e sua variável independente é conhecida como tempo fictício. Após o desenvolvimento teórico, resultados de testes computacionais de propagação em movimento não perturbado apresentados e comparados com resultados de propagações em tempo físico. Aqui ressalta-se que o termo em tempo físico refere-se ao sistema equações diferenciais do movimento orbital, possuindo o tempo físico co mo variável independente. No Capítulo 4 estuda-se uma segunda formula ção conhecida como estabilização, que faz uso da energia mecânica tal do movimento. O sistema é então chamado de sistema estabilizado e sua variável independente é o tempo fictício. Após a apresentação teó rica, testes computacionais são mostrados novamente considerando-se movimento não perturbado. O Capítulo 5 contém uma terceira conhecida como regularização. Após a regularização, o sistema é então chamado de sistema regularizado e este além de se desenvolver no tempo fictício, que como será visto varia de forma não linear com o tempo fí sico, desloca-se em um espaço de quatro dimensões. Apresenta-se inicial mente o desenvolvimento teórico da formulação e em seguida, resultados

de testes de propagação numérica envolvendo também movimen to orbital não perturbado. No Capítulo 6 são apresentados resul tados de testes de propagações em movimento perturbado. Nele as formu lações em tempo físico, transformado, estabilizado e regularizado fo ram propagadas considerando-se o segundo harmônico do geopotencial como efeito perturbador. Diversas tabelas e gráficos são apresentados, além de conclusões sobre as diferentes formulações. No Capítulo 7 propõe-se uma nova transformação de tempo. Qualquer transformação tem seu valor associado à forma mais ou menos equitativa na qual redistribuirá comprimentos de arco ao longo de uma revolução, conforme será visto em detalhe. Este Capítulo destina-se a mostrar que podem haver transfor mações outras que melhor cumpram seu objetivo. São apresentados resul teórico, tados de testes computacionais logo após o desenvolvimento testes estes efetuados em movimento perturbado com o segundo harmônico do geopotencial. O Capítulo 8 trata-se especificamente de um estudo so bre a coordenada de tempo físico. As diferentes formulações volvem no tempo fictício e precisa-se parar a propagação em um tempo físico qualquer. Com isto, o tempo físico precisa ser obtido em cada passo de integração, passando então a ser uma coordenada do sistema dinâmico. Esta coordenada, como qualquer outra, possui o seu erro numérico embutido e neste capítulo, curvas contendo o erro global da referida coordenada são traçadas, concluindo-se também quan to a influência deste erro na obtenção dos erros em posição e velocida de ao término da propagação. No Capítulo 9, estuda-se mecanismos que foram desenvolvidos com o objetivo de se obter a coordenada de tempo fí sico com um maior nível de precisão. São os chamados elementos de tempo. Após a apresentação teórica, são apresentados resultados de testes compu tacionais, concluindo-se em seguida sobre a eficiência e viabilidade da utilização de tais elementos em propagação numérica de órbita. No Capí tulo 10 estão reunidas as principais conclusões de âmbito geral obti das neste trabalho. Nele os diversos testes computacionais são con' frontados segundo critérios de eficiência, tanto em precisão quanto em custo do processamento. Finaliza-se com sugestões para futuras aplica ções das diferentes formulações em problemas reais de satélites arti ficiais.

Neste trabalho, três integradores numéricos foram utilizados na elaboração dos testes computacionais, o Rnge-Kutta de quar ta ordem, O Runge-Kutta de oitava ordem e o preditor-corretor também de oitava ordem, todos com tamanho de passo fixo. A construção dos programas de computador que formam a estrutura de testes tomou boa parte do tempo total do trabalho, tendo sido desenvolvidos cerca de seten ta programas diferentes.

Apesar do Sundman ter idealizado sua transformação de tempo em 1912, o estudo das formulações é mais ou menos recente e a maioria dos trabalhos publicados o foram nas décadas de sessenta e se tenta. Na década de sessenta o Kustaanheimo e o Stiefel idealizaram a regularização para movimento tridimensional através da transformação KS (Stiefel e Sheifele, 1971), que é uma generalização da já então conheci da regularização em duas dimensões, proposta por Levi-Civita. A partir de então os trabalhos se intensificaram e o Baumgarte propôs (Baumgarte, 1972) um método para tornar Liapunov-Estavel as equações di ferenciais orbitais, sem aumentar em uma dimensão o movimento, como o caso da regularização através da transformação KS. Atualmente duas tendências se ressaltam quanto a publicação de trabalhos: A apresenta ção de novas transformações do tipo Sundman de tempo para diferentes va lores de c e n (ver Equação 7.16) (Nacozy, 1977; Velez 1978; Ferrer e Sein-Echaluce, 1984) ou ainda, o desenvolvimento de no vos elementos de tempo (Stokes, 1978; Janin e Bond, 1981; Nacozy, 1981; Zare, 1983). Pesquisou-se no presente trabalho de dissertação, as prin cipais formulações desenvolvidas até a atualidade, bem como suas inte rações com diferentes integradores numéricos, mostradas em diversos testes computacionais. No Brasil, não se tem conhecimento de alguma pu blicação do tipo.

Este trabalho foi apresentado no Terceiro. Colóquio Brasileiro de Dinâmica Orbital, realizado em novembro de 86 na cidade de Águas de Lindóia, SP. Sua apresentação verificou-se em carater preliminar, pois na época não se dispunha de todos os resultados.



CAPÍTULO 2

PERTURBAÇÕES NA ÓRBITA DE SATÉLITES ARTIFICIAIS TERRESTRES

Desprezando outros efeitos perturbadores e considerando a terra perfeitamente esférica e com distribuição homogênea de massa, as equações diferenciais orbitais escritas em um sistema com origem no centro de massa terrestre e com direções paralelas às direções de um sistema inercial conforme a Figura 2.1 são:

$$\ddot{\vec{r}} = -(u/r^3) \cdot \dot{\vec{r}} \tag{2.1}$$

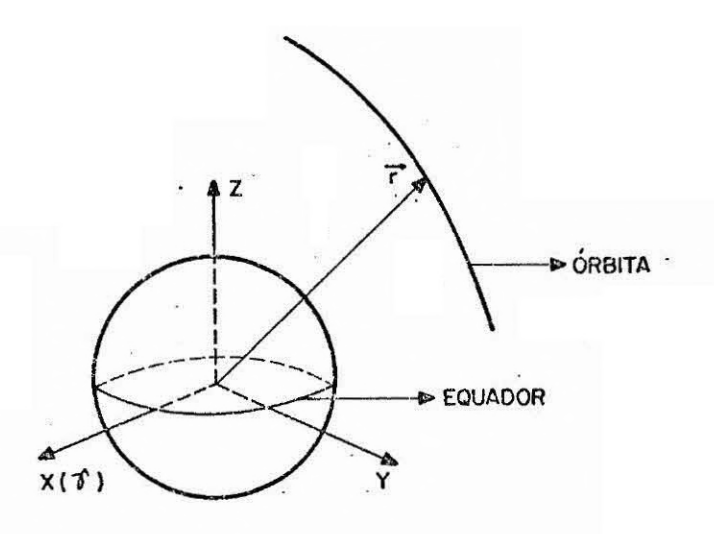


Fig. 2.1 - Sistema inercial Equatorial Geocêntrico.

onde u=G(M+m) é a constante terrestre, sendo G a constante de gravita ção universal, M e m as masssas da terra e satélite respectivamente. Em tal caso, existe solução analítica que consiste na equação de uma cônica da forma:

$$r = P/(1 + e.cosf)$$
 (2.2)

onde P é o semi-parâmetro, e é a excentricidad da órbita e f a anoma lia verdadeira. Porém, no caso específico de se elites artificiais ter restres o movimento não é plano uma vez que efcitos outros perturbam -no tais como:

- Não esferoidicidade e distribuição não homogênea de massa.
- Pressão de radiação solar direta e indireta.
- Arrasto atmosférico.
- Efeito gravitacional de um terceiro corpo perturbador.
- Marés terrestres devidas ao Sol e a Lua.

Após a inclusão destes efeitos (acelerações), as equações diferenciais do movimento orbital ficam na forma:

$$\ddot{\vec{r}} = -(u/r^3) \cdot \dot{\vec{r}} - \partial V/\partial \dot{\vec{r}} + \dot{\vec{P}}$$
 (2.3)

onde $\partial V/\partial \vec{r}$ representa perturbações oriundas de um campo potencial. con servativo V, enquanto que \vec{P} representa o vetor das demais perturbações não conservativas.

2.1 - PERTURBAÇÕES DEVIDAS AO GEOPOTENCIAL

Uma vez que a Terra não é uma esfera e não possui distribuição homogênea de massa, o campo potencial formado no espaço apresenta deformações que modificam a direção e intensidade do gradiente em determinados pontos, tornando a força específica em tais pontos não central. A modelagem deste campo (geopotencial) é feita através de uma série in finita de termos conhecidos como harmônicos esféricos terrestres e possui a forma (Heinskanen e Moritz, 1967):

$$U = (u/r) \sum_{n=0}^{\infty} \sum_{m=0}^{n} (R/r)^{n} (CnmCos(m\lambda) + SnmSen(m\lambda)) \cdot Pnm(sen\Psi)$$
 (2.4)

onde Cnm e Snm são os coeficientes dos harmônicos esféricos, R é o raio equatorial terrestre, r, λ , e Ψ são a distância em relação ao centro da Terra, longitude e latitude geocêntrica de um ponto no espaço, e $\operatorname{Prm}(\operatorname{sen}\Psi)$ é o polinômio associado de Legendre. O geopotencial, Equação 2.4, está escrito no sistema geocêntrico terrestre com eixo Xg coincidente com o meridiano de Greenwich, conforme a Figura 2.2. Sabe-se que o gradiente da função potencial representa a aceleração que atuará em um de terminado ponto no espaço. Tal gradiente é obtido em coordenadas esféricas (r, λ, Ψ) em um sistema fixo a Terra com eixo Xa na direção radial ao ponto no qual deseja-se conhecer a força específica, o Ya no plano equatorial e o Za normal aos últimos, conforme a Figura 2.3.

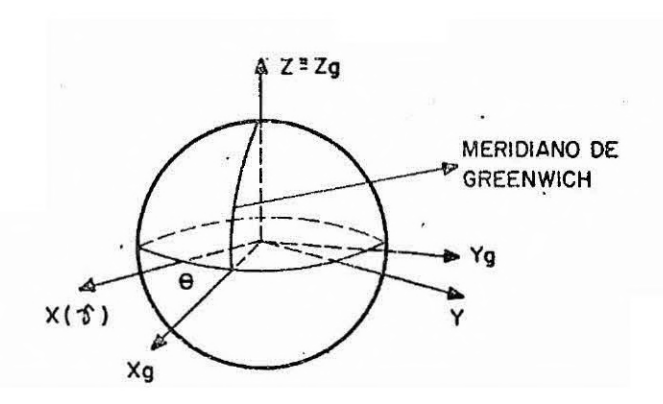


Fig. 2.2 - Sistemas equatoriais inercial e geocêntrico terrestre.

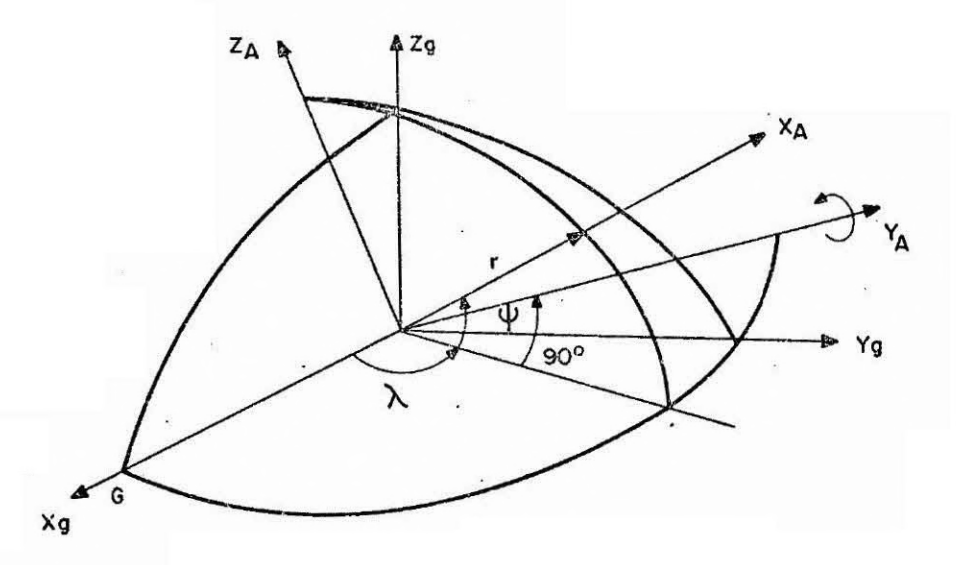


Fig. 2.3 - Sistema geocêntrico no qual originalmente obtém-se o gradiente do geopotencial.

Uma vez obtida a força específica neste sistema, esta é convertida para o sistema inercial, ficando sua expressão final na forma:

$$\ddot{\ddot{r}} = \begin{bmatrix} c \psi c \lambda c \theta - c \psi s \lambda s \theta & -s \lambda c \theta - c \lambda s \theta & -s \psi c \lambda c \theta + s \psi s \lambda s \theta \\ c \psi c \lambda s \theta + c \psi s \lambda c \theta & -s \lambda s \theta + c \lambda c \theta & -s \psi c \lambda s \theta - s \psi s \lambda c \theta \\ s \psi & 0 & c \psi \end{bmatrix} . \quad \begin{pmatrix} u / r^2 \end{pmatrix}_{n=0}^{\Sigma} \frac{\Sigma}{m=0}$$

sendo 0 o tempo sideral de Greenwich (Fig. 2.2), N o número no qual de seja-se truncar a série, P'nm(SenY) a derivada do polinômio de Legen

dre, e R o raio equatorial terrestre. Algumas fórmulas de recorrência auxiliam a montagem final das Equações 2.5, são elas:

$$Cos\Psi.P'nm = -nSen\Psi(Sec\PsiPnm) + (n+m).Sec\Psi(Pn-1, m)$$
 (2.6)

$$Cos(m\lambda) = Cos((m-1)\lambda)Cos\lambda-Sen((m-1)\lambda)Sen\lambda$$
 (2.7)

$$Sen(m\lambda) = Sen((m-1)\lambda)Cos\lambda + Cos((m-1)\lambda)Sen\lambda$$
 (2.8)

2.2 - PERTURBAÇÕES DEVIDAS AO ARRASTO ATMOSFÉRICO

O atrito com partículas da alta atmosfera produz, em sa télites com altitude inferior a 2000 Km, uma força resistiva que tende a diminuir a velocidade do satélite alterando assim a quantidade de energia do movimento. A órbita entra num processo de circularização e aqueda do satélite sobre o planeta é inevitável. Dos elementos orbitais, o semieixo é o que mais sofre variações devidas ao arrasto, embora todos os elementos variem com tal efeito. A força específica relativa ao arrasto atuante em um satélite artificial, é proporcional ao quadrado da velo cidade relativa (Vr) entre este e a atmosfera local e possui a forma (Silva e Ferreira, 1984):

$$\vec{r} = -(1./2).\text{Cd.}(\text{S/m}).\rho.\text{Vr}\vec{\text{Vr}}$$
 (2.9)

sendo S a secção transversal do satélite (área de referência), m a massa do satélite, Cd o coeficiente de arrasto, e ρ a densidade atmosférica lo cal. A densidade atmosférica varia com a altitude e com a temperatura lo cal, que por sua vez é estimada em função do fluxo solar médio e instan tâneo bem como do índice geomagnético. Dentre os diversos modelos atmos féricos, destacam-se os de Jacchia (1970, 1971, 1977) como os mais utilizados. O coeficiente de arrasto depende do material que constitui a su perfície do satélite bem como da sua forma, além de depender da densida de atmosférica local, embora possa ser considerado constante juntamente com a área de referência em certos casos nos quais a atitude do satélite é controlada. Considerando toda a atmosfera deslocando-se conjuntamente

com a terra em rotação, cuja velocidade angular é Wt, a força específica devida ao arrasto possui a forma final:

2.3 - PERTURBAÇÕES DEVIDAS À PRESSÃO DE RADIAÇÃO SOLAR DIRETA

Tal efeito é resultante da troca de quantidade de movimento entre radiações emitidas pelo Sol com o satélite. De forma seme lhante ao arrasto atmosférico, a força específica devida a pressão de radiação direta manifesta-se expressivamente em satélites com grande razão área sobre massa, estando na mesma direção e sentido oposto ao ver sor satélite-Sol, possuindo a forma (Lala, 1974):

$$\ddot{\vec{r}} = - v \operatorname{Cr} (S/m) \operatorname{Ps. \hat{R}s}$$
 (2.11)

sendo v o fator de eclipse, Cr o coeficiente de reflectividade, S/m a razão área sobre massa, Ps pressão de radiação solar na vizinhança da terra, e R̂s o versor solar (satélite-Sol). O fator de eclipse v assume os valores l, quando o satélite está iluminado, ou O quando está pas sando pela sombra da terra projetada no espaço. O coeficiente de reflectividade Cr dependerá basicamente da superfície do material que constitui o satélite, fato associado aos percentuais de reflexão especular e difusa após o impacto da radiação.

2.3.1 - ALBEDO TERRESTRE

Parte da superfície terrestre iluminada pelo Sol, re flete uma parcela dessa radiação incidente que chega a atingir e trocar quantidade de movimento com o satélite. A força específica atuante no

satélite devida a tal efeito é uma parcela da força específica devida a radiação solar direta. O efeito conjunto das pressões de radiação di reta e indireta (albedo) possui a forma (Lautman, 1977):

$$\frac{1}{r} = v \operatorname{Cr}(S/m) \operatorname{Ps} \left\{ \begin{bmatrix} -Xs/Rs \\ -Ys/Rs \\ -Zs/Rs \end{bmatrix} + n(A0+A2(Z/r)^{2}) \begin{bmatrix} X/r \\ Y/r \\ Z/r \end{bmatrix} \right\}$$
(2.12)

sendo Xs/Rs, Ys/Rs e Zs/Rs as coordenadas versor solar no sistema inercial, no fator de existência do albedo que assume os valores 0 ou 1, dependendo se o satélite estará ou não sobre a parte iluminada da terra as sumida como causadora do albedo, AO=0,219 e A2=0,41 são os coeficientes que modelam o albedo (Silva e Ferreira, 1984), e X/r, Y/r, Z/r são as coordenadas do versor do satélite no sistema inercial.

2.4 - PERTURBAÇÕES DEVIDAS A AÇÃO GRAVITACIONAL DE UM TERCEIRO CORPO

Além da Terra, considera-se também o Sol e a Lua como causadores de atração gravitacional sobre o satélite. O potencial relativo a um terceiro corpo perturbador é dado por (Kaplan, 1976):

$$Ui = GMi(1/|\vec{r}-\vec{R}i| - \vec{r}.\vec{R}i/(Ri^{3}))$$
 (2.13)

onde G é a constante de gravitação universal, Mi é a massa do corpo per turbador (Sol ou Lua), r e Ri são os vetores posição do satélite e cor po perturbador, ambos no sistema inercial. A força específica atuante terá resultante igual ao gradiente do potencial perturbador com relação a r, ou seja:

$$\vec{r} = -GMi((\vec{r} - \vec{R}i)/|\vec{r} - \vec{R}i|^3 + \vec{r} \cdot \vec{R}i/(Ri^3))$$
 (2.14)

2.5 - PERTURBAÇÕES DEVIDAS ÁS MARÉS TERRESTRES

Os campos gravitacionais do Sol e Lua provocam uma redistribuição de massa nas regiões da Terra mais próximas desses as tros, provocando protuberâncias superficiais nas direções dos respectivos astros. Esta protuberância por sua vez cria um novo campo gravitacional e portanto, uma nova força específica atua no satélite, cuja a expressão final possui a forma (Heinskanen e Meinesz, 1958):

$$\begin{cases} \begin{bmatrix} x \\ x \\ y \\ z \end{bmatrix} = (3./2)K2(GMiR^5/Ri^3r^5) \begin{cases} (1-5D^2)X+2DrXi \\ (1-5D^2)Y+2DrYi \\ (1-5D^2)Z+2DrZi \end{cases}$$
(2.15)

onde K2 é o coeficiente de elasticidade terrestre de ordem 2, também ∞ nhecido como número de Love, \vec{r} e $\vec{R}i$ são os vetores posição do satélite e corpo perturbador no sistema inercial, $D = \vec{r} \cdot \vec{R}i$, e Mi é a massa do Sol ou Lua.

2.6 - EFEITO DAS FORÇAS PERTURBADORAS SOBRE OS ELEMENTOS ORBITAIS

As forças perturbadoras têm suas ordens de grandeza em função da altitude do satélite conforme tenta ilustrar a Tabela 2.1 (Silva e Ferreira, 1984), na qual a força gravitacional terrestre em órbita kepleriana tem valor unitário, enquanto que as demais têm ordem relativa a primeira.

TABELA 2.1

ORDEM DE GRANDEZA DAS FORÇAS ESPECÍFICAS PERTURBADORAS

PERTURBAÇÕES	SAT. PRÓXIMO	GEOESTACIONÁRIO
Orb. Kepler.	1	1
Achat. polar	10 ⁻³	10 ⁻⁵
Demais harm.	·10 ⁻⁶	10 ⁻⁸
Arrasto	10-7	0
Lua e Sol	10-7	10 ⁻⁵
P. de rad.	10 ⁻⁸	10 ⁻⁶
Marés	10-10	10 ⁻¹³

Integrações numéricas (Kuga e Silva, 1984) considerando todas as forças perturbadoras citadas foram efetuadas na seguinte órbita inicial:

e = 0.05

i = 150

 $\Omega = 450$

W = 300

M = 0

As constantes para o cálculo das perturbações foram as seguintes:

Cd = 2

Cr = 1.

findice Geomagnético = 10 Fluxo Solar = 100.10^{-22} watts.s/m² Fluxo Solar Médio = 100.10^{-22} watts.s/m² A/m = $1.m^2/\text{Kg}$

Após aproximadamente três períodos de revolução, foram obtidos os seguintes gráficos que ilustram o comportamento dos elementos orbitais no tempo:

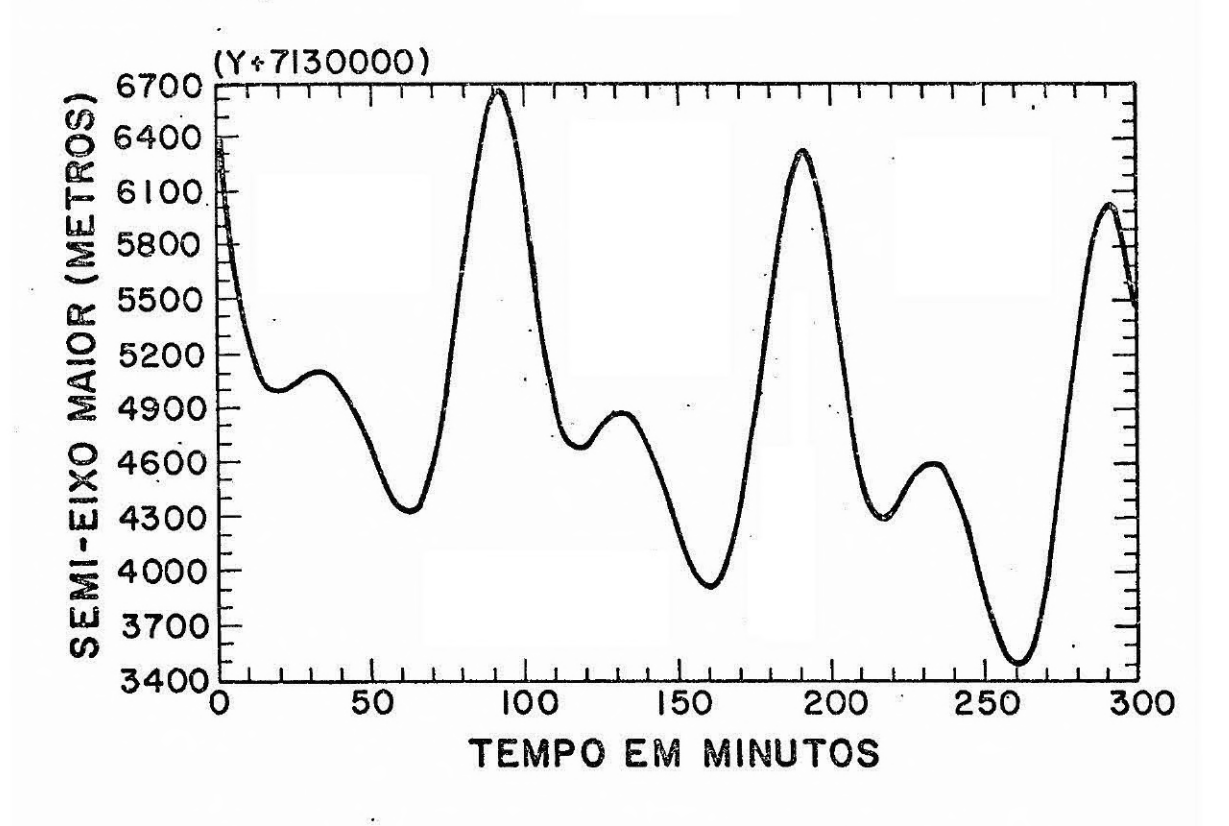


Fig. 2.4 - Comportamento do semi-eixo maior no tempo.

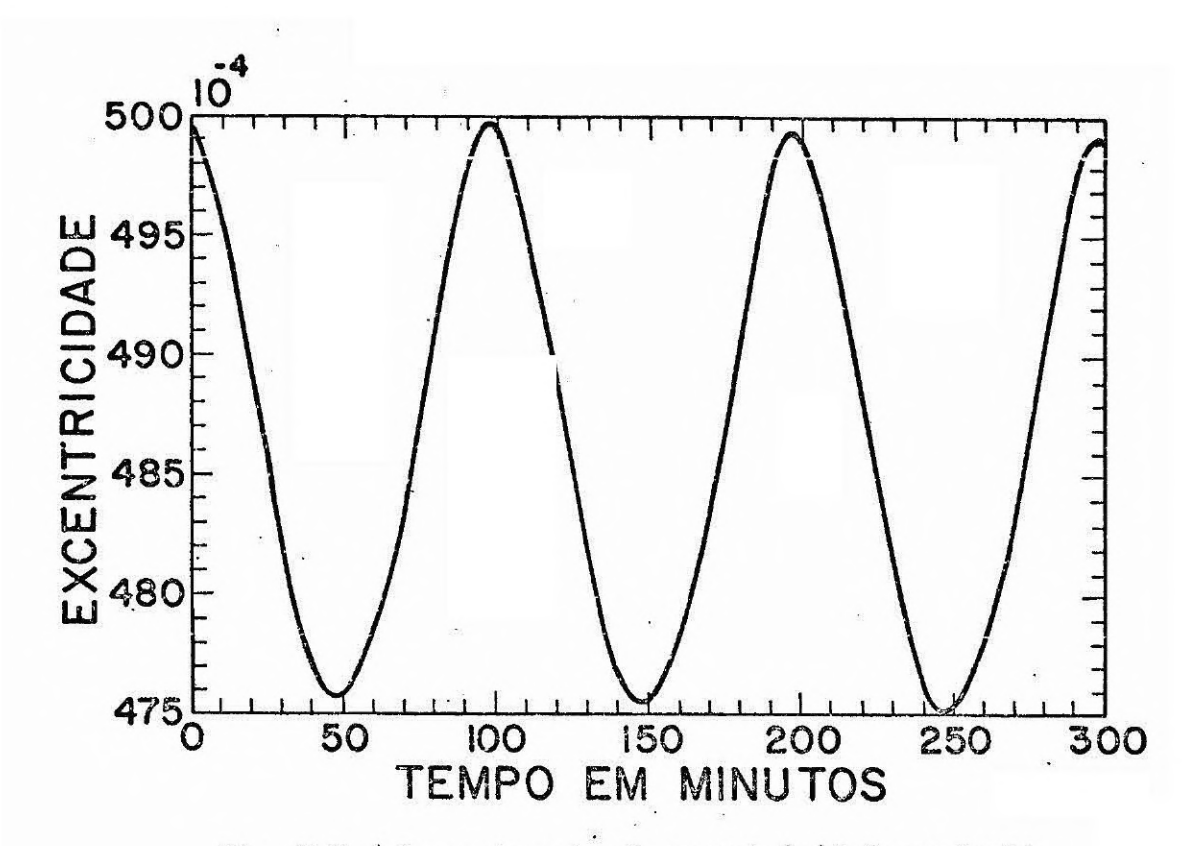


Fig. 2.5 - Comportamento da excentricidade no tempo.

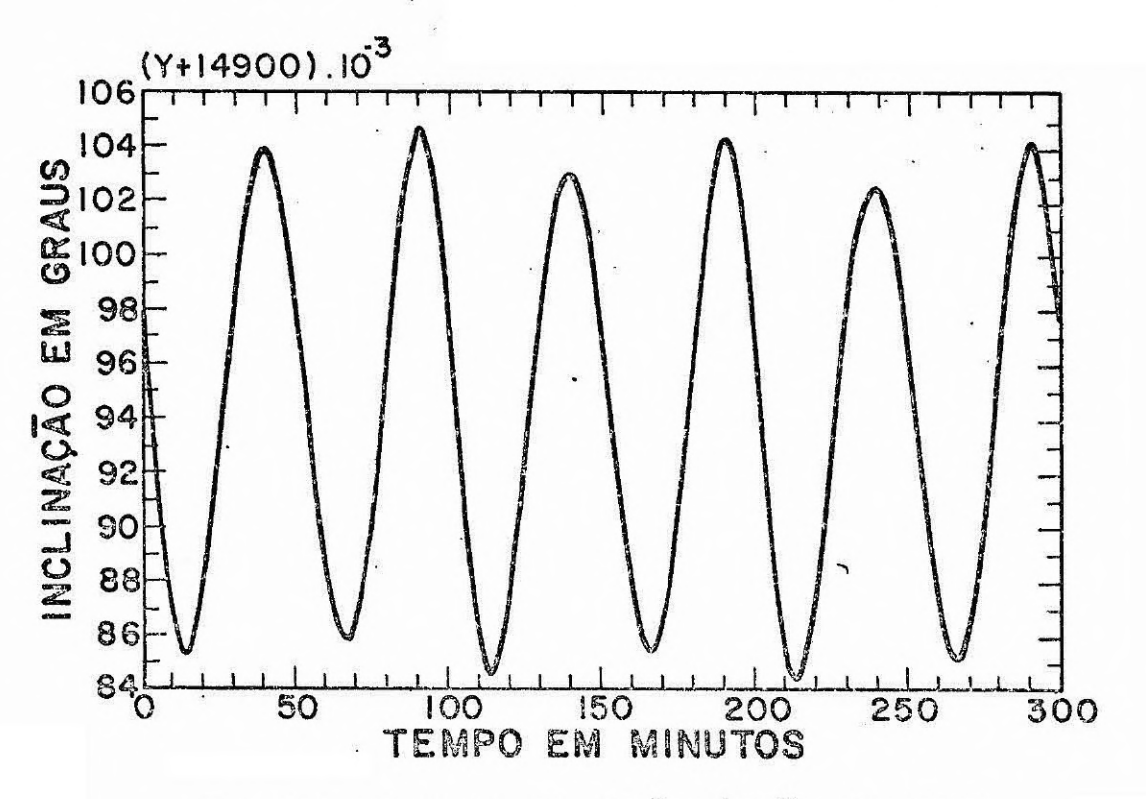


Fig. 2.6 - Comportamento da inclinação no tempo.

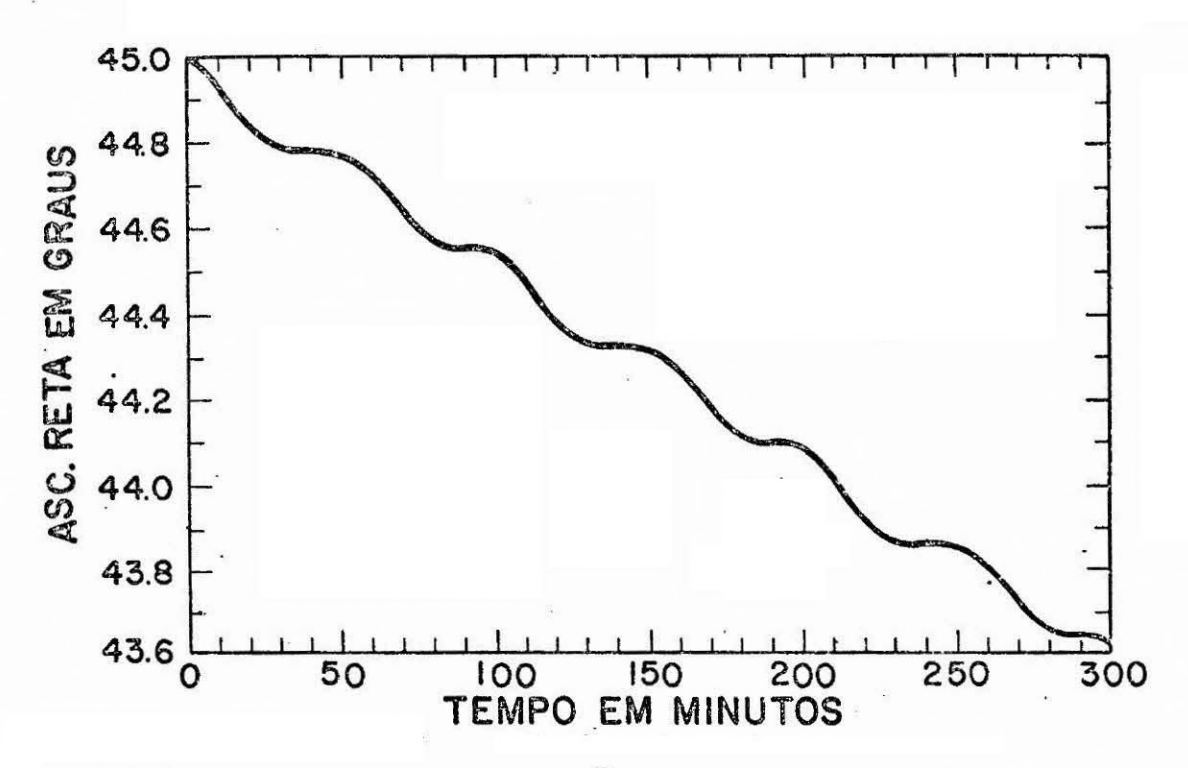


Fig. 2.7 - Comportamento da ascenção reta do nodo ascendete no tempo.

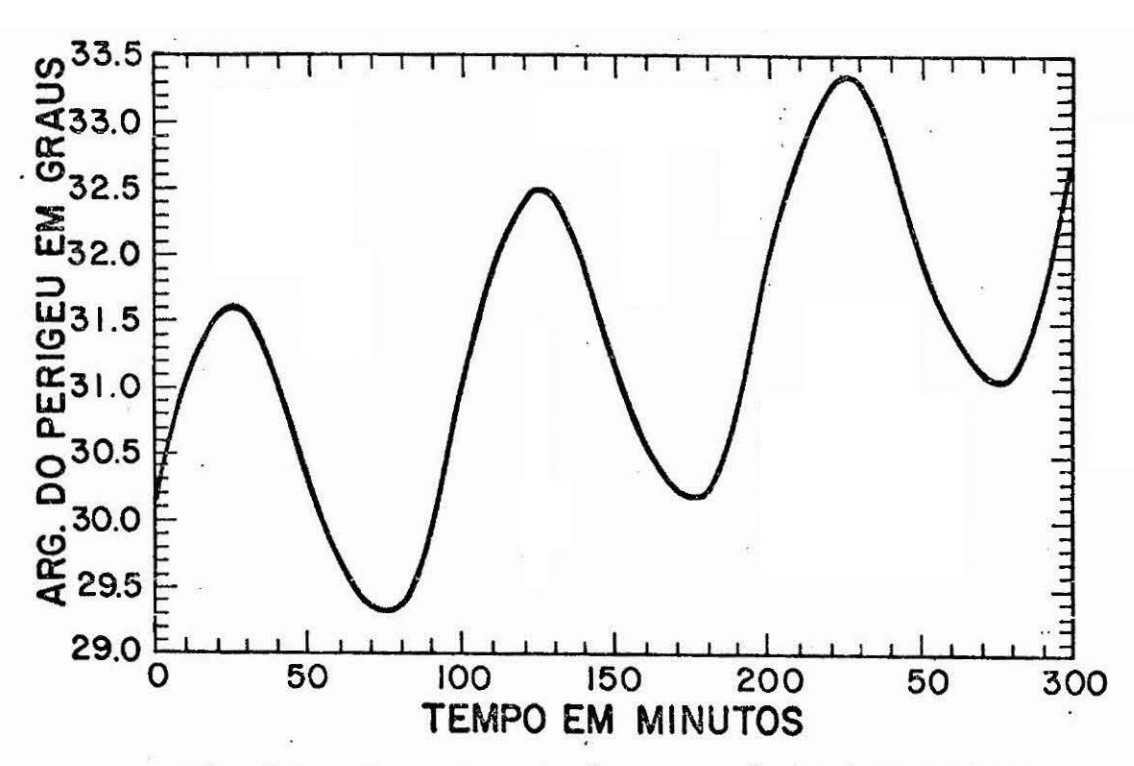


Fig. 2.8 - Comportamento do argum. do Perigeu no tempo.

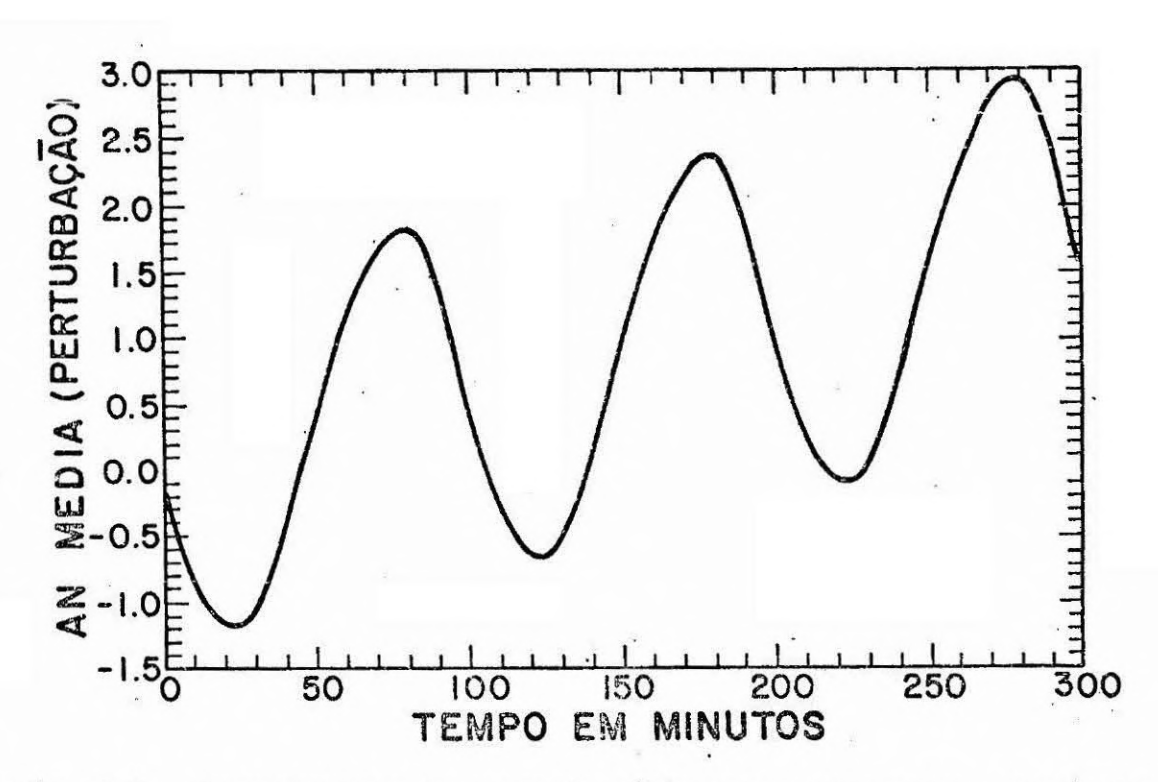


Fig. 2.9 - Comportamento da anomalia média sem a componente kepleriana (graus).

A composição das forças perturbadoras forma uma resultante que varia com o vetor de estado do satélite. Tal resultante provoca variações na forma da órbita bem como na energia mecânica do movimento, acarretando como consequência variações periódicas e seculares nos elementos orbitais.

Uma das maiores aplicações da mecânica celeste em movimento orbital de satélites artificiais terrestres é a determinação da posição e velocidade de um satélite em um determinado tempo após um tempo de referência. A órbita propagada é perturbada e as perturbações fazem com que não existam soluções analíticas para as equações diferenciais orbitais, fazendo com que a propagação seja numérica. Passa-se então a conviver com erros devidos ao método numérico, que discretiza uma solução que é contínua, e erros de truncamento devidos as operações augébricas no computador.

Há, entretanto, diferentes maneiras de formulação das equações diferenciais do movimento orbital que representam a dinâmica do sistema às quais possibilitam um aumento por vezes significativo do rendimento em precisão da integração. Baseando-se nessa motivação, iniciase no próximo capítulo o estudo de tais formulações.

CAPÍTULO 3

TRANSFORMAÇÃO DE TEMPO

Tendo-se como objetivo a determinação da posição e velo cidade de um satélite em um determinado tempo, há a necessidade de se in tegrar o sistema:

$$\ddot{\vec{r}} = -(u/r^3) \cdot \dot{\vec{r}} - \partial V/\partial \dot{\vec{r}} + \dot{\vec{p}}$$
(3.1)

Sem dúvida, a parte prodominante da Equação 3.1 é a que se refere a órbita kepleriana, ou seja, -ur/r3. Tal equação é singular na origem (r=0) e existe uma espécie de "gradiente de singularidade" à medida em que o satélite varia sua posição com relação a origem, o que torna a so lução mais ou menos divergente em um determinado ponto em função do raio vetor r. Este fato contribui, por exemplo, para que a solução do sistema tenha sua precisão em função da excentricidade da órbita uma vez que para órbitas muito excêntricas há uma grande variação dos módulos po sição e velocidade em uma única revolução. Esta imprecisão relativa à singularidade das equações diferenciais orbitais pode ser em parte supe rada com uma grande diminuição no tamanho do passo de integração numa re gião próxima ao perigeu utilizando-se um integrador de ordem e passo va riáveis ajustados automaticamente, mas tal procedimento aumenta em muito o custo do processamento. Uma outra alternativa que dependendo da pre cisão desejada pode ser mais viável, está na utilização das formulações analisadas no presente trabalho, que permitem controlar o tamanho do passo de integração de forma analítica, no caso de se utilizar um siste ma com o tempo transformado (aqui chamado de sistema transformado), assunto deste capítulo, ou ainda, na utilização de sistemas estabiliza dos e regularizados, assuntos de capítulos posteriores.

3.1 - CONSIDERAÇÕES SOBRE A INTEGRAÇÃO NUMÉRICA

Desmembrando-se a Equação 3.1 em suas componentes vetoriais, o sistema dinâmico ficará na forma:

..
$$X = -(u/r^3)X - \frac{\partial V}{\partial X} + Px = F1(t,Qi)$$

.. $Y = -(u/r^3)Y - \frac{\partial V}{\partial Y} + Py = F2(t,Qi)$
.. $Z = -(u/r^3)Z - \frac{\partial Z}{\partial Z} + Pz = F3(t,Qi)$

sendo Px, Py, Pz as projeções da resultante das perturbações não conse<u>r</u> vativas, e Qi as coordenadas generalizadas correspondentes à posição e velocidade.

O sistema 3.2 de três dimensões pode ser representado através de um sistema equivalente de seis dimensões com as seguintes definições:

$$X = X1, Y = Y1, Z = Z1$$

 $X = X2, Y = Y2, Z = Z2$

Assumindo as referidas definições, tem-se o sistema de primeira ordem:

$$\dot{X}1 = X2$$
 $\dot{Y}1 = Y2$
 $\dot{Z}1 = Z2$
 $\dot{X}2 = F1(t,Qi)$
 $\dot{Y}2 = F2(t,Qi)$
 $\dot{Z}2 = F3(t,Qi)$
 $\dot{Z}3 = F3(t,Qi)$

Os métodos numéricos para solução de sistemas de equações diferenciais de primeira ordem (Henrici, 1965), avaliam o vetor de estado solução a partir de algumas avaliações das derivadas (lado di

reito do sistema de Equações 3.3) em pontos precedentes aos pontos nos quais deseja-se conhecer tal vetor. Portanto, é a singularidade contida nas equações diferenciais e não na solução uma das causas da imprecisão dos resultados finais da integração.

3.2 - TRANSFORMAÇÃO DE TEMPO

Em órbitas excêntricas, o excessivo acréscimo da velocidade física numa região próxima ao perigeu, faz com que se obtenha com primentos maiores de arco por passo de revolução nessa região, ocorrendo o contrário numa região próxima ao apogeu, isso para um tamanho de passo fixo em tempo físico. Os diferentes comprimentos de arco tomados ao Ion go de uma revolução elevam o nível dos erros obtidos ao término da propagação. Uma maneira de diminuir esse efeito é através de uma transformação de tempo, ou seja, transforma-se a variável independente do sistema, tempo físico (t), escrevendo-se um novo sistema equivalente ao primeiro com uma nova variável independente (s), conhecida como tempo fictício. Tal transformação é conhecida na literatura como transformação de Sundaman (Nacozy, 1975; Zare, 1983). A razão física desta transformação está na necessidade de se minimizar o efeito negativo do acréscimo da velo cidade criando-se uma nova velocidade, a fictícia, que terá módulo igual ao da velocidade física r multiplicado pelo módulo do raio vetor r.

$$d\vec{r}/ds = r \cdot d\vec{r}/dt$$
 (3.4)

O módulo do raio vetor do satélite funciona como um moderador da velocidade física, fazendo com que a velocidade fíctícia assuma valores mais uniformes do que a velocidade física durante uma revolução, o que efetivamente redistribui de forma mais equitativa os comprimentos de arco ao longo da órbita. O tempo fictício varia de forma não linear com o tempo físico e isto permite uma regulagem analítica do tamanho do passo de in tegração. Da equação 3.4 pode ser escrito o operador transformação:

Ainda da Equação 3.4

$$d\vec{r}/dt = (1/r) d\vec{r}/ds$$
; $d^2\vec{r}/dt^2 = d/dt((1/r)d\vec{r}/ds)$

Aplicando-se o operador 3.5

$$d^{2}\vec{r}/dt^{2} = (1/r)d/ds((1/r)d\vec{r}/ds)$$

$$d^2r/dt^2 = -(1/r)^2((r'/r)dr/ds - d^2r/ds^2)$$
: $r' = dr/ds$

Com a Equação 3.1 tem-se:

$$-(1/r)^{2}((r'/r)dr/ds - d^{2}r/ds^{2}) = -(u/r^{3})r + P - \partial V/\partial r$$
.

Reagrupando-se termos:

$$d^{2}\vec{r}/ds^{2} = (1/r) (r'd\vec{r}/ds - u\vec{r}) + r^{2}(\vec{P}-\partial V/\partial r)$$
 (3.6)

A Equação 3.6 escrita em termos das componentes vetoriais possui a for ma,

$$X'' = 1/r \cdot (r'X'-uX) + r^{2}(Px-\partial V/\partial X)$$

$$Y'' = 1/r \cdot (r'Y'-uY) + r^{2}(Py-\partial V/\partial Y)$$

$$Z'' = 1/r \cdot (r'Z'-uZ) + r^{2}(Pz-\partial V/\partial Z)$$
(3.7)

e representa o sistema dinâmico tendo como variável independente o tempo fictício s. Há entretanto a necessidade de se parar a integração em um determinado tempo físico forçando assim o acréscimo de uma nova equação diferencial ao sistema. Da equação base da transformação (Equação 3.4), tem-se:

$$dt/ds = r (3.8)$$

Assumindo as igualdades,

$$X = X1$$
, $Y = Y1$, $Z = Z1$,

$$X' = X2, Y' = Y2, Z' = Z2$$

e acrescentando a equação do tempo físico 3.8, o sistema ficará na forma:

$$X1' = X2'$$

$$Y1' = Y2$$

$$Z1' = Z2$$

$$X2' = (1/r)(r'X2-uX1) + r^2(Px-\partial V/\partial X)$$
 (3.9)

$$Y2' = (1/r)(r'Y2-uY1) + r^2(Py-\partial V/\partial Y)$$

$$X2' = (1/r)(r'Z2-uZ1) + r^2(Pz-\partial V/\partial Z)$$

$$t' = r$$

As Equações 3.9 mostram que após a transformação de tempo o sistema pas sou a ser de sétima ordem, o que aumentará um pouco o tempo de proces samento na integração numérica. Porém, esse acréscimo no tempo de processamento é compensado pelo expressivo ganho em precisão conforme será visto a seguir.

3.3 - RESULTADO DE TESTES COMPUTACIONAIS E CONCLUSÕES

Inicialmente todos os testes de propagação apresentados estarão restritos a órbitas keplerianas. Isto deve-se ao fato de que o comportamento relativo em termos de precisão entre as diferentes formula ções mantém-se para órbitas perturbadas, diferindo apenas na dimensão

do erro, em relação a órbita kepleriana. Em outras palavras, o percentual de ganho ou perda em precisão entre as diferentes formulações mantém-se aproximadamente constante, quer seja órbita kepleriana ou pertur bada. Uma vez que se conhece a solução analítica do sistema de equações diferenciais da órbita kepleriana, pode-se então avaliar com exatidão o erro da solução obtida em qualquer formulação, o que além de permitir conclusões preliminares, serve como base de testes para desenvolvimento de novas formulações.

Ao considerar-se órbita kepleriana, o sistema de equa ções diferenciais do movimento orbital tendo o tempo fictício como variá vel independente (Equações 3.9) assumirá a forma:

$$X1' = X2$$

 $Y1' = Y2$
 $Z1' = Z2$
 $X2' = (1/r)(r'X2-uX1)$ (3.10)
 $Y2' = (1/r)(r'Y2-uY1)$
 $Z2' = (1/r)(r'Z2-uZ1)$

Como a propagação da órbita através do sistema transformado (Equação 3.9) é feita no tempo fictício e há obviamente a necessidade de se conhecer a solução, vetor de estado do satélite, em um determinado tempo físico, tem-se que interpolar a solução neste tempo físico final desejado. Me canismos de parada no tempo físico final foram desenvolvidos e são objeto de capítulos posteriores. Porém, caso trabalhe-se com órbita kepleriana, o mecanismo de parada no tempo físico final pode ser obtido de forma ana

t' = r

lítica partindo-se da equação de kepler, conforme ilustra o seguinte for malismo baseado no tempo físico final equivalente a um período orbital:

$$M = E - e.SenE = \sqrt{u/a^3}. (t-To),$$
 (3.11)

onde M é a anomalia média, e a excentricidade, a o semi-eixo maior e E a anomalia excêntrica. Derivando-se a Equação 3.11 em relação ao tempo f \underline{i} sico t, tem-se:

$$dM/dt = dM/ds \cdot ds/dt = \sqrt{u/a^3}$$
 (3.12)

$$ds/dt = 1/r : dM/ds = dE/ds . (1-eCosE)$$

Substituindo as duas últimas equações na Equação 3.12 tem-se:

$$1/r$$
 . (1-eCosE) dE/ds = $1/a$. $\sqrt{u/a}$ ds = $\sqrt{a/u}$. dE (3.13)

Com a equação 3.13 identifica-se claramente que o tempo fictício s é proporcional a anomalia excêntrica E, sendo esse o motivo pelo qual a transformação de tempo apresentada é conhecida como transformação do tipo Sundman na versão da anomalia excêntrica. Considerando-se o intervalo de itnegração equivalente ao período orbital, o tempo fictício final se rá:

$$s = \sqrt{a/u} \cdot \int_{0}^{2\pi} dE = \sqrt{a/u} \cdot 2\pi$$
 (3.14)

Os Sistemas 3.3 (tempo físico) e 3.10 (tempo fictício), foram integrados através dos métodos Runge-kutta de quarta e oitava or dem, e Adams-Basforth-Multon (preditor-corretor) de oitava ordem, todos com tamanho de passo fixo. Uma órbita de referência foi escolhida e foram efetuadas integrações com 60, 40 e 20 passos por revolução, com a

excentricidade variando de 0 a 0,8, estando os resultados dispostos nas Tabelas 3.1, 3.2 e 3.3. Os erros em posição e velocidade apresentados nas tabelas foram obtidos com as expressões:

$$\Delta r = \sqrt{((Xp - Xr)^2 + (Yp - Yr)^2 + (Zp - Zr)^2)},$$

$$\Delta r = \sqrt{((Xp - Xr)^2 + (Yp - Yr)^2 + (Zp - Zr)^2)},$$

onde os índices p e r representam valores propagados e reais, sendo os últimos obtidos de forma analítica.

Algumas convenções foram adotadas nas tabelas, a saber:

T/60 - Período orbital sobre 60.

CPU - Tempo de processamento em segundos.

As propagações foram efetuadas considerando o tempo físico final equivalente a um período orbital, sobre as segintes órbitas de referência:

$$a = 34869261. m$$

 $e = 0., 0.2, 0.4, 0.6, 0.8$

i = 15.

 $\Omega = 45.$

W = 30.

M = 0.

TABELA 3.1

SISTEMAS EM TEMPO FÍSICO E TRANSFORMADO, PROPAGADOS EM UM RUNGE-KUTTA DE QUARTA ORDEM

EXC.	PASSO	SISTEMA EM TEMPO FÍSICO			SISTEMA TRANSFORMADO		
		Δr(m)	· Δr(m/s)	CPU	Δr(m)	Δr(m/s)	CPU
0,0	т/60	731,54255	0,070924	0,4	109,2296	0,019407	0,4
	т/40	3543,6573	0,343510	0,3	512,6328	0,048553	0,3
	т/20	61628,348	5,969623	0,2	11300,13	0,997608	0,2
	т/60	135,25099	0,101769	0,4	76,65952	0,009584	0,4
0,2	т/40	1949,4344	0,666859	0,3	296,8085	0,036128	0,3
	т/20	112987,50	20,13424	0,2	7422,086	0,832993	0,2
0,4	T/60	12073,069	2,741241	0,4	163,0423	0,026435	0,4
	т/40	101847,61	20,87057	0,3	1025,552	0,169070	0,3
	T/20	3082855,1	579,9179	0,2	15148,52.	2,505758	0,2
-	т/60	949434,76	295,6526	0,4	1129,619	0,327146	0,4
0,6	T/40	6270950,7	1904,748	0,3	5914,004	1,716661	0,3
	T/20	42784633,	8974,153	0,2	86216,09	25,04552	0,3
0,8	T/60	27987765,	11726,83	0,4	6232,818	4,887867	0,4
	т/40	1495405,5	1996,568	0,3	29319,84	22,97029	0,4
	T/20	440851349,	5775,656	0,2	373556,2	294,7239	0,2

TABELA 3.2

SISTEMAS EM TEMPO FÍSICO E TRANSFORMADO, PROPAGADOS EM UM RUNGE-KUTTA DE OITAVA ORDEM

EXC.	PASSO	SISTEMA EM TEMPO FÍSICO			SISTEMA TRANSFORMADO		
		Δr(m)	Δr(m/s)	CPU	Δr(m)	Δr(m/s)	CPU
0,0	т/60	72,439267	0,007023	1,1	27,44706	0,002661	1,3
	T/40	72,444628	0,007024	0,8	27,45249	0,002661	0,9
	T/20	70,229294	0,006809	0,5	27,43642	0,002660	0,6
	T/60.	139,35999	0,017239	1,1	40,39291	0,004996	1,3
0,2	T/40	139,30630	0,017230	0,8	40,39456	0,004996	0,9
	т/20	121,07320	0,014593	0,5	40,39547	0,004997	0,6
	T/60	278,46016	0,049095	1,2	58,74703	0,010358	1,
0,4	т/40	273,21002	0,048087	0,8	58,75106	0,010359	0,9
	т/20	644,72973	0,123075	0,5	58,89803	0,010385	0,
	т/60	547,81619	0,165407	1,1	87,90736	0,026636	1,
0,6	т/40	994,70137	0,308213	0,8	87,93163	0,026643	0,
	т/20	831967,19	249,7728	0,5	90,30483	0,027352	0,
	т/60	1652847,2	1324,172	1,1	148,2303	0,119773	1,
0,8	т/40	53892661,	11245,80	0,8	148,5012	0,119987	0,
	т/20	208244648,	8316,349	0,5	259,9465	0,209818	0,

TABELA 3.3

SISTEMAS EM TEMPO FÍSICO E TRANSFORMADO, PROGAGADOS EM UM PREDITOR-CORRETOR DE OITAVA ORDEM

EXC.	PASSO	SISTEMA EM TEMPO FÍSICO		SISTEMA TRANSFORMADO			
		·· Δr(m)	Δr(m/s)	CPU	Δr(m)	Δr(m/s)	CPU
	т/60	72,352545	0,007015	0,7	27,46846	0,002663	0,8
0,0	T/40	69,229277	0,006704	0,6	27,40518	0,002654	0,6
	т/20	866,07089	0,086810	0,5	205,8943	0,013025	0,6
	т/60	94,378819	0,010987	0,8	40,41962	0,004999	0,8
0,2	T/40	4594,4964	0,527599	0,7	40,40266	0,004994	0,
	т/20	94891,910	9,667247	0,5	166,0755	0,014196	0,
	т/60	27452,008	4,598533	0,8	58,76881	0,010362	0,
0,4	T/40	5144,3002	2,285873	0,7	58,80854	0,010364	0,
	T/20	704091,20	110,2773	0,5	137,7687	0,018086	0,
	т/60	722867,11	222,8826	0,8	87,93037	0,026643	0,
0,6	T/40	850777,05	232,6749	0,7	88,00745	0,026660	0,
	T/20	1204067,3	868,6753	0,5	136,5897	0,034561	0,
	T/60	4275241,8	3341,525	0,8	148,2438	0,119784	0,
0,8	T/40	48863027,	10581,10	0,8	148,5827	0,120041	0,
	T/20	208050090,	8323,319	0,5	274,8334	0,210510	0,

A Tabela 3.1 apresenta os resultados da propagação por um período orbital dos sistemas em tempo físico (Equação 3.3) e transformado (Equação 3.10), utilizando-se um Runge-Kutta de quarta ordem. Este integrador apresenta um comportamento irregular uma vez que ava lia apenas quatro vezes as derivadas em cada passo de integração. A precisão dos resultados obtidos pode variar muíto para pequenas variações da excentricidade da órbita para um mesmo tamanho de passo de integração. Tem-se portanto como uma boa norma, o fato de não ser aconselhável para efeito de propagação orbital a utilização de Runge-Kutta de quarta or dem. Mesmo assim, o sistema transformado apresentou sempre uma sensível vantagem em termos de precisão em relação ao sistema em tempo físico, como pode ser verificado a partir da análise dos dados apresentados na tabela.

Na Tabela 3.2 estão dispostos os resultados da propaga ção por um período orbital dos sistemas em estudo, tendo sido utilizado um Runge-Kutta de oitava ordem. Dado o seu bom comportamento em termos de regularidade, esse integrador será utilizado com maior frequência nos testes que dão sequência a este trabalho. Da análise dos dados apresenta dos na tabela, percebe-se uma sensível vantagem em termos do sistema transformado sobre o sistema em tempo físico, vantagem esta que se amplia à medida em que a excentricidade da órbita aumenta. Deve ser ressaltado que para excentricidade nula o sistema transformado mos trou-se também melhor do que o sistema em tempo físico, apesar de teori camente serem iguais. Este fato está associado à forma na qual estão es critas as equações do movimento orbital, ou seja, (-u/r3)r passou a ser (1/r)(r'r'-ur), onde percebe-se que houve uma espécie de redução da ins tabilidade (ver capítulo 4), o que fez com que o Stiefel (Stiefel-Sheifele, 1971) chamasse a transformação de tempo de primeiro passo de regularização. A fim de se certificar sobre esse efeito, propagou-se, em dupla precisão, a órbita com excentricidade nula presente nos testes. Verificou-se que os resultados da Tabela 3.2 se mantiveram sem mudanças com a referida propagação. O tempo de processamento foi sempre maior com o sistema transformado, fato associado ao acréscimo de mais uma equação a o sistema. Porém, o nível de precisão dos resultados finais com o sistema transformado compensa o acréscimo de tempo.

Na Tabela 3.3 estão os resultados dos mesmos sistemas ago ra propagados com um preditor-corretor de oitava ordem. Com este integra dor, o sistema em tempo físico apresentou resultados menos precisos que os apresentados com o Runge-Kutta de mesma ordem. Já o sistema trans formado apresentou resultados idênticos aos apresentados pelo Kutta de mesma ordem, diferindo apenas nos resultados obtidos com o tama nho de passo T/20. Analisando-se os dados da referida tabela, percebese a mesma tendência das tabelas anteriores, ou seja, resultados mais pre cisos são obtidos com o sistema transformado, sendo que a vantagem em termos de precisão sobre o sistema em tempo físico, cresce com o aumento da excentricidade da órbita. O tempo de processamento médio com média referente aos três passos de integração apresentou-se ligeiramente, maior com a utilização do sistema transformado em relação ao sistema em tempo físico, porém esse acréscimo tenderia a aumentar se a propagação feita por mais de uma revolução.

O gráfico contido na Figura 3.1 realça o comportamento das formulações em tempo físico e transformado em função da excentricidade da órbita. Ele foi construido a partir dos dados da Tabela 3.2. tamanho de passo equivalente ao período orbital sobre sessenta (T/60). Com ele percebe-se com maior nitidez que, ao contrário do sistema em tem po físico, o sistema transformado pode ser utilizado em órbitas com ex centricidades mais elevadas. Percebe-se ainda que o erro em posição do sistema transformado, cresce quase que linearmente com a excentricidade variando de 0. a 0,4, ao passo que o erro do sistema em tempo físico pos sui crescimento do tipo exponencial, assumindo valores extremamente eleva dos para valores de excentricidade maiores que 0,6. Aqui efeito da transformação de tempo com consequente controle analítico do ta manho do passo de integração, fazendo com que os erros locais da inte gração com o sistema transformado sejam menores do que os erros com o sis

tema em tempo físico, uma vez que o efeito negativo da excessiva varia ção do módulo da velocidade durante uma revolução em órbitas com eleva das excentricidades foi em parte amortizado com a criação da velocidade fictícia, que assume valores mais uniformes em uma revolução.

Ao analisar-se os resultados obtidos nas tabelas e em par te expressados no gráfico, foram propostas conclusões que comprovam o que de forma intuitiva se esperava. Para ambas as formulações, os erros crescem com a elevação da excentricidade, ressaltando-se porém o fato de que esse crescimento é bem mais suave quando se trabalha com o siste ma transformado. Os métodos de maior ordem, de uma forma geral, apresen tam melhores resultados, porém, ao custo de um maior tempo de processa mento justamente porque avaliam mais vezes as derivadas.

No computo geral, houve expressivo ganho em precisão do sistema transformado em relação ao sistema em tempo físico, o que justifica em muito o relativamente pequeno aumento no tempo de processamento devido ao acréscimo de mais uma equação.

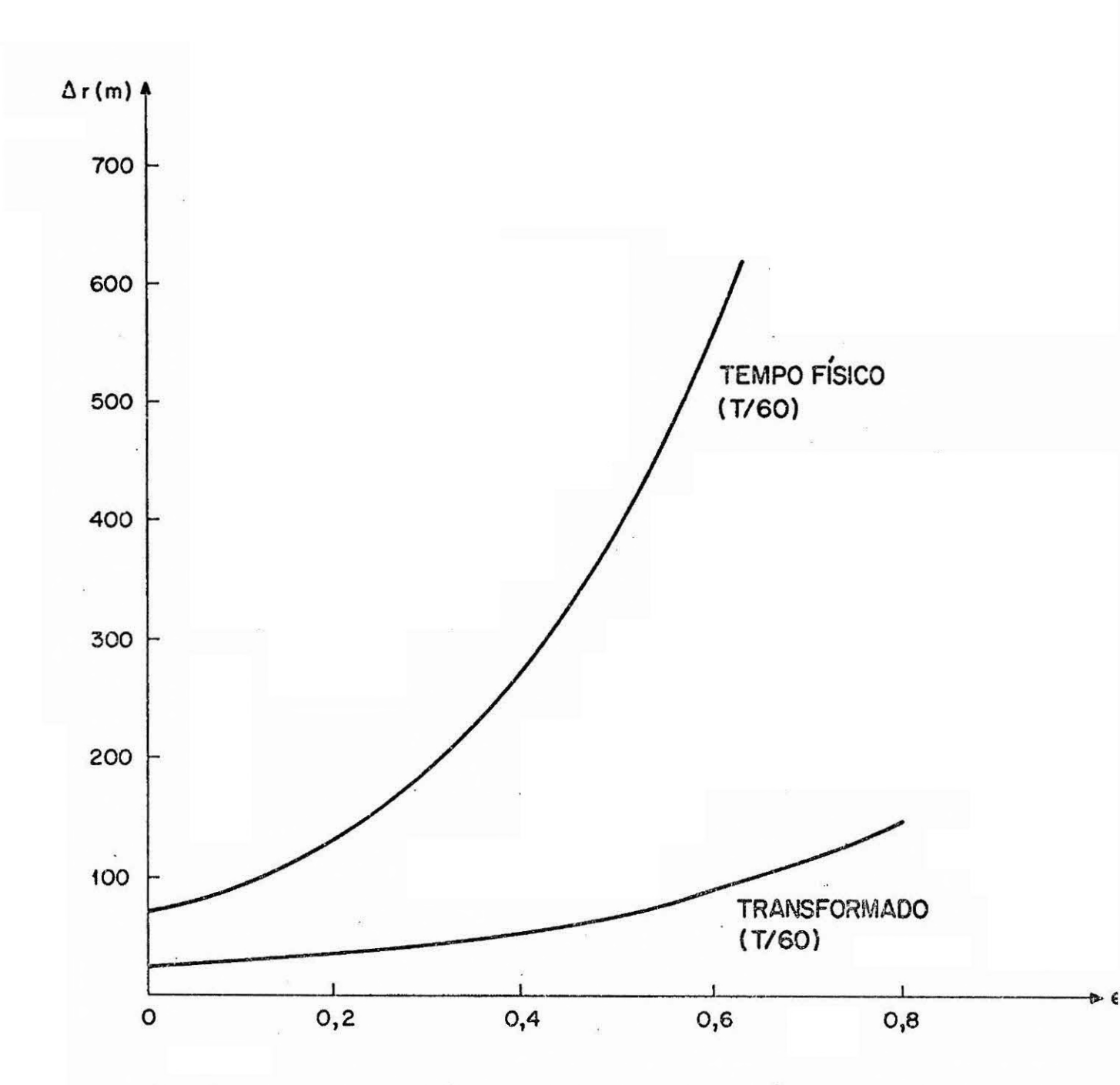


Fig. 3.1 - Erro em posição dos sistemas em tempo físico e transformado utilizando-se um Runge-Kutta de oitava ordem, dados da Tabela 3.2.



CAPÍTULO 4

ESTABILIZAÇÃO DO SISTEMA DE EQUAÇÕES DIFERENCIAIS DO MOVIMENTO ORBITAL

O sistema de equações diferenciais orbitais possui com portamento instável no sentido de Liapunov (Baumgarte, 1972; Stiefel e Sheifele, 1971). Tal instabilidade pode aumentar os erros globais em uma propagação orbital, ou até tornar a solução divergente, quando se traba lha com órbitas de alta excentricidade e com um considerado pequeno tama nho do passo de integração. Neste capítulo, estuda-se inicialmente a na tureza do comportamento dinâmico do sistema de equações diferenciais orbitais. Em seguida, estuda-se a estabilização do sistema, finalizando-se com a apresentação de resultados de testes computacioanis sobre a for mulação apresentada.

4.1 - ESTUDO SOBRE O COMPORTAMENTO DINÂMICO EM ÓRBITA KEPLERIANA CIRCU LAR

Desprezando-se perturbações, o sistema de equações d $\underline{\mathbf{i}}$ ferenciais orbitais possui a forma:

$$\ddot{\dot{r}} + (u/r^3)\dot{\dot{r}} = 0 {(4.1)}$$

Pode-se obter o sistema em coordenadas polares (Figura 4.1) a partir do seguinte formalismo:

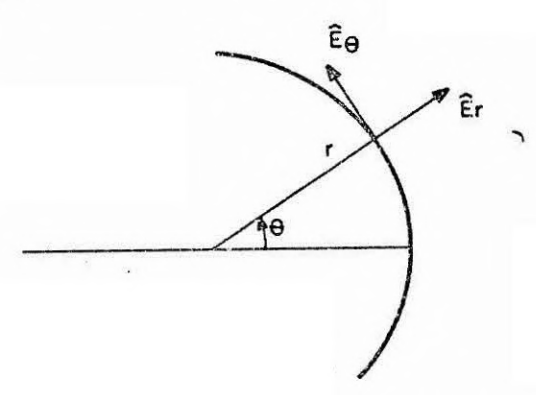


Fig. 4.1 - Configuração do sistema em coordenadas polares.

$$\vec{r} = r \cdot \hat{E}r$$

$$\vec{r} = (\vec{r} - r\theta^2) \hat{E}r + (r\theta + 2r\theta) \hat{E}\theta$$
(4.2)

Considerando-se as Equações 4.1 e 4.2, pode-se escrever:

$$\ddot{r} - r\dot{\theta}^2 + u/r^2 = 0$$

$$...$$

$$r\theta + 2\dot{r}\theta = 0$$
(4.3)

As equações 4.3 representam o sistema de equações diferenciais do movimento kepleriano escrito em coordenadas polares. Caso considere-se órbita circular,

O Sistema 4.3 assume então a forma:

$$\dot{\Theta} = \sqrt{u/r^3} \tag{4.4}$$

com r e θ constantes. Admitindo-se que para r = r_1 tem-se a solução do sistema, uma órbita ligeiramente deslocada r = r_2 é imaginada para efeito do estudo sobre o comportamento dinâmico, conforme a Figura 4.2, sendo as respectivas equações diferenciais do movimento as Equações 4.5.

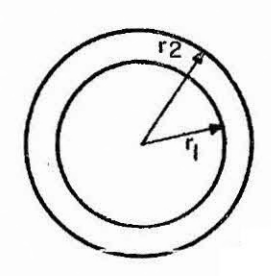


Fig. 4.2 - Órbitas circulares solução $(r = r_1)$ e deslocadas $(r = r_2)$.

$$\dot{\Theta}_1 = \sqrt{u/r_1^3} \tag{4.5}$$

$$\dot{\theta}_2 = \sqrt{u/r_2^3}$$

Segundo o conceito de estabilidade de Liapunov, para um sistema ser estável é necessário que o valor absoluto da diferença entre as coordenadas solução e deslocada permaneça menor que um certa tolerância para todo o desenvolvimento do sistema no tempo. A aplicação do conceito de estabilidade segundo Liapunov ao estudo sobre o comportamento dinâmico de qualquer sistema, requer inicialmente a criação de forma compatível com as dimensões, das tolerâncias ou valores positivos q e z de forma que para algum q>0 exista um z>0 tal que:

$$|r_1 - r_2| < q$$
 $|\theta_1(t) - \theta_2(t)| < z$

para todo o t>= 0. Como a velocidade angular orbital depende do raio, o valor absoluto da diferença dos ângulso $|\theta_1(t)-\theta_2(t)|$ tende a crescer no tempo, fato que caracteriza o sistema do movimento kepleriano circular de Liapunov-instável.

Baumgarte (1972) comprovou a análise acima utilizando á $\underline{1}$ gebra linear através do seguinte formalismo: Aplicando-se variações ao Sistema 4.3 tem-se:

$$\delta\ddot{r} - \Theta^2 \delta r - 2r\Theta \delta \Theta - (2u/r^3) \delta r = 0$$

$$\vdots$$

$$\Theta \delta r + r\delta \Theta + 2r\delta \Theta + 2\Theta \delta r = 0$$

$$(4.6)$$

Ao considerar-se movimento circular com r = a(cte), a velocidade angular será:

$$\dot{\Theta} = \sqrt{u/a^3} \tag{4.7}$$

O Sistema 4.6 assumirá a forma:

$$\delta\ddot{\mathbf{r}} - 3\mathbf{u}/\mathbf{a}^3 \cdot \delta\mathbf{r} - 2\sqrt{\mathbf{u}/\mathbf{a}} \cdot \delta\dot{\mathbf{\theta}} = 0$$

$$\vdots$$

$$\delta\Theta + 2\sqrt{\mathbf{u}/\mathbf{a}^5} \delta\dot{\mathbf{r}} = 0$$

$$(4.8)$$

Adotando-se a transformação:

$$\delta \mathbf{r} = \delta \mathbf{Y} \mathbf{1}$$
 ; $\delta \dot{\mathbf{r}} = \delta \mathbf{Y} \mathbf{2}$

$$\delta\Theta = \delta Y3$$
 ; $\delta\Theta = \delta Y4$,

pode-se montar o sistema:

$$\begin{bmatrix}
\delta Y 1 \\
\delta Y 2 \\
\delta Y 3 \\
\delta Y 4
\end{bmatrix}
\begin{bmatrix}
0 & 1 & 0 & 0 \\
3 u/a^3 & 0 & 0 & 2/u/a \\
0 & 0 & 0 & 1 \\
0 & -2/u/a^5 & 0 & 0
\end{bmatrix}
\begin{bmatrix}
\delta Y 1 \\
\delta Y 2 \\
\delta Y 3 \\
\delta Y 4
\end{bmatrix}$$
(4.9)

O Sistema 4.9 escrito na forma compacta será:

$$(\delta Y) = [A] \quad (\delta Y)$$
 (4.10)

Os auto valores da matriz [A] são:

0., 0.,
$$i \sqrt{u/a^3}$$
, $-i \sqrt{u/a^3}$.

Uma vez que a matriz [A] é de posto 3, existe apenas um único auto vetor linearmente independente para os respectivos auto valores múltiplos nu los, fato que caracteriza a instabilidade dinâmica.

O estudo acima foi restrito ao movimento circular k \underline{e} pleriano. Poder-se-ía no entanto, analizar o comportamento dinâmico em

um movimento excêntrico e perturbado de forma estrutural com os seguin tes raciocínios:

- a) Para órbitas excêntricas keplerianas, a frequência do movimento orbital é n = $\sqrt{u/a^3}$ onde a é o semi-eixo maior. Segundo o conceito de estabilidade de Liapunov, da para considerar de forma conveniente uma órbita solução e outra vizinha deslocada, órbitas i e e (Figura 4.3), de forma que |ri-re|<q mantenha-se verdadeiro, o mesmo não acontecendo ao módulo da diferença dos ângulos |0i(t)-0e(t)|<z, que cresceria de forma não linear no tempo. Este fato é evidente considerando-se a diferença das frequências orbitais dos movimentos. Portanto, o movimento kepleriano excêntrico, da mesma forma que o circular, é instável no sentido de Liapunov.
- b) Caso considere-se movimento perturbado, uma imposição ao problema torna-se necessária:
 - Durante um tempo relativamente grande de observação, os efeitos de perturbações secundárias não causam alterações significativas comparadas à taxa de crescimento, agora sofrendo decaimento ou aumento secular além de variações periódicas, do módulo da diferença dos ângulos |0i(t)-0e(t)|. Após esta imposição, o mesmo raciocínio anterior pode ser usado para com provar que o movimento perturbado é Liapunov-instável.

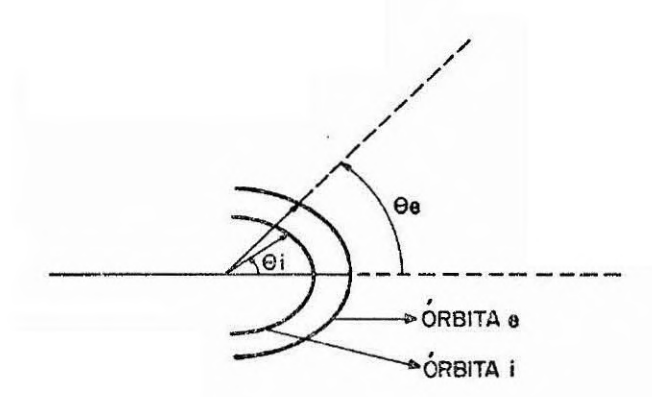


Fig. 4.3 - Órbitas solução (i) e deslocada (e).

4.2 - ESTABILIZAÇÃO DO SISTEMA DE EQUAÇÕES DIFERENCIAIS ORBITAIS

Foi visto no tópico 4.1 sobre a análise do comportamento dinâmico, que o fato da velocidade angular do movimento kepleriano circu lar depender do raio é que caracteriza tal movimento de instável. Baum garte (1972) introduziu no sistema de equações diferenciais escrito em coordenadas polares e possuindo o tempo fictício s como variável independepente, um termo de controle, mais precisamente a equação da energia, acabando com a dependência da velocidade angular fictícia do raio da ór bita, tornando o sistema Liapunov-estável. Tal procedimento é apresenta do em detalhes a seguir.

Considerando-se a transformeção de tempo na versão da anomalia excêntrica, monta-se o operador transformação:

$$d\vec{r}/ds = r \cdot d\vec{r}/dt$$
 ; $d/dt = (1/r)d/s$

O sistema 4.3 juntamente com a equação da energia, podem ser escritos com o tempo fictício s como variável independente utilizando-se para is so o operador transformação como segue: Trabalhando-se inicialmente com a primeira das Equações 4.3:

$$\ddot{r} - r\Theta^2 + u/r^2 = 0$$
 : $r = (1/r) r'$

$$d^2r/dt^2 = (1/r)d/ds((1/r)r')$$

$$\ddot{r} = (1/r)(r'' - r'^2/r^2)$$
 (4.11)

$$\Theta = (1/r) \Theta' \tag{4.12}$$

 $\Theta' = d\Theta/ds$

Substituindo-se as Equações 4.11 e 4.12 na primeira das Equações 4.3 tem-se:

$$r''/r - r'^2/r^2 - \Theta'^2 + u/r = 0$$
 (4.13)

A equação da energia do movimento kepleriano possui a forma:

$$(1/2)$$
 $(\dot{r} \cdot \dot{r}) - u/r = -Hk$

Considerando-se que:

$$\vec{r} = r.\hat{E}r : \vec{r} = \dot{r}.\hat{E}r + r\Theta.\hat{E}\Theta$$

A equação da energia assume então a forma:

$$(1/2)(r'^2/r^2 + \Theta'^2) - u/r + Hk = 0 (4.14)$$

onde Hk corresponde ao negativo da energia do movimetno kepleriano, ou seja, o negativo da soma das energias cinética e potencial, consideran do-se a Terra esférica e com distribuição homogênea de massa. Por ser nu la, a Equação 4.14 multiplicada por um fator de peso (w) pode ser intro duzida na Equação 4.13 sem alterá-la:

$$r''/r - r'^2/r^2 - \theta'^2 + u/r + w((1/2)(r'^2/r^2 + \theta'^2) - u/r + Hk) = 0$$

Reagrupando-se termos:

$$r''/r + (w/2 - 1)(r'^2/r^2 + \Theta'^2) + (1-w)u/r + wHk = 0$$
 (4.15)

Ao considerar-se movimento circular,

$$r'' = r' = 0$$
,

o que faz com que a Equação 4.15 assuma a forma:

$$\Theta^{12} = ((w-1)u/r - wHk)/(w/2 - 1)$$
 (4.16)

Com a Equação 4.16 percebe-se que para w=1, a velocidade angualr fict<u>í</u> cia (0') independe do raio (r), o que caracteriza estabilidade dinâmica no sentido de Liapunov. Com w=1, a Equação 4.15 que representa a dinâm<u>i</u> ca do sistema tendo o tempo fictício como variável independente tornase:

$$r''/r - (1/2)(r'^2/r^2 + \theta'^2) + Hk = 0$$
 (4.17)

A segunda equação do Sistema 4.3 pode ser escrita tendo o tempo fictício como variável independente a partir do seguinte forma lismo:

$$\Theta = (1/r)d/ds((1/r)\Theta')$$

$$r\theta = (1/r)\theta'' - (\theta'/r^2)r'$$
 (4.18)

$$2\dot{r}\Theta = 2r'\Theta'/r^2 \tag{4.19}$$

Substituindo-se as Equações 4.18 e 4.19 na segunda equação do sistema 4.3 tem-se:

$$r\theta'' + r'\theta' = 0$$
 (4.20)

Com as Equações 4.17 e 4.20 pode-se montar o sistema de equações do movimento kepleriano estabilizado, tendo o tempo fictício como variável independente e escrito em coordenadas polares, possuindo a forma:

$$r''/r - (1/2)(r'^2/r^2 + \Theta'^2) + Hk = 0$$
 (4.21)

$$r\Theta'' + r'\Theta' = 0$$

O mesmo princípio de estabilização utilizado para o movimento kepleriano, também o é para o perturbado, tratando-se da inclusão da equação da energia, agora não mais a energia do movimento kepleriano e sim a energia total, na equação da dinâmica do movimento perturbado tendo o tempo fictício como variável independente.

Ao apresentar-se a transformação de tempo efetuada no capítulo anterior, encontrou-se a seguinte equação:

$$\vec{r}'' = (1/r)(r'\vec{r}' - u\vec{r}) + r^2(\vec{P} - \partial V/\partial \vec{r})$$
 (4.22)

onde V é o potencial conservativo do movimento perturbado e \vec{P} o somat $\underline{\acute{o}}$ rio das forças específicas de natureza não conservativa. A energia to tal do movimento é dada por:

$$(1/2)\dot{r}^2 - u/r + V + H = 0 (4.23)$$

sendo H o negativo da energia mecânica total. A equação da energia (Equação 4.23) escrita em função do tempo fictício s fica na forma:

$$(1/2r^2)r^{2} - u/r + V + H = 0 (4.24)$$

Por ser nula, a Equação 4.24 multiplicada pelo vetor posição \vec{r} e por uma constante w pode ser introduzida na Equação 4.22 sem alterá-la:

$$\vec{r}'' = (1/r)(r'\vec{r}' - u\vec{r}) - w(1/2r^2)r'^2 - (u/r) + V+H)\vec{r} + r^2(\vec{P} - \partial V/\partial \vec{r})$$
(4.25)

Considerando-se w=1 (condição de estabilidade), a Equação 4.25 reduzse a forma:

$$\vec{r}'' = (1/r)r'\vec{r}' - ((1/2r^2)r'^2 + V + H)\vec{r} + r^2(\vec{P} - \partial V/\partial \vec{r})$$
 (4.26)

O Sistema 4.26 representa a dinâmica do movimento per turbado de forma estabilizada e tendo o tempo fictício como variável independente. É necessário no entanto, que se ressalte uma importante particularidade do formalismo empregado no processo de estabilização. Inicialmente foi comprovado que o movimento perturbado possui comporta mento Liapunov instável, lembrando-se para isso o fato de que a parcela matemática que representa o movimento kepleriano também está presente na expresão matemática do movimento perturbado. Porém, quando se trata do método de estabilização empregado a mesma linha de raciocínio não pode ser exatamente seguida, ou seja, aplicando-se o mesmo processo de estabilização, desenvolvido para o sistema que representa o movimento

kepleriano, no sistema perturbado, não significa que este último estará plenamente estabilizado. Contudo, a mais significativa parcela da expressão matemática do movimento perturbado é a que representa o harmônico zero, ou seja, a parcela do movimento kepleriano, que considera a Terra esférica e com distribuição homogênea de massa. Esta é precisamente a parcela da expressão perturbada que será estabilizada, melhorando assim o seu comportamento numérico.

O sistema estabilizado (Equação 4.26) possui o tempo fictício como variável independente e há obviamente a necessidade de se parar a integração em um tempo físico qualquer. Com isso, tornase necessária a integração da equação base da transformação de tempo,

$$dt/ds = r. (4.27)$$

Observa-se também que a energia total do movimento passou a ser uma co ordenada generalizada do sistema, sendo variável no caso de existirem perturbações de natureza não conservativa. Neste caso, há portanto a ne cessidade de se integrar a derivada da equação da energia a fim de ava liá-la em cada passo de integração. A equação da derivada da energia total em relação ao tempo físico pode ser encontrada da seguinte forma:

Sabe-se que

$$Ec = (1/2)\dot{\vec{r}}.\dot{\vec{r}}$$
,

corresponde a energia cinética específica.

$$Ec = \overrightarrow{r} \cdot \overrightarrow{r}$$

$$\overrightarrow{r} = -(u/r^3)\overrightarrow{r} - \partial V/\partial \overrightarrow{r} + \overrightarrow{P}$$

$$\mathbf{E}\mathbf{c} = -(\mathbf{u}/\mathbf{r}^3)\mathbf{\dot{r}}.\mathbf{\dot{r}} - \mathbf{\dot{r}}.(\partial \mathbf{V}/\partial \mathbf{\dot{r}} - \mathbf{\dot{r}})$$

Lembrando-se que:

$$\vec{r} \cdot \vec{r} = r\vec{r} : r = |\vec{r}| , \dot{r} = |\vec{r}|$$

$$dEc/dt = -(u/r^2)\dot{r} - \dot{\vec{r}}.(\partial V/\partial \dot{\vec{r}} - \dot{\vec{P}})$$

$$d/dt(u/r - (1/2)\dot{r}^2) = \dot{\vec{r}} \cdot (\partial V/\partial r - \vec{P})$$
 (4.28)

A energia do movimento kepleriano é igual ao termo entre parenteses do lado esquerdo da última equação:

$$Hk = u/r - (1/2)\dot{r}^2 \tag{4.29}$$

Com a equação 4.29, a Equação 4.28 torna-se:

$$\mathbf{H}\mathbf{k} = \mathbf{\dot{r}} \cdot (\partial \mathbf{V}/\partial \mathbf{\dot{r}} - \mathbf{\dot{P}}) \tag{4.30}$$

A energia total do movimento possui a forma:

$$E = (1/2)\dot{r}^2 - u/r + V \tag{4.31}$$

Ou de outra forma:

$$-H = -Hk + V$$
 (4.32)

Derivando-se a Equação 4.32 em relação ao tempo físico, encontra-se a ex pressão da derivada do negativo da energia total, que possui a forma:

$$\dot{H} = \dot{\vec{r}} \cdot (\partial V/\partial \dot{\vec{r}} - \dot{\vec{P}}) - dV/dt$$
 (4.33)

$$\dot{H} = \dot{\vec{r}} \cdot (\partial V/\partial \vec{r} - \vec{P}) - (\partial V/\partial \vec{r})d\vec{r}/dt$$

$$\dot{H} = -\dot{P} \cdot \dot{\dot{r}} \tag{4.34}$$

Considerando-se que

$$H' = r.H e Hk' = r.Hk$$

podem ser escritas as equações:

$$Hk' = \overrightarrow{r}' \cdot (\partial V/\partial \overrightarrow{r} - \overrightarrow{P}) \tag{4.35}$$

$$H' = -\vec{P} \cdot \vec{r}' \tag{4.36}$$

As Equações 4.35 e 4.36 representam as derivadas em relação ao tempo fictício da energia do movimento kepleriano e energia total.

Para se propagar o sistema estabilizado, necessário é que se integre as equações:

$$\vec{r}'' = (1/r)r'\vec{r}' - ((1/2r^2)r'^2 + V + H)\vec{r} + r^2(\vec{P} - 3V/3\vec{r})$$

$$H' = -\vec{P} \cdot \vec{r}'$$

$$t' = r$$
(4.37)

Observando-se o sistema de Equações 4.37, percebe-se que após a estabil<u>i</u> zação, o sistema de equações diferenciais que representa a dinâmica do movimento passou a ser de oitava ordem, com seis coordenadas general<u>i</u> zadas referentes a posição e velocidade, mais as coordenadas de energia e tempo.

4.3 - RESULTADO DE TESTES COMPUTACIONAIS E CONCLUSÕES

O sistema estabilizado (Equação 4.37) escrito em termos de suas componentes vetoriais possui a forma:

$$X'' = (1/r)r'X' - ((1/2r^2)r'^2 + V + H)X + r^2(Px - \partial V/\partial X)$$

$$Y'' = (1/r)r'Y' - ((1/2r^2)r'^2 + V + H)Y + r^2(Py - \partial V/\partial Y)$$

$$Z'' = (1/r)r'Z' - ((1/2r^2)r'^2 + V + H)Z + r^2(Pz - \partial V/\partial Z)$$
(4.38)
$$H' = -(Px.X' + Py.Y' + Pz.Z')$$

$$t' = r$$

O caracter 'significa derivada em relação ao tempo fictício. Px, Py e Pz já definidos, representam as projeções nas direções inerciais X, Y e Z das perturbações de natureza não conservativa. V é o potencial de natureza conservativa do movimento perturbado e H é a energia mecânica to tal do movimento. Adotando-se a transformação,

$$X = Y1$$
 ; $Y = Y2$; $Z = Y3$ $X' = Y4$; $Y' = Y5$; $Z' = Y6$,

o Sistema 4.38 assume então a forma:

$$Y1' = Y4$$

$$Y2' = Y5$$

$$Y3' = Y6$$

$$Y4' = (1/r)r'Y4-((1/2r^2)r'^2+V+H)Y1+r^2(Py1-\partial V/\partial Y1)$$

$$Y5' = (1/r)r'Y5-((1/2r^2)r'^2+V+H)Y2+r^2(Py2-\partial V/\partial Y2)$$

$$Y6' = (1/r)r'Y6-((1/2r^2)r'^2+V+H)Y3+r^2(Py3-\partial V/\partial Y3)$$

$$H' = -(Py1.Y4 + Py2.Y5 + Py3.Y6)$$

$$t' = r$$

O Sistema 4.39, que possui oito equações diferenciais de primeira ordem, corresponde ao sistema estabilizado para o movimento perturbado.

Caso considere-se movimento não perturbado, o Sistema 4.39 assume a forma:

$$Y1' = Y4$$

 $Y2' = Y5$
 $Y3' = Y6$
 $Y4' = (1/r)r'Y4 - ((1/2r^2)r'^2 + Hk)Y1$ (4.40)
 $Y5' = (1/r)r'Y5 - ((1/2r^2)r'^2 + Hk)Y2$
 $Y6' = (1/r)r'Y6 - ((1/2r^2)r'^2 + Hk)Y3$

Com o potencial conservativo perturbador V=0, e com a energia total igual a energia do movimento kepleriano que assume valor constante H=Hk= CTE, o sistema passou a ter sete equações diferenciais de primeira or dem.

O sistema estabilizado possui o tempo fictício s como variável independente. Há entretanto a necessidade de se parar a integração em um determinado tempo físico. Uma vez que o sistema estabilizado possui embutido em seu equacionamento a mesma transformação de tempo adotada para o sistema apenas transformado, ou seja, transformação do tipo Sundman de tempo na versão da anomalia excêntrica,

$$d\vec{r}/ds = r d\vec{r}/dt$$
 ,

t' = r

a forma de se parar a integração será a mesma utilizada no capítulo anterior,

$$s = \int_{0}^{2\pi} \sqrt{a/u} \ dE ,$$

que considera órbita kepleriana com o tempo de propagação equivalente a um período orbital.

As condições iniciais para a propagação, são as três coordenadas de posição, dadas por X, Y e Z, que são as próprias coordenadas das físicas já que não há transformação de espaço. As três coordenadas da velocidade fictícia X', Y' e Z' são obtidas a partir da equação base da transformação de tempo

$$\vec{r}' = r \vec{r}$$

tendo-se obviamente o prévio conhecimento da velocidade física r no pon to inicial da propagação. A energia inicial é obtida com a Equação 4.29 e permanecerá constante, caso considere-se órbita kepleriana. Caso con sidere-se movimento perturbado, a energia total inicial é obtida através da Equação 4.32. A coordenada de tempo inicial fica a critério do progra mador, sendo que nos testes deste trabalho adotou-se o valor zero para a mesma.

As mesmas órbitas propagadas no capítulo anterior, tam bém o foram neste capítulo e serão também nos posteriores. Isto é feito com o objetivo de permitir uma comparação real entre as formulações apresentadas em cada capítulo. Trabalha-se com métodos numéricos de quarta e oitava ordem, porém, com o cuidado de identificar efeitos que as vezes surgem quando se utiliza métodos de quarta ordem em movimento kepleriano e que não se verificam de forma geral, ou seja, para movimento perturbado. Repetindo-se as órbitas propagadas por um período orbital:

a = 34869261. m

e = 0.; 0.2; 0.4; 0.6; 0.8

i = 15.

 $\Omega = 45.$

w = 30.

M = 0.

Os resultados obtidos com a propagação estão dispostos nas Tabelas 4.1, 4.2 e 4.3, nas quais integrações foram efetuadas com tamanhos de passo equivalentes ao período orbital sobre sessenta (T/60), sobre quarenta (T/40) e sobre vinte (T/20).

A Tabela 4.1 expõe resultados da propagação do sistema estabilizado através de um Runge-Kutta de quarta ordem, nos tamanhos de passo T/60, T/40 e T/20. É perceptível que o erro em posição diminui com o aumento da excentricidade, enquanto que o erro da velocidade Por exemplo, no intervalo entre 0 e 0,2 de excentricidade, posição para T/60 diminui em 9% e o erro em velocidade cresce em 14%. Mesmo assim tal efeito não se verifica em movimento perturbado, conforme será visto no Capítulo 6 (Tabela 6.7). Acontece que a órbita kepleriana não se deforma sendo fixa no espaço (solução analítica). O Runge-Kutta de quarta ordem avalia apenas quatro vezes as derivadas em cada passo, e os pontos discretos obtidos durante a integração numérica, têm sua distân cia da solução analítica em função do tamanho do passo e da excentrici dade, ambos intrinsicamente relacionados. Tais pontos estão sobre uma curva não coincidente, obviamente, com a curva solução analítica. vez variando-se a excentricidade em um sentido, a órbita kepleriana as sume formas fixas no espaço para cada excentricidade, assim como a cur va com os pontos discretos, só que a variação da forma para cada excen tricidade desta última em relação a primeira não se verifica

proporcional, podendo-se estar diminuindo coincidentemente a distância entre o ponto discreto solução numérica e o ponto sobre a curva solução analítica na saída, numa espécie de ajustamento onde as duas curvas tendem a ficar coincidentes no tempo físico final desejado. Isso conside rando-se a transformação de tempo embutida e a consequente estabilização, que eliminam grande parte do efeito negativo da variação excessiva dos módulos dos vetores velocidade e posição ao longo da órbita com elevada excentricidade.

TABELA 4.1

SISTEMA ESTABILIZADO PROPAGADO EM UM RUNGE-KUTTA DE QUARTA ORDEM

EXC	PASSO	Δr(m)	Δr(m/s)	CPU
0,0	т/60	192,2077	0,018544	0,4
	т/40	1084,044	0,104166	0,3
	T/20	16906,27	1,583522	0,3
	т/60	174,8966	0,021515	0,4
0,2	т/40	1048,764	0,128586	0,3
	т/20	16578,95	1,994287	0,3
0,4	т/60	142,7779	0,025015	0,4
	т/40	960,2675	0,167951	0,3
	т/20	15630,31	2,759851	0,3
	т/60	88,38912	0,026524	0,4
0,6	т/40	801,9341	0,341363	0,3
	T/20	14103,49	4,669779	0,3
0,8	т/60	20,51953	0,015617	0,4
	т/40	520,1799	0,418223	0,3
	т/20 .	12687,09	14,12580	.0,3

TABELA 4.2

SISTEMA ESTABILIZADO PROPAGADO EM UM RUNGE-KUTTA DE OITAVA ORDEM

EXC.	PASSO	Δr(m)	Δr(m/s)	CPU
0,0	T/60	27,44884	0,002661	1,4
	T/40	27,45191	0,002661	1,1
	T/20	27,45818	0,002662	0,6
	T/60	40,39559	0,004996	1,4
0,2	T/40	40,39898	0,004997	1,0
	T/20	40,40371	0,004998	0,6
	т/60	58,74636	0,010358 .	1,5
0,4	T/40	58,75090	0,010359	1,0
	T/20	58,75511	0,010360	0,6
A CONTRACTOR	т/60	87,90808	0,026636	1,4
0,6	т/40	87,91198	0,026637	1,1
	T/20	87,92099	0,026642	0,6
0,8	T/60	148,2284	0,119771	1,5
	т/40	148,2309	0,119773	1,0
	T/20	148,5095	0,120091	0,6

TABELA 4.3

SISTEMA ESTABILIZADO PROPAGADO EM UM PREDITOR-CORRETOR DE OTTAVA CRUEM

EXC.	PASSO	Δr(m)	Δr(m/s)	CPU
0,0	т/60	27,49179	0,002665	0,8
	T/40	28,03703	0,002718	0,7
- 01/04/04/21/05/7/	T/20	143,3596	0,010688	0,7
	т/60	40,43765	0,005002	0,8
0,2	T/40	40,97013	0,005067	0,6
	т/20	151,5033	0,015163	0,7
0,4	т/60	58,78611	0,010365	0,8
	T/40	59,28473	0,010452	0,6
	T/20	160,9574	0,024368	0,7
	т/60	87,94303	0,026647	0,8
0,6	т/40	88,38169	0,026777	0,6
	т/20	177,1439	0,048668	0,7
0,8	т/60	148,2551	0,119792	0,8
	т/40	148,5946	0,120054	0,6
	T/20	218,9923	0,168064	0,8

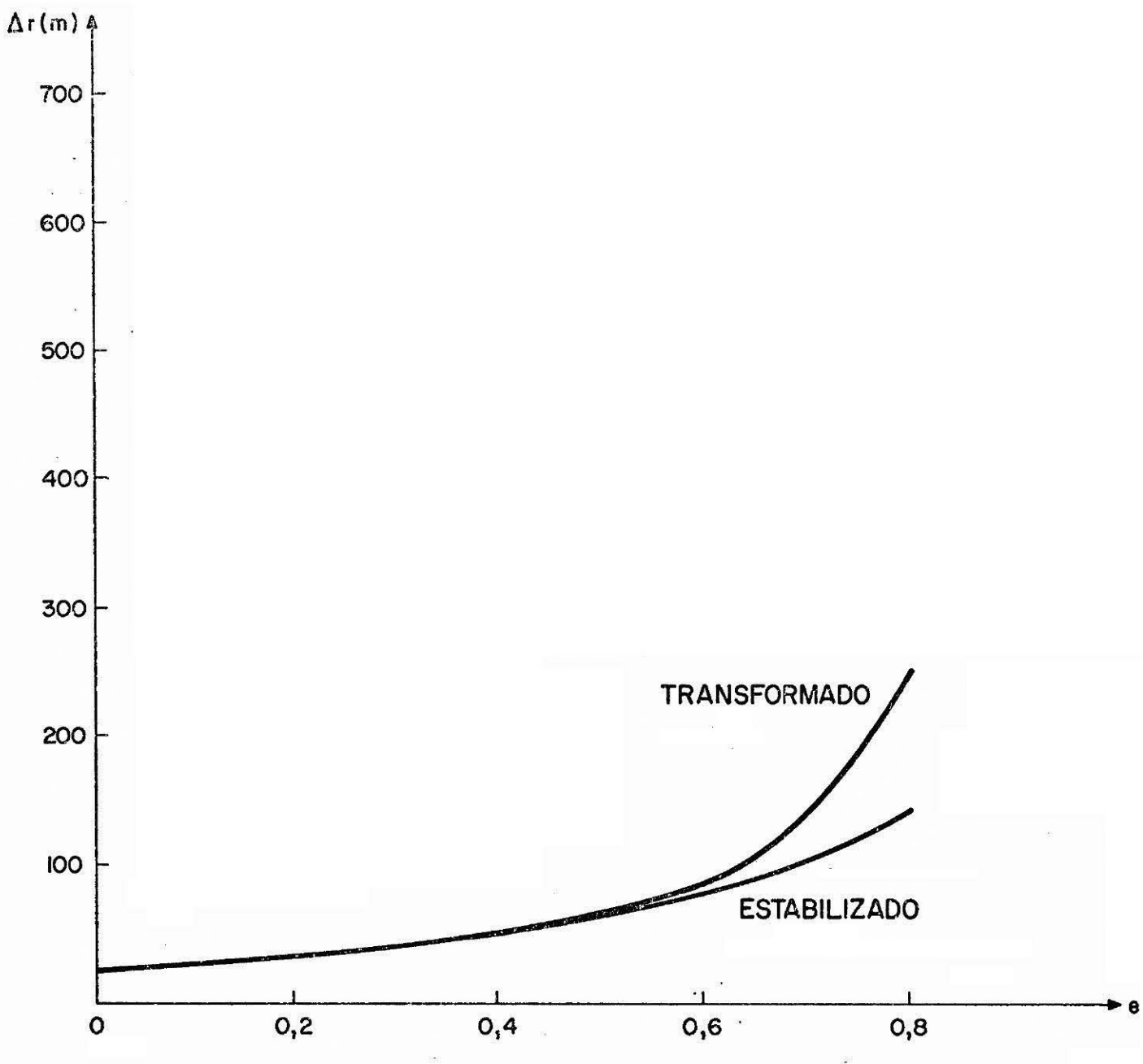


Fig. 4.4 - Sistema transformado e estabilizado, propagados em um Runge-Kutta de oitava ordem com um tamanho de passo equivalente ao período orbital sobre vinte (T/20).

Analisando-se as Tabelas 4.2 e 3.2, tem-se uma idéia do comportamento em termos de precisão entre os sistemas em tempo físico, transformado e estabilizado, integrados em um Runge-Kutta de oitava or dem. É perceptível que para tamanhos do passo iguais ou superiores a T/40, não há diferença entre os sistemas transformado e estabilizado. Os erros com o sistema estabilizado também crescem com a excentricidade. O tempo de processamento obtido quando se utiliza o sistema estabilizado, é ligeiramente maior do que o tempo obtido com o sistema apenas transformado. Em relação ao sistema em tempo físico, o sistema estabilizado apresentou resultados sempre superiores em termos de precisão.

A Tabela 4.3 refere-se a integração do sistema estabilizado utilizando-se um preditor-corretor de oitava ordem. Ao analissar-se a mesma em conjunto com a Tabela 3.3, percebe-se que de forma idêntica aos resultados obtidos com um Runge-Kutta de oitava ordem, não há diferença em termos de precisão entre os sistemas transformado e estabilizado quando se utiliza um tamanho do passo de integração igual ou superior a T/40. Para o tamanho de integração equivalente a T/20, o sistema estabilizado apresentou resultados melhores do que o sistema apenas transformado, sendo que esta melhoria se amplia à medida em que se aumenta a excentricidade.

A Figura 4.3 ressalta a diferença em termos de precisão entre os sistemas transformado e estabilizado propagados em um Runge-Kutta de oitava ordem, para um tamanho do passo equivalente ao período orbital sobre vinte (T/20). Percebe-se que a partir da excentricidade 0,4 já há uma pequena diminuição do erro utilizando-se o sistema estabilizado, diminuição esta que se amplia com o acréscimo da excentricidade da órbita.

Pode-se extrair algumas conclusões finais baseadas na análise das tabelas e do gráfico. O sistema de equações diferenciais do movimento orbital escrito matematicamente através de uma das formula ções estudadas, acompanhado do seu respectivo método numérico de integração, ambos formam um conjunto que possui caracteristicas específi

cas. Portanto, mais correto seria falar sobre precisão dos resultados de uma formulação em relação a outra utilizando-se um determinado método numérico. Como os métodos de quarta ordem avaliam apenas quatro vezes as derivadas por passo de integração, o efeito da estabilização em relação ao sistema apenas transformado é mais perceptível em tais métodos.

Quando um conjunto está atuando, ou seja, integrador mais formulação, à medida em que se aumenta o tamanho do passo de integração, mais se aproxima de uma fronteira na qual a partir da mesma a solução seria divergente. Tal fronteira poderia ser chamada de limiar de estabilidade. O que ficou nitidamente perceptível é que com a estabilização, tal limiar foi expandido, o que significa dizer que podese trabalhar com um maior tamanho do passo de integração e ainda continuar na região de convergência, como pode ser comprovado a partir da análise da Figura 4.4.

Pode-se, finalmente, adiantar de forma preliminar uma conclusão só plenamente comprovada a posteriori, quando se apresentar testes com perturbações (ver Capítulo 6). É aconselhável a utilização do sistema apenas transformado quando se trabalha com um passo maior igual a T/40 em integradores de oitava ordem, enquanto aconselha-se a utilização do sistema estabilizado quando se trabalha com métodos de mais baixa ordem, segunda e quarta por exemplo, ou ainda quando se utiliza integradores de oitava ordem com tamanhos de passo maiores que T/40, principalmente em médias e altas excentricidades.

CAPÍTULO 5

REGULARIZAÇÃO

Nos dois últimos capítulos, estudou-se a transformação do tipo Sundman de tempo na versão da anomalia excêntrica e a estabilização, esta última possuindo o objetivo de melhorar o comportamento nu mérico da integração. No presente capítulo, o estudo será dirigido a uma outra formulação conhecida na literatura científica da área como regularização (Stiefel e Sheifele, 1971), que tem como objetivo tom nar regular o sistema de equações diferenciais do movimento orbital, eliminando a singularidade do mesmo na origem do sistema de referência. A apresentação da formulação é feita em três etapas distintas. As duas primeiras serão a aplicação da regularização aos casos de movimento unidimensional e bidimensional, sendo a última a extrapolação ao caso tridimensional.

5.1 - REGULARIZAÇÃO EM MOVIMENTO UNIDIMENSIONAL

No Capítulo 3 estudou-se a transformação de tempo na ver são da anomalia excêntrica e obteve-se a seguinte equação para o sis tema transformado:

$$\vec{r}'' = (r'/r)\vec{r}' - (u/r)\vec{r} + r^2(-\partial V/\partial \vec{r} + \vec{P})$$
 (5.1)

Observa-se entretanto, que o Sistema 5.1 é singular na origem (r=0). Em resumo, o objetivo da regularização é tornar o sistema não singular eliminando a variável r do denominador dos termos principais da Equação 5.1. Em caso de movimento kepleriano, a Equação 5.1 torna-se:

$$\vec{r}'' = (r'/r)\vec{r}' - (u/r)\vec{r}$$
 (5.2)

Considerando-se movimento unidimensional, a Equação 5.2 assumirá a forma:

$$r'' = r'^2/r - u$$
 (5.3)

A equação da energia do movimento kepleriano tendo o tempo fictício co mo variável independente possui a forma:

$$Hk = u/r - (1/2r^2)r'^2$$
 (5.4)

Adotando-se a transformação quadrática

$$r = U^2 , \qquad (5.5)$$

tem-se consequentemente as equações:

$$r'' = 2UU' \tag{5.6}$$

$$r'' = 2UU'' + 2U'^{2}$$
 (5.7)

Com as Equações 5.5 e 5.6, a equação da energia do movimento kepleria no assume então a forma:

$$Hk = (1/U^2) \cdot (u-2U^{2})$$
 (5.8)

Extraindo-se a velocidade U' da Equação 5.8 e substituindo-se na 5.6 tem-se:

$$r^{12} = 4U^2(1/2).(u-HkU^2)$$
 (5.9)

Substituindo-se as Equações 5.9, 5.7 e 5.5 na Equação 5.3 tem-se a equação:

$$U'' + (Hk/2)U = 0$$
 (5.10)

que representa a dinâmica do movimento não perturbado unidimensional, com posição na forma paramétrica da variável U, e possuindo o tempo fic tício como variável independente. Definindo-se:

$$W^2 = Hk/2$$
, (5.11)

Pode-se escrever a Equação 5.10 na forma:

$$U^{1} + W^{2}U = 0 (5.12)$$

Com a Equação 5.12 percebe-se que o movimento não perturbado unidimersio ral originalmente não linear (Equação 5.3), passou a ser linear além de homogêneo, possuindo a forma, para Hk>O, de um oscilador harmônico sim ples com frequência de oscilação igual a W.

5.2 - A REGULARIZAÇÃO EM MOVIMENTO BIDIMENSIONAL

Conseguiu-se de forma relativamente simples, a efetiva ção da regularização sobre a equação da dinâmica do movimento não per turbado unidimensional, tendo sido utilizado apenas as equações da dinâmica do movimento (Equação 5.3) e a equação da energia do movimento kepleriano em um processo de substituição direta desta última na primeira, levando-se em conta a transformação quadrática (Equação 5.5). Tal procedimento efetivamente não pode ser aplicado ao caso bidimensio nal uma vez que por ser a equação da dinâmica do sistema uma equação ve torial em duas dimensões, a substituição direta da equação da energia nesta não tem como resultado uma equação regular. Para contornar tal situação, Levi-Civita (Stiefel e Sheifele, 1971) propôs a seguinte transformação:

$$X1 + iX2 = (U1 + iU2)^2$$
 (5.13)

sendo:

 \vec{r} = (X1 X2) , posição no plano físico.

 \vec{U} = (U1 U2) , posição no plano paramétrico.

 $i = \sqrt{-1}$, número imaginário.

A transformação 5.13 é semelhante à transformação quadrática 5.5 e pos sibilita que se escreva as relações:

$$X1 = U1^2 - U2^2 (5.14)$$

$$X2 = 2U1U2$$
 (5.15)

As Equações 5.14 e 5.15 postas em forma matricial resultam:

Sendo

$$L (\vec{U}) = \begin{bmatrix} U1 & -U2 \\ \cdot & \\ U2 & U1 \end{bmatrix}$$
 (5.16)

a matriz de Levi-Civita, pode-se construir a forma compacta:

$$\vec{r} = L(\vec{U})\vec{U} \tag{5.17}$$

Derivando-se as Equações 5.14 e 5.15 em relação ao tempo fictício S:

$$X1' = 2U1U1' - 2U2U2'$$
 (5.18)

$$X2' = 2U1U2' + 2U2U2'$$
 (5.19)

As Equações 5.18 e 5.19 podem ser escritas na forma compacta:

$$\vec{\mathbf{r}}' = 2\mathbf{L}(\vec{\mathbf{U}})\vec{\mathbf{U}}' \tag{5.20}$$

Derivando-se a Equação 5.20 com respeito ao tempo fictício:

$$\vec{r}'' = 2L(\vec{0})\vec{0}'' + 2L'(\vec{0})\vec{0}'$$
 (5.21)

Ao derivar-se a matriz de Levi-Civita (Equação 5.16) em relação ao tem po fictício, percebe-se que:

$$L'(\vec{U}) = L(\vec{U}') \tag{5.22}$$

A Equação 5.21 torna-se então:

$$\vec{\mathbf{r}}^{"} = 2\mathbf{L}(\vec{\mathbf{U}})\vec{\mathbf{U}}^{"} + 2\mathbf{L}(\vec{\mathbf{U}}^{"})\vec{\mathbf{U}}^{"}$$
 (5.23)

A matriz de Levi-Civita é ortogonal, admitindo como verdadeira a ex pressão:

$$\mathbf{L}^{\mathbf{T}}(\vec{\mathbf{U}}) \cdot \mathbf{L}(\vec{\mathbf{U}}) = \vec{\mathbf{U}} \cdot \vec{\mathbf{U}}(1) = \mathbf{r}(1) \tag{5.24}$$

onde (1) é a matriz diagonal unitária. A Equação 5.24 permite que seja escrito:

$$\mathbf{r} = \vec{\mathbf{U}}.\vec{\mathbf{U}} \tag{5.25}$$

E consequentemente:

$$\mathbf{r'} = 2\overrightarrow{\mathbf{U}}\overrightarrow{\mathbf{U}}$$
 (5.26)

Supondo-se que os vetores da Equação 5.1 possuem tercei ra componente nula, tal equação representa a dinâmica do movimento bi dimensional. Substituindo-se as Equações 5.20, 5.23, 5.25 e 5.26 na Equação 5.1, a mesma passa a ser escrita com as variáveis de posição no plano paramétrico (U1 e U2), tendo o tempo fictício como variável independente:

$$2L(\vec{v})\vec{v}'' + 2L(\vec{v}')\vec{v}' = (2\vec{v}.\vec{v}'2L(\vec{v})\vec{v}' - uL(\vec{v})\vec{v})/(\vec{v}.\vec{v}) + (\vec{v}.\vec{v})^2(-\partial V/\partial \vec{r} + \vec{P})$$

Reagrupando-se termos:

$$2(\vec{\mathbf{U}}.\vec{\mathbf{U}})\mathbf{L}(\vec{\mathbf{U}})\vec{\mathbf{U}}'' + 2(\vec{\mathbf{U}}.\vec{\mathbf{U}})\mathbf{L}(\vec{\mathbf{U}}')\vec{\mathbf{U}}' - 4(\vec{\mathbf{U}}.\vec{\mathbf{U}}')\mathbf{L}(\vec{\mathbf{U}})\vec{\mathbf{U}}' + u\mathbf{L}(\vec{\mathbf{U}})\vec{\mathbf{U}}' = (\vec{\mathbf{U}}.\vec{\mathbf{U}})^{3}(-\partial \mathbf{V}/\partial \vec{\mathbf{r}} + \vec{\mathbf{p}})$$

$$(5.27)$$

Verifica-se como verdadeira a seguinte igualdade:

$$((\mathbf{L}^{\mathrm{T}}(\vec{\mathbf{U}})\,.\,\mathbf{L}(\vec{\mathbf{U}}^{\,\prime})\,-\,2(\vec{\mathbf{U}}.\vec{\mathbf{U}}^{\,\prime})\,(\,1\,))\vec{\mathbf{U}}^{\,\prime}\,=\,-\,(\vec{\mathbf{U}}^{\,\prime}\,.\vec{\mathbf{U}}^{\,\prime}\,)\vec{\mathbf{U}}$$

Ou ainda:

$$\mathbf{L}^{\mathbf{T}}(\vec{\mathbf{U}}).\mathbf{L}(\vec{\mathbf{U}}')\vec{\mathbf{U}}' - 2(\vec{\mathbf{U}}.\vec{\mathbf{U}}')\vec{\mathbf{U}}' + (\vec{\mathbf{U}}'.\vec{\mathbf{U}}')\vec{\mathbf{U}}' = 0$$

Multiplicando-se a última equação por $L(\vec{U})$ e tendo-se em mente a Equação 5.24 resulta:

$$(\vec{\upsilon}.\vec{\upsilon})_{L}(\vec{\upsilon}')\vec{\upsilon}' - 2(\vec{\upsilon}.\vec{\upsilon}')_{L}(\vec{\upsilon})\vec{\upsilon}' + (\vec{\upsilon}'.\vec{\upsilon}')_{L}(\vec{\upsilon})\vec{\upsilon}' = 0$$
 (5.28)

Multiplicando-se a Equação 5.28 por dois tem-se:

$$2(\vec{\mathbf{U}}.\vec{\mathbf{U}})_{\mathbf{L}}(\vec{\mathbf{U}}')_{\mathbf{U}'}^{\mathbf{U}'} - 4(\vec{\mathbf{U}}.\vec{\mathbf{U}}')_{\mathbf{L}}(\vec{\mathbf{U}})_{\mathbf{U}'}^{\mathbf{U}'} + 2(\vec{\mathbf{U}}'.\vec{\mathbf{U}}')_{\mathbf{L}}(\vec{\mathbf{U}})_{\mathbf{U}}^{\mathbf{U}} = 0$$
 (5.29)

Substituindo-se a Equação 5.29 na Equação 5.27 tem-se:

$$2(\vec{\mathbf{U}}.\vec{\mathbf{U}})\mathbf{L}(\vec{\mathbf{U}})\vec{\mathbf{U}}'' - 2(\vec{\mathbf{U}}'\vec{\mathbf{U}}')\mathbf{L}(\vec{\mathbf{U}})\vec{\mathbf{U}} + \mathbf{u}\mathbf{L}(\vec{\mathbf{U}})\vec{\mathbf{U}} = (\vec{\mathbf{U}}.\vec{\mathbf{U}})^{3}(-\partial \vec{\mathbf{V}}/\partial \vec{\mathbf{r}} + \vec{\mathbf{p}})$$

Multiplicando-se a esquerda a última equação por $L^{-1}(\vec{U})$ resulta:

$$2(\vec{v}.\vec{v})\vec{v}'' - 2(\vec{v}'.\vec{v}')\vec{v} + u\vec{v} = (\vec{v}.\vec{v})^{2}(\vec{v}.\vec{v})^{-1}(\vec{v})(\partial V/\partial \vec{r} + \vec{p})$$
 (5.30)

Da Equação 5.24 pode ser escrita a equação

$$\mathbf{L}^{\mathbf{T}}(\vec{\mathbf{U}}) = (\vec{\mathbf{U}}.\vec{\mathbf{U}})\mathbf{L}^{-1}(\vec{\mathbf{U}}) ,$$

que substituida a Equação 5.30 resulta:

$$2(\vec{\mathbf{U}}.\vec{\mathbf{U}})\vec{\mathbf{U}}'' + (\mathbf{u} - 2(\vec{\mathbf{U}}'.\vec{\mathbf{U}}'))\vec{\mathbf{U}} = (\vec{\mathbf{U}}.\vec{\mathbf{U}})^2 \mathbf{L}^{\mathrm{T}}(\vec{\mathbf{U}}) (-\partial \mathbf{V}/\partial \vec{\mathbf{r}} + \vec{\mathbf{p}})$$

Reagrupando-se termos:

$$\vec{\mathbf{v}}'' + (1/(\vec{\mathbf{v}}.\vec{\mathbf{v}})) \cdot (\mathbf{u}/2 - (\vec{\mathbf{v}}'.\vec{\mathbf{v}}')) \vec{\mathbf{v}} = (1/2) (\vec{\mathbf{v}}.\vec{\mathbf{v}}) \mathbf{L}^{\mathbf{T}}(\vec{\mathbf{v}}).$$

$$. (-\partial V/\partial \vec{r} + \vec{p})$$
 (5.31)

Considerando-se a Equação 5.20, pode-se escrever que:

$$|\vec{r}'|^2 = 4(L(\vec{U})\vec{U}' \cdot L(\vec{U})\vec{U}')$$

Ou ainda:

$$|\vec{r}'|^2 = 4(\vec{U}'L^T(\vec{U})L(\vec{U})\vec{U}')$$

Considerando-se a Equação 5.24, a última equação torna-se:

$$|\vec{r}'|^2 = 4(\vec{U}.\vec{U})(\vec{U}'.\vec{U}') = 4r|\vec{U}'|^2$$
 (5.32)

Com a Equação 5.32, a Equação 5.4 que representa a energia do movimento kepleriano torna-se:

$$Hk=u/r - (2/r)|U'|^2$$

Lembrando-se que $r=\vec{U}.\vec{U}$, a última equação assume a forma:

$$(Hk/2)=(1/(\vec{U}.\vec{U})).(u/2-(\vec{U}'.\vec{U}'))$$
 (5.33)

Substituindo-se a Equação 5.33 na Equação 5.31 tem-se:

$$\vec{U}'' + (Hk/2)\vec{U} = (1/2)(\vec{U}.\vec{U})L^{T}(\vec{U})(-\partial V/\partial \vec{r} + \vec{P})$$
 (5.34)

Percebe-se, com a Equação 5.34, que a dinâmica do movimento passou a ser representada por um sistema de equações diferenciais regulares, que no caso do movimento bidimensional possui ordem igual a seis, ou seja, quatro equações diferenciais referentes a posição e velocidade, mais as equações de tempo t' e da energia do movimento kepleriano Hk'.

Caso considere-se órbita kepleriana, a energia ${\tt H}{\tt K}$ tor na-se constante, resultando no sistema:

$$\vec{U}'' + (Hk/2)\vec{U} = 0 \tag{5.35}$$

semelhante ao oscilador harmônico simples obtido para o caso unidimen sional.

A aplicação da regularização ao caso bidimensional será extrapolada ao caso de se considerar o movimento tridimensional, apenas com a ressalva de que não será usado o mesmo caminho matemático. Em razão disto, um resumo sobre a atual aplicação é feito a seguir.

Dado o vetor posição no plano físico

$$\vec{r} = (x1 \ x2)^T$$

Definiu-se

$$X1 + iX2 = (U1 + iU2)^2$$
,

obtendo-se a transformação quadrática na forma compacta,

$$\vec{r} = L(\vec{v})\vec{v}$$
,

sendo $L(\vec{U})$ a matriz de Levi-Civita.

A equação diferencial regular 5.34 deve-se à transfo<u>r</u> mação quadrática apresentada, bem como a algumas propriedades da m<u>a</u> triz de Levi-Civita implícitas no desenvolvimento anterior e reunidas a seguir.

1 - Ortogonalidade

$$\mathbf{L}^{\mathrm{T}}(\vec{\mathbf{U}})\mathbf{L}(\vec{\mathbf{U}}) = \mathbf{L}(\vec{\mathbf{U}})\mathbf{L}^{\mathrm{T}}(\vec{\mathbf{U}}) = (\vec{\mathbf{U}}.\vec{\mathbf{U}}) \ (1) = r(1)$$

2 - Seus elementos são funções lineares e homogêneas dos parâme tros U j, j=1,2.

$$L'(\vec{U}) = L(\vec{U}^i)$$

3 - Verifica-se como verdadeiro:

$$(\vec{\mathbf{U}}.\vec{\mathbf{U}})\mathbf{L}(\vec{\mathbf{U}}')\vec{\mathbf{U}}'-2(\vec{\mathbf{U}}.\vec{\mathbf{U}}')\mathbf{L}(\vec{\mathbf{U}})\vec{\mathbf{U}}'+(\vec{\mathbf{U}}'.\vec{\mathbf{U}}')\mathbf{L}(\vec{\mathbf{U}})\vec{\mathbf{U}}=0$$

$$L(\vec{U})\vec{U}' = L(\vec{U}')\vec{U}$$

Concluiu-se que a essência da regularização no caso bidimensional está na transformação de Levi-Civita representada pela matriz $L(\vec{U})$, considerando-se todas as suas propriedades. Esta transformação conjuntamente com a substituição da equação da energia, fazem com que o sistema passe a ser regular, o que constitui o objetivo básico de todo o processo de regularização.

5.3 - REGULARIZAÇÃO EM MOVIMENTO TRIDIMENSIONAL

A regularização do sistema dinâmico que representa o movimento no espaço, está condicionada a existência de uma matriz de transformação que obedeça aos mesmos teoremas que a matriz de Levi-Civita obedece no caso bidimensional. Após verificar a impossibilidade

de se obter uma matriz em três dimensões com tais propriedades, P.Kus taaheimo propôs uma matriz de transformação em quatro dimensões, a matriz KS (Kustaanheimo, 1964).

$$L(\vec{U}) = \begin{bmatrix} U1 & -U2 & -U3 & U4 \\ U2 & U1 & -U4 & -U3 \\ U3 & U4 & U1 & U2 \\ U4 & -U3 & U2 & -U1 \end{bmatrix}$$
(5.36)

Com a transformação através da matriz KS, Equação 5.36, o espaço pas sa a ter quatro dimensões, sendo a transformação:

$$\begin{bmatrix} X1 \\ X2 \\ X3 \\ 0 \end{bmatrix} = \begin{bmatrix} U1 & -U2 & -U3 & U4 \\ U2 & U1 & -U4 & -U3 \\ U3 & U4 & U1 & U2 \\ U4 & -U3 & U2 & -U1 \end{bmatrix} \begin{bmatrix} U1 \\ U2 \\ U3 \\ U4 \end{bmatrix}$$

Com consequentes equações:

$$X1 = U1^2 - U2^2 - U3^2 + U4^2$$
 (5.37)

$$X2 = 2(U1U2-U3U4)$$
 (5.38)

$$X3 = 2(U1U3+U2U4)$$
 (5.39)

As coordenadas dos espaços físicos e paramétricos em quatro dimensões estão dispostas nos respectivos vetores posição:

$$\vec{r} = (x1 \quad x2 \quad x3)^{T}$$

$$\vec{U} = (U1 \quad U2 \quad U3 \quad U4)^{T}$$

A transformação possui então a forma compacta:

$$\vec{r} = L(\vec{U})\vec{U} \tag{5.40}$$

5.3.1 - CONSIDERAÇÕES SOBRE A MATRIZ KS

Das prioridades apresentadas no tópico anterior sobre a matriz de Levi-Civita, verifica-se que a matriz KS obedece às duas primeiras, ou seja,

1)
$$L^{T}(\vec{U})L(\vec{U}) = L(\vec{U})L(\vec{U}) = (\vec{U}.\vec{U})(1) = r(1)$$

2)
$$L'(\vec{U}) = L(\vec{U}')$$

A propriedade 3 está condicionada a ocorrêncai da igualdade:

$$U4U1'-U3U2'+U2U3'-U1U4' = 0 (5.41)$$

A Equação 5.41 é conhecida como relação bilinear, sendo que se ela for satisfeita, então garante-se que são válidas as equações da propriedade 3, a saber:

A Equação 5.28 reescrita a seguir, e a 5.42.

$$(\vec{\upsilon}.\vec{\upsilon})_{\rm L}(\vec{\upsilon}')\vec{\upsilon}' - 2(\vec{\upsilon}.\vec{\upsilon}')_{\rm L}(\vec{\upsilon})\vec{\upsilon}' + (\vec{\upsilon}.\vec{\upsilon})_{\rm L}(\vec{\upsilon})\vec{\upsilon}' \ = \ 0$$

$$L(\vec{\mathbf{U}})\vec{\mathbf{U}}^{!} = L(\vec{\mathbf{U}}^{!})\vec{\mathbf{U}}$$
 (5.42)

A última das equações do sistema matricial 5.42 possui a forma:

$$U4U1'-U3U2'+U2U3'-U1U4' = -(U4U1'-U3U2'+U2U3'-U1U4')$$

Portanto, a condição de existência para a Equação 5.42 seria

U4U1'-U3U2'+U2U3'-U1U4' = 0

ou seja, a relação bilinear.

Até o presente desenvolvimento, sabe-se da necessidade da existência da relação bilinear, mas a comprovação da sua existência não foi obtida. Tal comprovação advém do seguinte formalismo:

Da Equação 5.20 pode ser escrito:

$$L(\vec{U})\vec{U}' = (1/2) \cdot \vec{r}'$$
 (5.43)

ou ainda,

Observando-se a quarta componente da equação matricial acima, perce be-se que a relação bilinar (Equação 5.42) é satisfeita para os veto res U e U'. Portanto, a matriz KS obedece a todas as propriedades que a matriz de Levi-Civita também obedece.

5.3.2 - EQUAÇÕES REGULARES DO MOVIMENTO NO ESPAÇO

Considerando-se o fato de que a matriz KS obedece a todas as propriedades da matriz de Levi-Civita, o sistema de equações regulares para o movimento perturbado tridimensional terá a mesma forma do sistema encontrado para o movimento em duas dimensões, dado pela Equação 5.34, a saber:

$$\vec{U}'' + (Hk/2)\vec{U} = (1/2)(\vec{U}.\vec{U})L^{T}(\vec{U})(-\partial V/\partial \vec{r} + \vec{P})$$
 (5.44)

sendo \vec{U} o vetor posição do espaço paramétrico a quatro dimensões e $L(\vec{U})$ a matriz KS.

Parte da Equação 5.44 continua em função de \vec{r} devido a presença da derivada parcial do potencial perturbador conservativo. Tal potencial não possui o tempo físico ou fictício de forma explícita em sua expressão, ou seja:

$$V = V(X1, X2, X3)$$

Após a transformação de espaço, obteve-se:

$$\vec{r} = L(\vec{U})\vec{U}$$

Pode-se então escrever:

$$\partial V/\partial \vec{U} = \partial V/\partial \vec{r} \cdot \partial \vec{r}/\partial \vec{U}$$

Ou ainda:

$$\partial V/\partial Uj = \sum_{i=1}^{3} \partial V/\partial xi \cdot \partial xi/\partial Uj,$$
 (5.45)

com j=1,...,4.

Considerando-se as Equações 5.37, 5.38 e 5.39, pode-se compor as Equações 5.45:

$$\frac{\partial V}{\partial U} = 2 \begin{bmatrix} (U1\partial V/\partial X1 + U2\partial V/\partial X2 + U3\partial V/\partial X3) \\ (-U2\partial V/\partial X1 + U1\partial V/\partial X2 + U4\partial V/\partial X3) \\ (-U3\partial V/\partial X1 - U4\partial V/\partial X2 + U1\partial V/\partial X3) \\ (U4\partial V/\partial X1 - U3\partial V/\partial X2 + U2\partial V/\partial X3) \end{bmatrix}$$
 (5.46)

A parcela $L^{T}(\vec{U}) \partial V/\partial \vec{r}$ possui a forma:

$$L^{\mathbf{T}}(\vec{\mathbf{U}}) \partial \mathbf{V} / \partial \vec{\mathbf{r}} = \begin{bmatrix} (U1\partial \mathbf{V} / \partial \mathbf{X}1 + U2\partial \mathbf{V} / \partial \mathbf{X}2 + I3\partial \mathbf{V} / \partial \mathbf{X}3) \\ (-U2\partial \mathbf{V} / \partial \mathbf{X}1 + U1\partial \mathbf{V} / \partial \mathbf{X}2 + U4\partial \mathbf{V} / \partial \mathbf{X}3) \\ (-U3\partial \mathbf{V} / \partial \mathbf{X}1 - U4\partial \mathbf{V} / \partial \mathbf{X}2 + U1\partial \mathbf{V} / \partial \mathbf{X}3) \\ (U4\partial \mathbf{V} / \partial \mathbf{X}1 - U3\partial \mathbf{V} / \partial \mathbf{X}2 + U2\partial \mathbf{V} / \partial \mathbf{X}3) \end{bmatrix}$$
(5.47)

Comparando-se as Equações 5.46 e 5.47 pode-se escrever:

$$\mathbf{L}^{\mathbf{T}}(\vec{\mathbf{U}}) \partial \mathbf{V} / \partial \vec{\mathbf{r}} = (1/2) \partial \mathbf{V} / \partial \vec{\mathbf{U}}$$
 (5.48)

Inserindo-se a Equação 5.48 na 5.44 tem-se:

$$\vec{\mathbf{U}}'' = -(\mathbf{H}\mathbf{k}/2)\vec{\mathbf{U}} + (|\vec{\mathbf{U}}|^2/2)(-(1/2)\partial\mathbf{V}/\partial\vec{\mathbf{U}} + \mathbf{L}^{\mathbf{T}}(\vec{\mathbf{U}})\vec{\mathbf{P}})$$
(5.49)

Percebe-se que a Equação 5.49 é regular e representa a dinâmica do movimento orbital físico tridimensional, representado em um espaço de quatro dimensões e desenvolvido em um tempo que varia de forma não linear com o tempo físico, inclusa todas as perturbações de ordem secundária de natureza conservativa $(\partial V/\partial \vec{U})$ e não conservativa (\vec{P}) .

Considerando-se que

$$Hk = H + V$$
,

A Equação 5.49 é então escrita na forma:

$$\vec{\mathbf{U}}'' = -(1/2)(\mathbf{H} + \mathbf{V})\vec{\mathbf{U}} + (|\vec{\mathbf{U}}|^2/2)(-(1/2)\partial\mathbf{V}/\partial\vec{\mathbf{U}} + \mathbf{L}^{\mathbf{T}}(\vec{\mathbf{U}})\vec{\mathbf{P}})$$
(5.50)

onde H é o negativo da energia total do movimento. Analisando-se a equação regularizada do movimento perturbado (Equação 5.49), percebe-se que para pequenas perturbações, a energia do movimento kepleriano (Hk) va ria suavemente com o tempo fictício ou físico e o lado direito do sis tema é aproximadamente nulo, o que faz com que a Equação 5.49 assuma a forma aproximada de um oscilador harmônico simples.

A energia total passou a ser uma coordenada generalizada do siste ma regularizado, sendo a equação da sua derivada obtida da seguinte forma:

$$H' = -(\overrightarrow{P}.\overrightarrow{r}')$$

$$\vec{r}' = 2L(\vec{U})\vec{U}'$$

Logo:

$$H' = -\vec{P}.(2L(\vec{U})\vec{U}') = -2(L^{T}(\vec{U})\vec{P}.\vec{U}')$$

$$(5.51)$$

A variável independente do sistema regularizado é o tempo fictício. A conhecida necessidade de se parar a integração em um tempo físico final desejado obriga a integração da equação da derivada do tempo físico em relação ao fictício, fazendo com que o tempo físico passe a ser uma coor denada generalizada do sistema.

Após a regularização, o sistema de equações diferenciais orbitais assume a forma:

$$\vec{\mathbf{U}}'' = -(1/2)(\mathbf{H} + \mathbf{V})\vec{\mathbf{U}} + (|\vec{\mathbf{U}}|^2/2)(-(1/2)\partial\mathbf{V}/\partial\vec{\mathbf{U}} + \mathbf{L}^{\mathbf{T}}(\vec{\mathbf{U}})\vec{\mathbf{P}})$$

$$\mathbf{H}' = -2(\mathbf{L}^{\mathbf{T}}(\vec{\mathbf{U}})\vec{\mathbf{P}}.\vec{\mathbf{U}}')$$
(5.52)

$$t' = r$$

com oito equações diferenciais referentes à posição e velocidade no espa ço de quatro dimensões, mais as equações de energia e de tempo.

5.4 - CONSIDERAÇÕES SOBRE A INTEGRAÇÃO NUMÉRICA

O sistema regularizado (Equação 5.52) pode ser ajus tado para ser integrado a partir de um sistema de equações diferenciais de primeira ordem com a seguinte transformação:

$$U1 = Y1$$
; $U2 = Y2$; $U3 = Y3$; $U4 = Y4$
 $U1' = Y5$; $U2' = Y6$; $U3' = Y7$; $U4' = Y8$

Considerando-se que,

$$\mathbf{L}^{\mathbf{T}}(\vec{\mathbf{U}}) \cdot \vec{\mathbf{F}} = \begin{bmatrix} \mathbf{U}1\mathbf{P}1 + \mathbf{U}2\mathbf{P}2 + \mathbf{U}3\mathbf{P}3 \\ -\mathbf{U}2\mathbf{P}1 + \mathbf{U}1\mathbf{P}2 + \mathbf{U}4\mathbf{P}3 \\ -\mathbf{U}3\mathbf{P}1 - \mathbf{U}4\mathbf{P}2 + \mathbf{U}1\mathbf{P}3 \\ \mathbf{U}4\mathbf{P}1 - \mathbf{U}3\mathbf{P}2 + \mathbf{U}2\mathbf{P}3 \end{bmatrix}$$

pode-se escrever então:

onde:

D = -(1/2)(H+V) e
F = (
$$|\vec{U}|^2/2$$
)

5.4.1 - CONDIÇÕES INICIAIS DA INTEGRAÇÃO

Os valores iniciais dos vetores \vec{U} e \vec{U} ' devem ser obtidos a partir dos vetores posição e velocidade física \vec{r} e \vec{r} no tempo físico inicial, que fica a critério do programador. Das Equações 5.37, 5.38, 5.39 e considerando-se que

$$|\vec{r}| = r = (\vec{U}.\vec{U}) = U1^2 + U2^2 + U3^2 + U4^2$$
,

pode-se escrever:

$$U1^2 + U4^2 = (1/2)(X1 + r)$$
 (5.54)

Uma vez que X1 e r são conhecidos, atribui-se um valor para U1 por exem plo, encontrando-se consequentemente U4.

Ainda das últimas equações citadas, pode-se obter as duas outras coordenadas do espaço paramétrico na forma:

$$U2 = (X2U1+X3U4)/(X1+r)$$
 (5.55)

$$U3 = (X3U1-X2U4)/(X1+r)$$
 (5.56)

Uma vez determinado o vetor posição inicial \vec{U} , determina-se o vetor. ve locidade inicial da seguinte forma:

Da Equação 5.20 pode-se escrever:

$$\mathbf{L}^{\mathrm{T}}(\vec{\mathbf{U}})\vec{\mathbf{r}}' = 2\mathbf{L}^{\mathrm{T}}(\vec{\mathbf{U}})\mathbf{L}(\vec{\mathbf{U}})\vec{\mathbf{U}}'$$

Ou ainda:

$$\vec{U}' = (1/2|\vec{U}|^2)L^{T}(\vec{U})\vec{r}'$$
(5.57)

Como \vec{r}' inicial é conhecido, \vec{U}' inicial também o será.

Caso despreze-se perturbações, o sistema regularizado em órbita kepleriana assume a forma:

(5.58)

Y1' = Y5

Y2' = Y6

Y3' = Y7

Y4' = Y8

Y5' = (-H/2)Y1

Y6' = (-H/2)Y2

Y7' = (-H/2)Y3

Y8' = (-H/2)Y4

 $t' = |\overrightarrow{U}|^2$

onde H=Hk (CTE).

5.5 - RESULTADO DE TESTES COMPUTACIONAIS E CONCLUSÕES

A exemplo dos capítulos anteriores, os testes do atual capítulo também serão efetuados em órbitas keplerianas, sobre as mesmas órbitas e utilizando-se os mesmos tamanhos de passo com integradores de quarta e oitava ordem. Os resultados dos testes estão dispostos nas Tabelas 5.1, 5.2 e 5.3. A Figura 5.1 ajuda a compreensão dos efeitos das formulações.

TABELA 5.1

SISTEMA REGULARIZADO PROPAGADO EM UM RUNGE-KUTTA DE QUARTA ORDEM

EXC.	PASSO	Δr(m)	Δṙ(m/s)	CPU
0,0	т/60	13,75266	0,011321	0,4
	т/40	42,11121	0,004059	0,3
	т/20	1031,933	0,099160	0,3
	T/60	26,96708	0,003335	0,4
0,2	T/40	27,75792	0,003404	0,3
	T/20	994,6468	0,122280	0,3
0,4	т/60	46,18399	0,008143	0,4
	т/40	5,502590	0,000843	0,3
	T/20.	907,4823	0,159344	0,3
· .	т/60	76,94116	0,023313	0,4
0,6	т/40	32,50795	0,009834	0,3
	T/20	754,2040	0,227917	0,3
0,8	т/60	140,0028	0,113125	0,4
	T/40	106,6441	0,086167	0,4
	T/20	482,6298	0,389338	0,3

TABELA 5.2

SISTEMA REGULARIZADO PROPAGADO EM UM RUNGE-KUTTA DE OITAVA ORDEM

EXC.	PASSO	Δr(m)	Δr(m/s)	CPU
0,0	т/60	27,44943	0,002661	1,4
	т/40	27,45302	0,002661	1,0
	T/20	27,46585	0,002663	0,6
	T/60	40,39545	0,004997	1,4
0,2	T/40	40,39966	0,004997	1,0
	T/20	40,41197	0,004999	0,6
-	T/60	58,74710	0,010358	1,4
0,4	T/40	58,75075	0,010359	1,0
	T/20	58,76221	0,010361	0,6
	T/60	87,90845	0,026636	1,5
0,6	T/40	87,91128	0,026637	1,0
	T/20	87,92179	0,026641	0,6
	т/60	148,2282	0,119719	1,4
0,8	T/40	148,2313	0,119774	1,0
	T/20	148,2387	0,119780	0,7

TABELA 5.3

SISTEMA REGULARIZADO PROPAGADO EM UM PREDITOR-CORRETOR DE OITAVA ORDEM

EXC.	PASSO	Δr(m)	Δṙ(m/s)	CPU
0,0	T/60.	27,46724	0,002663	0,8
	T/40	27,46671	0,002663	0,6
	T/20	27,91454	0,002706	0,7
	т/60	40,41228	0,004999	0,7
0,2	T/40	40,47292	0,004999	0,6
	T/20	40,85161	0,005053	0,7
	т/60	58,76251	0,010361	0,7
0,4	т/40	58,76314	0,010361	ó,6
	т/20	59,17371	0,010433	0,7
ž.	T/60	87,92245	0,026641	0,7
0,6	T/40	87,92288	0,026641	. 0,6
	T/20	88,28012	0,026749	0,7
0,8	T/60	148,2386	0,119780	0,7
	T/40	148,2400	0,119781	0,6
	T/20	148,5075	0,119997	0,7

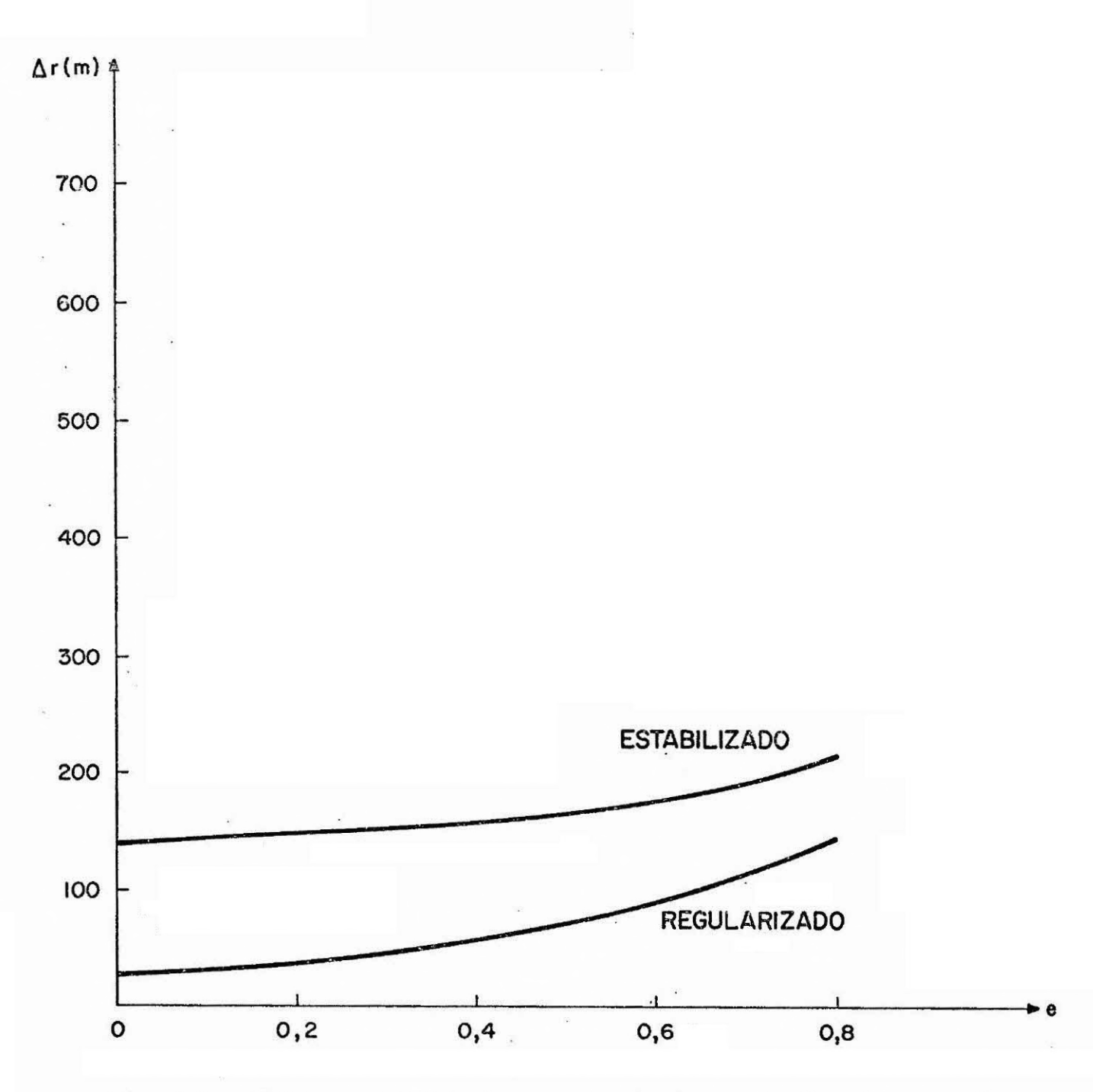


Fig. 5.1 - Sistemas estabilizado e regularizado, propagados em um pred \underline{i} tor-corretor de oitava ordem e com T/20 para tamanho do passo.

A Tabela 5.1 contém os resultados das propagações em um Runge-Kutta de quarta ordem. É perpeptível que para o tamanho do passo igual a T/60, os erros em posição começam pequenos e se ampliam gradati vamente com o acréscimo da excentricidade. Já para T/40, os erros dimi nuem até um limite próximo a 0,4 de excentricidade, crescendo a partir de então. Tal efeito é idêntico ao encontrado com o sistema estabiliza do (Tabela 4.1) completando agora de certa forma a sua verificação. No caso atual, a distância entre a curvacom os pontos discretos obtidos numericamente e a curva solução analítica tende a diminuir à medida em que se aproxima de um determinado valor de excentricidade, voltando a crescer a partir deste limite. Deve ser lembrado o fato de que o sistema regula rizado também é estabilizado uma vez que a dinâmica do movimento keple riano é representada por uma equação de um oscilador harmônico simples (Equação 5.35) com Hk constante, daí, a mesma tendência nos resultados apresentados pelas Tabelas 4.1 e 5.1.

A Tabela 5.2 refere-se à propagação em um Runge-Kutta de oitava ordem. Seus resultados deixam transparecer a regularidade da saída do sistema em função da excentricidade, o que é uma caracteristica dos integradores de oitava ordem atuando sobre as diferentes formulações estudadas. Os erros em posição e velocidade aumentam com a excentricidade e são idênticos para todos os tamanhos de passo. Percebe-se também que com este integrador, não há diferença em termos de precisão entre as formulações estabilizado (Tabela 4.2) e regularizado (Tabela 5.2). Com o RK8 o sistema regularizado apresentou melhores resultados que o apenas transformado para o tamanho de passo T/20.

A Tabela 5.3 refere-se à propagação em um preditor-corre tor de oitava ordem. Seus resultados são idênticos aos obtidos com o Runge-Kutta de oitava ordem (Tabela 5.2), porém, com a vantagem de possuir em média um menor tempo de processamento, justamente porque este integrador avalia um menor número de vezes as derivadas. Observa-se também que o sistema propagado em um preditor-corretor de oitava or dem, possui um melhor comportamento em relação ao sistema estabilizado

propagado no mesmo integrador (Tabela 4.3), que por sua vez já possui comportamento melhor que o apenas transformado, tudo isso considerando—se o tamanho do passo T/20.

O gráfico contido na Figura 5.1 ressalta a diferença de comportamento dos sistemas regularizado e estabilizado propagados em um preditor-corretor de oitava ordem, com um tamanho de passo igual a T/20. Nele observa-se que com a regularização, a fronteira que separa as regiões de convergência e divergência, intitulada no capítulo anterior de limiar de estabilidade, foi expandida, possibilitando assim a integração do sistema com maiores tamanhos de passo.

Podem ser extraídas algumas conclusões finais a respeito das formulações estudadas até este capítulo, algumas delas já obtidas no capítulo anterior. Continua verdadeiro o fato de que as diferenças em termos de precisão entre as formulações, são mais evidentes quando se utiliza integradores de mais baixa ordem, segunda ou quarta por exem plo, devendo-se ter o cuidado de identificar efeitos que surgem quando se utiliza órbita kepleriana com tais integradores que não se verificam de maneira geral, ou seja, também para movimento perturbado. Caso a in tegração for efetuada em métodos de quarta ordem, o sistema deve ser regularizado e com T/60 para o tamanho de passo. Caso utilize-se preditor-corretor de oitava ordem, o sistema deve ser regularizado para T/20, podendo ser estabilizado para T/40 e apenas transformado T/60, conferindo dessa forma o mesmo nível de precisão com o menor de processamento possível. Se a integração for efetuada -Kutta de oitava ordem, o sistema pode ser apenas transformado órbitas com excentricidades menores ou iguais a 0,4, devendo ser estabi lizado ou regularizado para órbitas com excentricidades maiores que 0,4. Tais conclusões são de âmbito preliminar uma vez que baseiam-se resultados obtidos com órbitas keplerianas. Conclusões mais completas advirão dos testes com órbitas perturbadas, assunto do próximo capítu lo.

CAPÍTULO 6

ESTUDO EM MOVIMENTO PERTURBADO

Até o presente momento, os testes apresentados ram restritos a órbitas keplerianas. Tais resultados são importantes pa ra dar uma primeira visão sobre o efeito das diferentes principalmente porque as soluções analíticas são conhecidas e tem-se uma noção exata do erro após a integração. Entretanto, a partir deste capí tulo o estudo se fará sobre o movimento perturbado justamente por esta a realidade física do fenômeno. Algumas dificuldades turalmente e a primeira delas é o desconhecimento de uma solução exata para a integração das equações do movimento perturbado, solução esta que seria utilizada na obtenção do erro apresentado pelas diferentes formulações após a integração. Adotou-se então no presente uma solução obtida também de forma numérica para ocupar o lugar da so lução tida como exata. Utilizou-se para tanto o pacote de de propagação numérica de órbita do Departamento de Mecânica Espacial e Controle do INPE (Kuga e Silva, 1984), constituindo-se basicamente em um integrador numérico que além de trabalhar ajustando o tamanho do pas so de integração, varia também a ordem do método, propagando. evidente mente o sistema de equações do movimento em tempo físico. No presente capítulo, órbitas perturbadas são propagadas com os sistemas em tempo físico, transformado, estabilizado e regularizado, tabelas e gráficos são montados e apresenta-se no final uma análise conclusiva sobre os resultados.

6.1 - PERTURBAÇÃO EM MOVIMENTO ORBITAL

Foram vistos no Capítulo 2, os tipos de forças às quais o satélite está submetido no espaço. A principal diz respeito a atração gravitacional da terra como se esta fosse perfeitamente esférica e com distribuição homogênea de massa. Tal força está relacionada ao harmônico zero do geopotencial. Os demais harmônicos são ditos perturbadores de vez que o gradiente dos mesmos em relação ao sistema iner

cial, dă origem a uma força da ordem mil vezes menor, para o segundo harmônico, do que a originada do harmônico zero, sendo no mínimo um milhão de vezes menor, para os demais harmônicos. Os efeitos das de mais perturbações tais como arrasto atmosférico, pressão de radiação e marés terrestres são significativamente menores do que o efeito do se gundo harmônico, conforme pode ser verificado através da Tabela 2.1. Tendo em vista a importância de tal efeito na composição das perturbações, considerou-se apenas o zonal 2 como efeito perturbador do movimento. O potencial perturbador considerado possui então a expressão:

$$V = (1/2) \cdot uJ2R_{t}^{2}(3Z^{2} - r^{2})r^{5}$$
(6.1)

Onde:

R_t é o raio equatorial terrestre.

 $J2 = 1,08264.10^{-3}$, é o coeficiente zonal 2.

O raio vetor r é naturalmente função das coordenadas inerciais de posição, X, Y e Z. O gradiente do potencial V com respeito a r dá origem às forças perturbadoras de natureza conservativa, nas direções X, Y e Z.

$$\partial V/\partial \vec{r} = (\partial V/\partial r \cdot \partial r/\partial X)\hat{i} + (\partial V/\partial r \cdot \partial r/\partial Y)\hat{j} + (\partial V/\partial r \cdot \partial r/\partial Z)\hat{k}$$

$$+ (\partial V/\partial r \cdot \partial r/\partial Z)\hat{k}$$
(6.2)

Portanto:

$$Xp = \frac{\partial V}{\partial r} \cdot \frac{\partial r}{\partial X}$$

 $Xp = \frac{\partial V}{\partial r} \cdot \frac{\partial r}{\partial Y}$
 $Zp = \frac{\partial V}{\partial r} \cdot \frac{\partial r}{\partial Z}$ (6.3)

As Equações 6.3 são as fórças específicas perturbadoras oriundas do se gundo harmônico, onde o índice p designa-as como tal.

Após a obtenção das derivadas parciais tem-se:

$$Xp = (3/2)uJ2R_{t}^{2} (r^{2} - 5z^{2})X/r^{7}$$

$$...$$

$$Yp = (Y/X)Xp$$

$$...$$

$$Zp = (3/2)uJ2R_{t}^{2} (3r^{2} - 5z^{2})z/r^{7}$$
(6.4)

As Equações 6.4 modificam a forma da órbita no espaço e quando intro duzidas nas equações diferenciais do movimento orbital, fazem com que não exista solução analítica exata para a integração. Estas equações formam as perturbações consideradas nos testes deste capítulo.

6.2 - MECANISMO DE PARADA NO TEMPO FÍSICO FINAL

Os sistemas transformado, estabilizado e regularizado de senvolvem-se em um tempo que varia de forma não linear com o tempo físico, o tempo fictício. Quando trabalhou-se com órbitas keplerianas nos capítulos anteriores, determinou-se uma solução analítica para a equação diferencial da coordenada de tempo físico, ficando assim o problema de se parar a integração no tempo físico final resolvido. Tal procedimento não pode ser aplicado em movimento perturbado uma vez que não existe solução analítica para a equação de tempo. Uma maneira de contornar parcialmente tal situação, reside na popssibilidade de se fazer convergir a solução do sistema através de sucessivas itera ções utilizando-se para tanto a própria equação difeerencial da coorde nada de tempo físico:

$$dt/ds = r ag{6.5}$$

A Figura 6.1 tenta ilustrar uma situação de convergência.

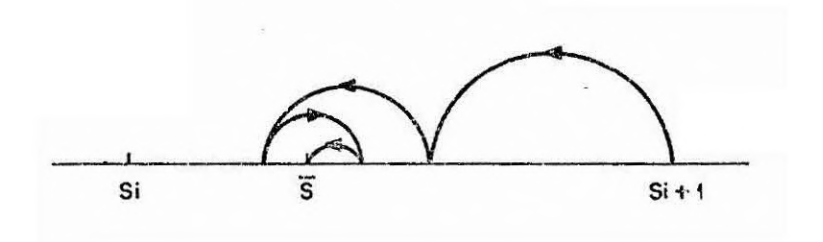


Fig. 6.1 - Situação de convergência.

O intervalo de integração compreendido entre os tempos fictícios Si e Si+1 corresponde ao último passo de integração. O tempo fictício S é correspondente ao tempo físico Tf no qual a saída é desejada. Ob viamente o S é desconhecido e sabe-se apenas quando se passa desse valor durante o processamento, justamente porque a cada passo se obtém o tempo físico a partir da integração da Equação 6.5, podendo-se sem pre testar o tempo físico obtido com o final desejado.

Da Equação 6.5 pode-se escrever:

$$dS = (1/r)dt (6.6)$$

Ou ainda:

$$\Delta S = (1/r).(Tf-t), \qquad (6.7)$$

onde o AS será o novo tamanho do passo de integração a cada iteração, o Tf é o tempo físico final que naturalmente é conhecido e o t é o tem po físico obtido a cada iteração. O processo iterativo cessa quando o t converge para o Tf, extraindo-se nesse ponto a solução desejada. Tal critério constitui-se em um dos possíveis mecanismos de parada existentes e será adotado para todas as formulações que trabalham com o tempo fictício. Sua eficiência será julgada em um capítulo posterior de vez que no momento, ele será utilizado de igual forma em todas as

formulações, não comprometendo assim a veracidade dos resultados rel \underline{a} tivos entre as mesmas.

6.3 - RESULTADO DE TESTES COMPUTACIONAIS E CONCLUSÕES

Os sistemas de equações diferenciais obtidos nos três últimos capítulos, serão a partir de agora integrados considerandose como perturbação o efeito do achatamento polar (zonal 2), com forças específicas perturbadoras correspondentes às Equações 3.4.

6.3.1 - O SISTEMA EM TEMPO FÍSICO EM ÓRBITA PERTURBADA

O sistema de equações diferenciais do movimento orbital, possuindo o tempo físico como variável independente tem a forma:

$$\vec{r} = -(u/r^3)\vec{r} - \partial V/\partial \vec{r} + \vec{P}$$
 (6.8)

Considerando-se o zonal 2 como perturbação, as equaçõoes nas coordena das inerciais ficam na forma:

$$\ddot{X} = -(u/r^3)X - \ddot{X}p$$

$$\ddot{Y} = -(u/r^3)Y - \ddot{Y}p$$

$$\ddot{Z} = -(u/r^3)Z - \ddot{Z}p$$
(6.9)

Adotando-se a transformação:

$$Y1 = X$$
; $Y2 = Y$; $Y3 = Z$
 $Y4 = X$; $Y5 = Y$; $Y6 = Z$,

O Sistema 6.7 de equações diferenciais de segunda ordem transformase em um equivalente de seis equações diferenciais de primeira ordem, na forma:

(6.10)

$$Y1 = Y4$$

$$Y2 = Y5$$
.

$$Y3 = Y6$$

$$Y4 = -(u/r^{3})Y1 - (3/2)uJ2R_{t}^{2}(r^{2} - 5Y3^{2})Y1/r^{7}$$

$$Y5 = -(u/r^{3})Y2 - (3/2)uJ2R_{t}^{2}(r^{2} - 5Y3^{2})Y2/r^{7}$$

$$Y6 = -(u/r^{3})Y3 - (3/2)uJ2R_{t}^{2}(3r^{2} - 5Y3^{2})Y3/r^{7}$$

Onde,

$$r = \sqrt{Y1^2 + Y2^2 + Y3^2}$$

O Sistema 6.10 foi propagado por um período de tempo físico equivalen te a 18 horas, aproximadamente um período de revolução. As órbitas iniciais são as mesmas dos capítulos anteriores, estando os resultados dispostos nas Tabelas 6.1, 6.2 e 6.3.

TABELA 6.1

SISTEMA EM TEMPO FÍSICO, COM PERTURBAÇÃO, PRO PAGADO EM UM RUNGE-KUTTA DE QUARTA ORDEM.

EXC.	PASSO	Δr(m)	Δṙ(m/s)	CPU
	т/60	1058,37170	0,096933	0,5
0,0	T/40	1628,33994	0,150004	0,4
P	т/20	58032,7004	5,456520	0,3
	т/60	4511,98103	0,421866	0,6
0,2	т/40	2758,00877	0,172029	0,4
	т/20	10573,4617	17,51164	0,3
	т/60	4575,75525	1,534572	0,6
0,4	T/40	88763,0427	17,95155	0,5
F - 40 WANTED IN CO.	·T/20	2930550,94	537,8870	0,3
3	т/60	936637,616	292,0787	0,7
0,6	т/40	5926625,37	1785,386	0,5
	т/20	42880230,7	8766,886	0,3
=	т/60	32151301,5	12275,95	0,6
0,8	т/40	9837972,64	7056,616	0,4
	т/20	429930914,	3900,539	0,4

TABELA 6.2

SISTEMA EM TEMPO FÍSICO, COM PERTURBAÇÃO, PRO PAGADO EM UM RUNGE-KUTTA DE OITAVA ORDEM

EXC.	PASSO	Δr(m)	Δr(m/s)	CPU
0,0	T/60	1833,6166	0,174159	1,6
	T/40	1652,1405	0,154877	1,2
	т/20	1606,8616	0,152350	0,7
9	T/60	4425,5622	0,485559	2,0
0,2	T/40	4358,9822	0,474818	1,2
•	T/20	4428,0676	0,499191	0,7
0,4	T/60	7000,4468	1,125744	1,9
	т/40	6967,3445	1,120878	1,4
	т/20 -	7975,9994	1,304890	0,8
	т/60	9907,6160	2,895819	2,1
0,6	T/40	11427,570	3,362805	1,6
	T/20	823223,65	247,2377	0,8
0,8	T/60	1553906,7	1095,710	2,4
	T/40	56705527,	9807,945	.1,7
	T/20	204076600,	7544,882	1,0

TABELA 6.3

SISTEMA EM TEMPO FÍSICO, COM PERTURBAÇÃO, PRO PAGADO EM PREDITOR-CORRETOR DE OITAVA ORDEM

EXC.	PASSO	Δr(m)	∆ṙ́(m/s)	CPU
**	T/60	109,887143	0,010714	0,8
0,0	T/40	106,635535	0,010392	0,7
•	т/20	858,157225	0,085525	0,6
	т/60	143,996075	0,017177	0,9
0,2	т/40	4540,97410	0,521064	0,7
	т/20	94916,8886	9,668741	0,6
0,4	T/60	27373,2672	4,586344	0,9
	т/40	5200,05571	2,307844	0,8
	T/20	705296,191	110,6459	0,6
	т/60	722578,253	223,5509	0,9
0,6	т/40	857244,962	236,6431	0,8
	T/20	16407996,3	4217,837	0,6
	т/60	4408290,32	4114,580	0,9
0,8	т/40	84460258,1	5315,350	0,9
	T/20	203881945,	7551,225	0,5

Analisando-se as Tabelas 6.1, 6.2 e 6.3, percebe-se que para órbitas com pequenas excentricidades, melhores resultados foram obtidos com o preditor-corretor de oitava ordem, utilizado com T/60 para tamanho de passo. A partir da excentricidade 0.2, o Runge-Kutta de oitava ordem o supera em precisão dos resultados. Conclui-se também que o sistema em tempo físico não deve ser utilizado com o Runge-Kutta de quarta ordem.

6.3.2 - O SISTEMA TRANSFORMADO EM ÓRBITA PERTURBADA

O sistema de equações diferenciais transformado escrito através de equações de primeira ordem, foi obtido no capítulo 3, constituindo-se das Equações 3.9. Após a introdução da perturbação referente ao zonal 2, tal sistema assume a forma:

$$Y1' = Y4$$

$$Y2' = Y5$$

$$Y3' = Y6$$

$$Y4' = (1/r)(r'Y4-uY1)-(3/2)uJ2R_{t}^{2} (r^{2}-5Y3^{2})Y1/r^{5}$$

$$Y5' = (1/r)(r'Y5-uY2)-(3/2)uJ2R_{t}^{2} (r^{2}-5Y3^{2})Y2/r^{5}$$

$$Y6' = (1/r)(r'Y6-uY3)-(3/2)uJ2R_{t}^{2} (3r^{2}-5Y3^{2})Y3/r^{5}$$

$$(6.11)$$

t' = r

O sistema transformado com perturbação, foi propagado tam bém por um tempo de 18 horas, nas mesmas órbitas iniciais dos testes anteriores, estando os resultados dispostos nas Tabelas 6.4, 6.5 e 6.6.

TABELA 6.4

SISTEMA TRANSFORMADO, COM PERTURBAÇÃO, PRO
PAGADO EM UM RUNGE-KUTTA DE QUARTA ORDEM

EXC.	PASSO	Δr(m)	Δṙ́(m/s)	CPU
0,0	T/60	161,90053	0,016522	1,0
	T/40	449,62558	0,045328	0,7
Aurosche	т/20	4722,7142	0,492587	0,5
	т/60	200,45483	0,025669	0,9
0,2	т/40	371,48253	0,047544	0,7
	т/20	1942,2403	0,286584	0,4
	т/60	231,50818	0,038452	0,7
0,4	т/40	1659,7110	0;295576	0,7
	T/20	37248,844	6,488639	0,5
	T/60	5524,0305	1,667633	0,9
0,6	т/40	23320,994	7,049543	0,7
	т/20	396993,44	119,9690	0,5
	T/60	94924,844	69,13908	1,1
0,8	T/40	426380,74	312,9729	0,7
	т/20	6451536,8	4953,973	0,5

TABELA 6.5

SISTEMA TRANSFORMADO, COM PERTURBAÇÃO, PRO PAGADO EM UM RUNGE-KUTTA DE OITAVA ORDEM

EXC.	PASSO	Δr(m)	Δṙ(m/s)	CPU
	T/60	109,96993	0,010722	2,1
0,0	T/40	109,97897	0,010723	1,8
	T/20	109,93451	0,010719	1,1
	T/60	188,97048	0,023438	1,9
0,2	т/40	188,98505	0,023438	1,9
1*	т/20	188,93483	0,023432	1,1
,	T/60	351,46023	0,062071	1,8
0,4	T/40	351,46452	0,062072	1,8
	T/20	351,75003	0,062123	1,1
*	T/60	791,13939	0,239896	2,2
0,6	т/40	791,16908	0,239905	1,9
	T/20	803,64048	0,243687	1,2
	T/60	1357,5998	0,980717	2,1
0,8	T/40	1360,5657	0,982873	2,0
	т/20	2478,0925	1,79500	1,2

TABELA 6.6

SISTEMA TRANSFORMADO, COM PERTURBAÇÃO, PROPAGADO EM UM PREDITOR-CORRETOR DE OITAVA ORDEM

EXC.	PASSO	Δr(m)	∆ṙ́(m/s)	CPU
	T/60	109,96041	0,010721	0,9
0,0	т/40	108,79181	0,010606	0,9
	т/20	367 , 25654	0,034665	0,7
	т/60	254,29674	0,031660	0,9
0,2	T/40	252,72200	0,031465	0,9
	т/20	228,20596	0,026890	0,9
	т/60	351,06907	0,062003	0,9
0,4	т/40	348,83742	0,061619	0,9
	т/20	132,14829	0,020988	0,9
	T/60	788,39850	0,239078	0,9
0,6	т/40	813,28108	0,246850	0,9
	T/20	417,38471	0,127168	0,8
	T/60	1639,1260	1, 181933	1,1
0,8	т/40	1507,3909	1,125595	1,1
	T/20	2474,1380	1,145268	0,9

Analisando-se as Tabelas 6.4, 6.5 e 6.6, percebe-se que melhores resultados de uma forma geral, foram obtidos com o Runge-Kutta de oitava ordem. O Runge-Kutta de quarta ordem não deve ser utilizado com o sistema transformado a não ser nos casos de órbita com baixa excentricidade e com T/60 para o tamanho de passo. Alguns tama nhos de passo ótimo foram encontrados de forma coincidente ao utilizar-se o preditor-corretor de oitava ordem, como é o caso do T/20 para órbita com excentricidade 0,4. Porém, a tendência mais geral indica os tamanhos de passo T/40 e T/60 como proporcionadores de resultados mais uniformes e precisos.

6.3.3 - O SISTEMA ESTABILIZADO EM ÓRBITA PERTURBADA

Após a introdução da perturbação referente ao zonal 2, o sistema estabilizado (Equação 4.39) assume a forma:

Y1' = Y4

Y2' = Y5

Y3' = Y6

$$Y4' = (r'/r)Y4 - ((1/2r^2)r'^2 + V + H)Y1 +$$

$$- (3/2)uJ2R_t^2 (r^2 - 5Y3^2)Y1/r^5$$
(6.12)

$$Y5' = (r'/r)Y5 - ((1/2r^2)r'^2 + V + H)Y2 +$$

$$- (3/2)uJ2R_+^2 (r^2 - 5Y3^2)Y2/r^5$$

$$Y6' = (r'/r)Y6 - ((1/2r^2)r'^2 + V+H)Y3 +$$
$$- (3/2)uJ2R_t^2 (3r^2 - 5Y3^2)Y3/r^5.$$

t' = r

As condições iniciais em posição e velocidade são idênticas às do sis tema transformado (Capítulo 3), sendo que a coordenada da energia mecânica total inicial mantém-se constante, podendo ser avaliada a partir da Equação 4.32, que necessita do prévio conhecimento da Equação 6.1.

O sistema 6.12 foi propagado por 18 horas. As órbitas iniciais são as mesmas dos testes anteriores, estando os resultados das propagações dispostos nas Tabelas 6.7, 6.8 e 6.9.

TABELA 6.7

SISTEMA ESTABILIZADO, COM PERTURBAÇÃO, PROPAGADO EM UM RUNGE-KUTTA DE QUARTA ORDEM

EXC.	PASSO	Δr(m)	Δrm/s)	CPU
-	T/60	141,29821	0,013761	1,0
0,0	т/40	288,01526	0,027961	0,7
	т/20	2991,2508	0,288683	0,5
	T/60	221,78820	0,027635	1,0
0,2	T/40	383,22529	0,047916	0,7
	т/20	3414,2808	0,429301	0,5
	т/60	311,49646	0,056059	1,0
0,4	т/40	280,71500	0,053522	0,7
	T/20	1448,4716	0,214981	0,5
	т/60	165,93329	0,054864	1,0
0,6	т/40	1498,0275	0,435273	0,8
	т/20	38184,301	11,27418	0,5
	T/60	6411793,6	3866,699	1,0
0,8	T/40	6410046,0	3862,056	0,7
	T/20	6400734,8	3766,382	0,5

TABELA 6.8

SISTEMA ESTABILIZADO, COM PERTURBAÇÃO, PROPAGADO EM RUNGE-KUTTA DE OITAVA ORDEM

EXC.	PASSO	Δr(m)	Δṙ́(m/s)	CPU
	т/60	109,98604	0,010724	3,7
0,0	т/40	109,97878	0,010723	2,8
	т/20	109,97879	0,010723	. 1,4
	т/60	188,98184	0,023438	4,2
0,2	т/40	188,99081	0,023439	2,7
	т/20	188,98728	0,023438	1,4
	т/60	·351,45996	0,062071	`2,2
0,4	т/40	351,45727	0,062071	2,4
	T/20 ·	351,46181	0,062071	1,4
	т/60	791,14307	0,239897	3,9
0,6	T/40	791,14615	0,239898	2,7
other decimal and	т/20	791,56255	0,240023	1,6
	T/60	1357,4646	0,980619	4,5
0,8	T/40	1357,5968	0,980716	2,7
	T/20	1394,4373	1,007682	1,6

TABFLA 6.9

SISTEMA ESTABILIZADO, COM PERTURBAÇÃO, PROPAGADO EM UM PREDITOR-CORRETOR DE OITAVA ORDEM

EXC.	PASSO	Δr(m)	Δṙ́(m/s)	CPU
	T/60	1.09,98668	0,010724	1,0
0,0	T/40	109,89873	0,010715	1,0
	T/20	93,336451	0,000362	0,8
No. 17	T/60	188,98233	0,023438	0,9
0,2	T/40	188,79853	0,023414	.0,9
-	T/20	108,71493	0,007938	0,9
	T/60	351,37834	0,062056	1,0
0,4	T/40	351,11253	0,039123	0,8
	T/20	227,83839	0,039123	0,8
	T/60	790,74411	0,239772	1,0
0,6	T/40	797,99535	0,242192	1,0
	T/20	642,89170	0,206503	1,0
	T/60	1398,7844	1,006496	1,4
0,8	T/40	1393,0950	1,032588	1,3
	т/20	1396,5204	0,753721.	1,0

Analisando-se os resultados apresentados Tabelas 6.7, 6.8 e 6.9, percebe-se que o sistema estabilizado em conjunto com o Runge-Kutta de quarta ordem, só deve ser usado em casos de pequena e média excentricidade e com T/60 para tamanho de passo . É perceptível ainda, que o sistema estabilizado em conjunto com o Runge-Kutta de oi tava ordem apresentou bons resultados, podendo ser usado inclusive, com T/20 para tamanho de passo, exceto em altas excentricidades, partir de 0,8 por exemplo. Com a utilização do preditor-corretor de oitava ordem, o sistema estabilizado apresentou resultados identicos aos obtidos com o Runge-Kutta de mesma ordem para os tamanhos passo T/60 e T/40, superando-o no tamanho de passo T/20. Portanto, o sistema estabilizado utilizado com o preditor-corretor de oitava ordem, forma com tal integrador, o conjunto que melhor oferece resultados entre os demais conjuntos com o referido sistema.

6.3.4 - O SISTEMA REGULARIZADO EM ÓRBITA PERTURBADA

Foi obtido no capítulo anterior, o sistema regularizado de equações diferenciais do movimento orbital (Equação 5.44). Considerando-se o zonal 2 como efeito perturbador, o sistema regularizado assume a forma:

Y1' = Y5

Y2' = Y6

Y3' = Y7

Y4' = Y8

$$Y5' = -(Y9/2)Y1 - (1/2)r(Y1Xp+Y2Yp+Y3Zp)$$
 (6.13)

 $Y6' = -(Y9/2)Y2 - (1/2)r(Y2\ddot{x}p+Y1\ddot{y}p+Y4\ddot{z}p)$

$$Y7' = -(Y9/2)Y3 - (1/2)r(-Y3\ddot{x}p-Y4\ddot{y}p+Y1\ddot{z}p)$$

$$Y8' = -(Y9/2)Y4 - (1/2)r(Y4\ddot{x}p-Y3\ddot{y}p+Y2\ddot{z}p)$$

$$Y9' = 2L^{T}(\vec{U})(\partial V/\partial \vec{r}).\vec{U}$$

$$Y10' = r$$

Sendo:

Y1 = U1 ; Y2 = U2 ; Y3 = U3 ; Y4 = U4

Y5 = U1'; Y6 = U2'; Y7 = U3'; Y8 = U4'

Y9 = Hk

Y10 = t

$$\mathbf{r} = \overrightarrow{\mathbf{U}}.\overrightarrow{\mathbf{U}} = \mathbf{Y1}^2 + \mathbf{Y2}^2 + \mathbf{Y3}^2 + \mathbf{Y4}^2$$

\(\text{Xp, Yp, Zp: já definidos (Equação 6.4)} \)

As condições iniciais em posição e velocidade são as mesmas obtidas no Capítulo 5, no qual realizou-se testes em órbita kepleriana. O valor inicial da coordenada da energia do movimento kepleriano (Y9) é obtido através da Equação 5.33, tendo-se obviamente o prévio conhecimento da posição e velocidade no espaço paramétrico a quatro dimensões, no ponto inicial.

A forma na qual foi escrito o Sistema 6.13, é a que mais facilidade apresenta para efeito da realização de integrações numéricas, uma vez que não há a obrigatoriedade de se encontrar as pertur bações em função das coordenadas do espaço paramétrico a quatro dimensões.

As propagações com o sistema regularizado 6.13 foram efetuadas sobre as mesmas órbitas iniciais dos testes anteriores, por um tempo físico também de 18 horas, estando os resultados dispostos nas Tabelas 6.10, 6.11 e 6.12.

TABELA 6.10

SISTEMA REGULARIZADO, COM PERTURBAÇÃO PROPAGADO EM UM RUNGE-KUTTA DE QUARTA ORDEM

EXC.	PASSO	Δr(m)	∆r(m/s)	CPU
	т/60	114,70095	0,011181	1,1
0,0	T/40	135,86808	0,013234	0,9
	T/20	436,64560	0,042393	0,5
	т/60	195,17266	0,024204	1,1
0,2	т/40	220,22344	0,027303	0,8
	T/20	602,02954	0,074537	0,6
	т/60	359,30099	0,063454	1,1
0,4	т/40	391,08815	0,069060	0,8
	T/20	884,32862	0,156047	0,6
	т/60	802,57787	0,243362	1,2
0,6	T/40	845,04361	0,256231	0,8
	T/20	1531,0337	0,464067	0,6
	т/60	1379,6109	0,996680	1,
0,8	T/40	1485,6177	1,073526	1,
	т/20	3051,5608	2,207566	0,

TABELA 6.11

SISTEMA REGULARIZADO, COM PERTURBAÇÃO, PROPAGADO EM UM RUNGE-KUTTA DE OITAVA ORDEM

EXC.	PASSO	∆r(m)	Δṙ(m/s)	CPU
	т/60	109,98175	0,010723	4,9
0,0	т/40	109,97282	0,010723	2,9
	T/20	109,97952	0,010723	1,6
	т/60	188,97701	0,023437	4,1
0,2	т/40 .	188,98963	0,023439	2,9
•	т/20	188,98756	0,023438	1,6
	т/60	351,45984	0,062071	4,1
0,4	T/40	351,44445	0,062068	2,9
	T/20	351,45034	0,062069	1,7
	т/60	791,13173	0,239894	4,2
0,6	T/40	791,13202	0,239894	2,9
	т/20	791,13381	0,239894	1,7
	т/60	1357,4798	0,980630	5,0
0,8	т/40	1357,4877	0,980636	3,1
	T/20	1357,2724	0,980474	1,8

TABELA 6.12

SISTEMA REGULARIZADO, COM PERTURBAÇÃO, PROPAGADO EM UM PREDITOR-CORRETOR DE OITAVA ORDEM

EXC.	PASSO	Δr(m)	Δṙ(m/s)	CPU
	т/60	109,97215	0,010723	1,1
0,0	T/40	109;97508	0,010723	1,0
	т/20	109,59322	0,010723	. 1,1
	т/60	188,98044	0,023437	1,1
0,2	T/40	188,92935	0,023431	1,0
	T/20	178,43644	0,022097	0,9
	т/60	³⁵¹ ,42844	0,062065	1,1
0,4	т/40	351,60546	0,062095	1,0
	т/20	319,00345	0,057006	0,9
	т/60	791,44663	0,239987	1,1
0,6	T/40	796,62067	0,241637	1,1
	т/20	711,42685	0,224004	1,0
	т/60	1386,2640	0,999143	1,3
0,8	т/40	1276,8878	0,933939	1,1
	т/20	1268,0424	0,829221	1,1

Da análise das Tabelas 6.10, 6.11 e 6.12, é perceptível que o Runge-Kutta de quarta ordem pode ser usado em conjunto com o sistema regularizado, preferivelmente com T/60 para tamanho de passo, uma vez que o mesmo obteve erros ligeiramente maiores do que os obtidos com o Runge-Kutta de citava ordem, mas com a vantagem de um menor tempo de processamento. O conjunto sistema regularizado-Runge-Kutta de citava ordem mostrou-se indiferente a variação do tamanho de passo em todos os valores de excentricidade entre 0, e 0,8, tornando dessa forma mais viá vela integração com T/20 para o tamanho de passo. Já o sistema regularizado utilizado em conjunto com o preditor-corretor de citava ordem (Tabela 6.12), apresentou resultados idênticos aos apresentados com o Runge-Kutta de mesma ordem para os tamanhos de passo T/60 e T/40, superando-o em termos de precisão para T/20. Dessa forma, o conjunto sistema regularizado-preditor-corretor de citava ordem apresentou o melhor compor tamento de um modo geral.

6.4 - ANÁLISES GRÁFICAS E CONCLUSÕES FINAIS

Os gráficos contidos nas Figuras 6.2, 6.3 e 6.4 au xiliam a visualização do comportamento relativo em termos de precisão en tre as diferentes formulações, inclusive em tempo físico. Os mesmos foram montados a partir de cinco pontos discretos refentes a cinco valo res de excentricidade e a união entre tais pontos serão feita por retas, embora se saiba que existem formas de concordâncias que variam suave mente em torno das respectivas retas.



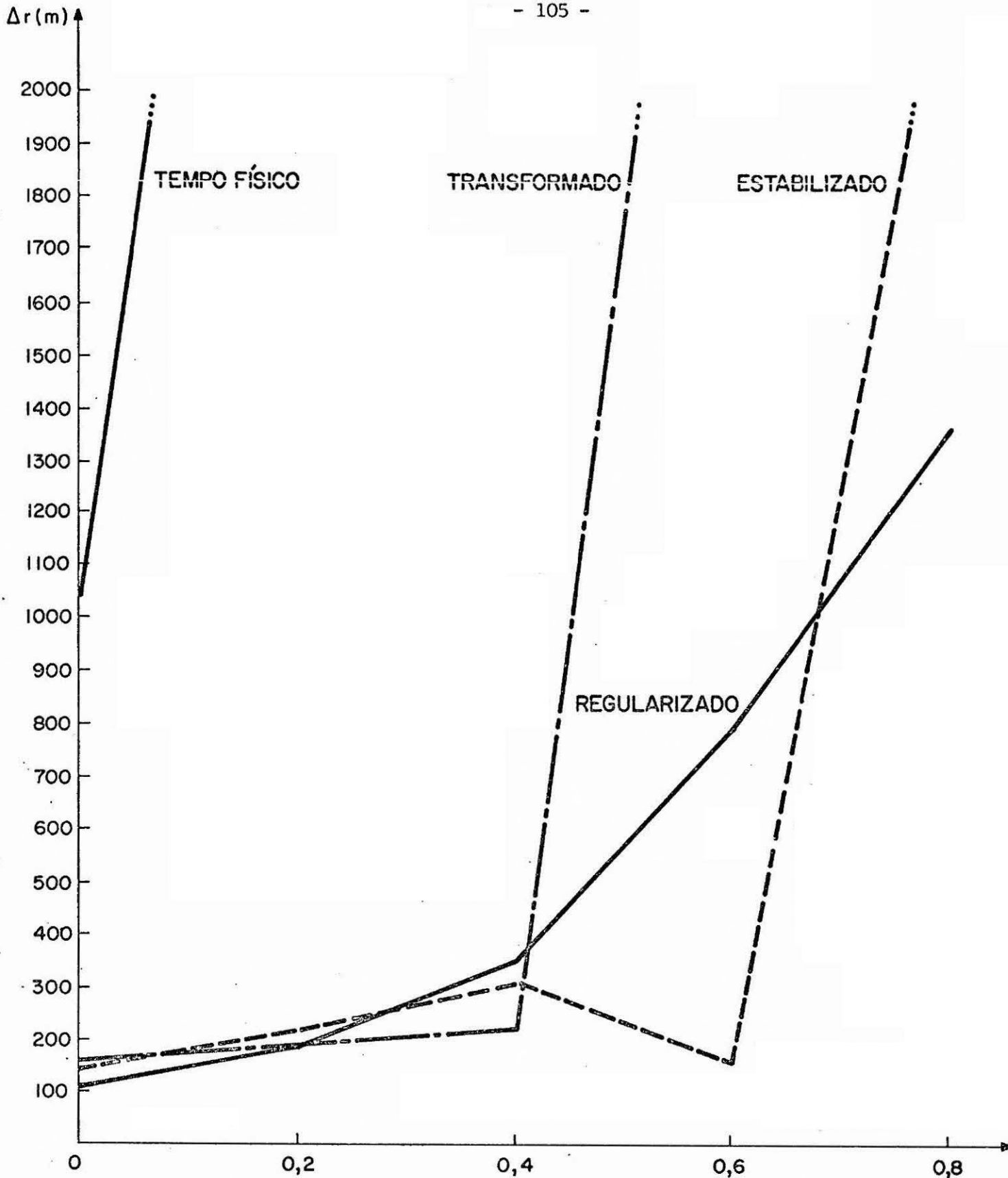


Fig. 6.2 - Sistemas em tempo físico, transformado, estabilizado e regula rizado, propagados em um Runge-Kutta de quarta ordem e com T/60 para tamanho de passo.



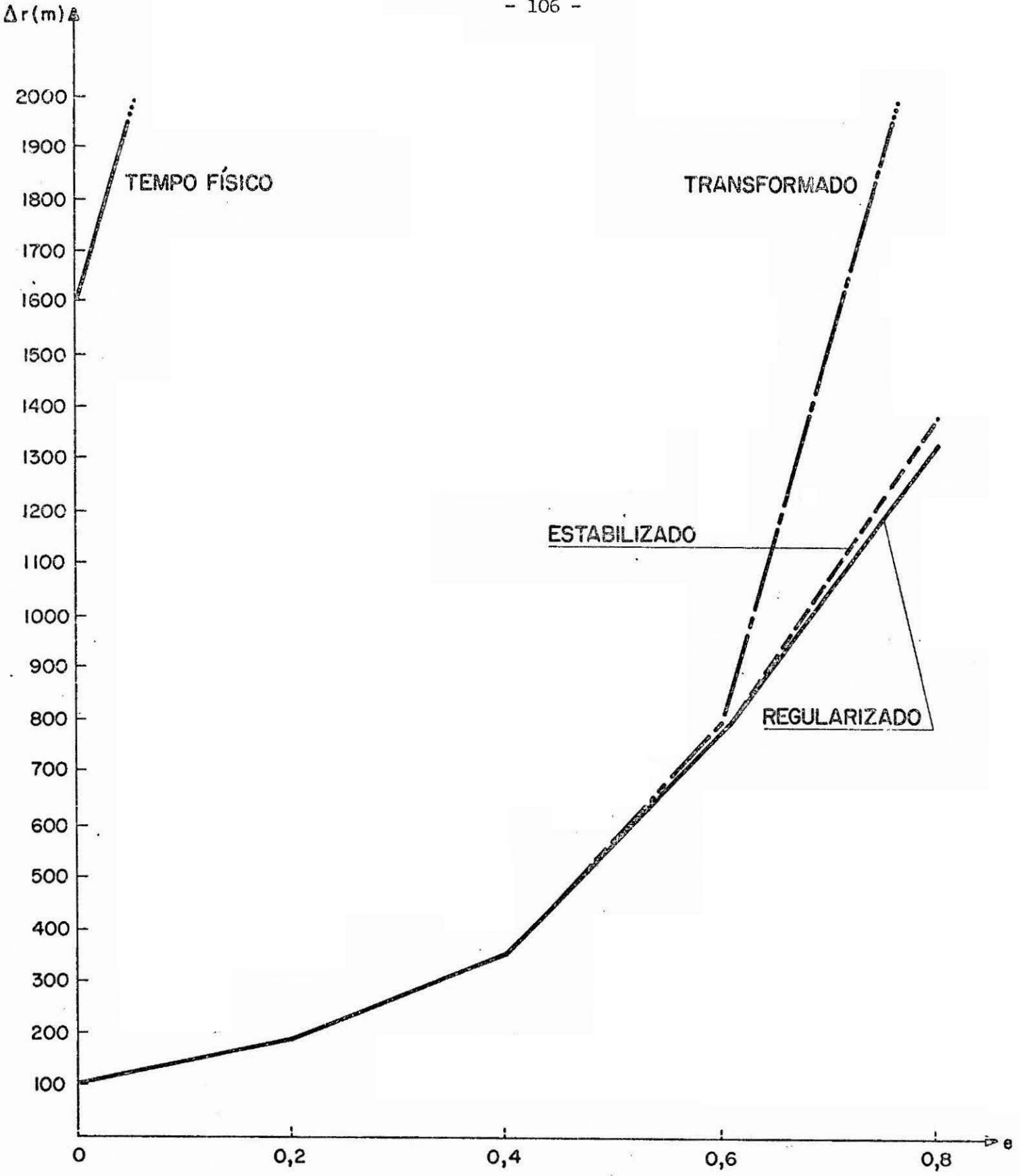


Fig. 6.3 - Sistemas em tempo físico, transformado, estabilizado e regula rizado, propagados em um Runge-Kutta de oitava ordem e com T/20 para tamanho.de passo.

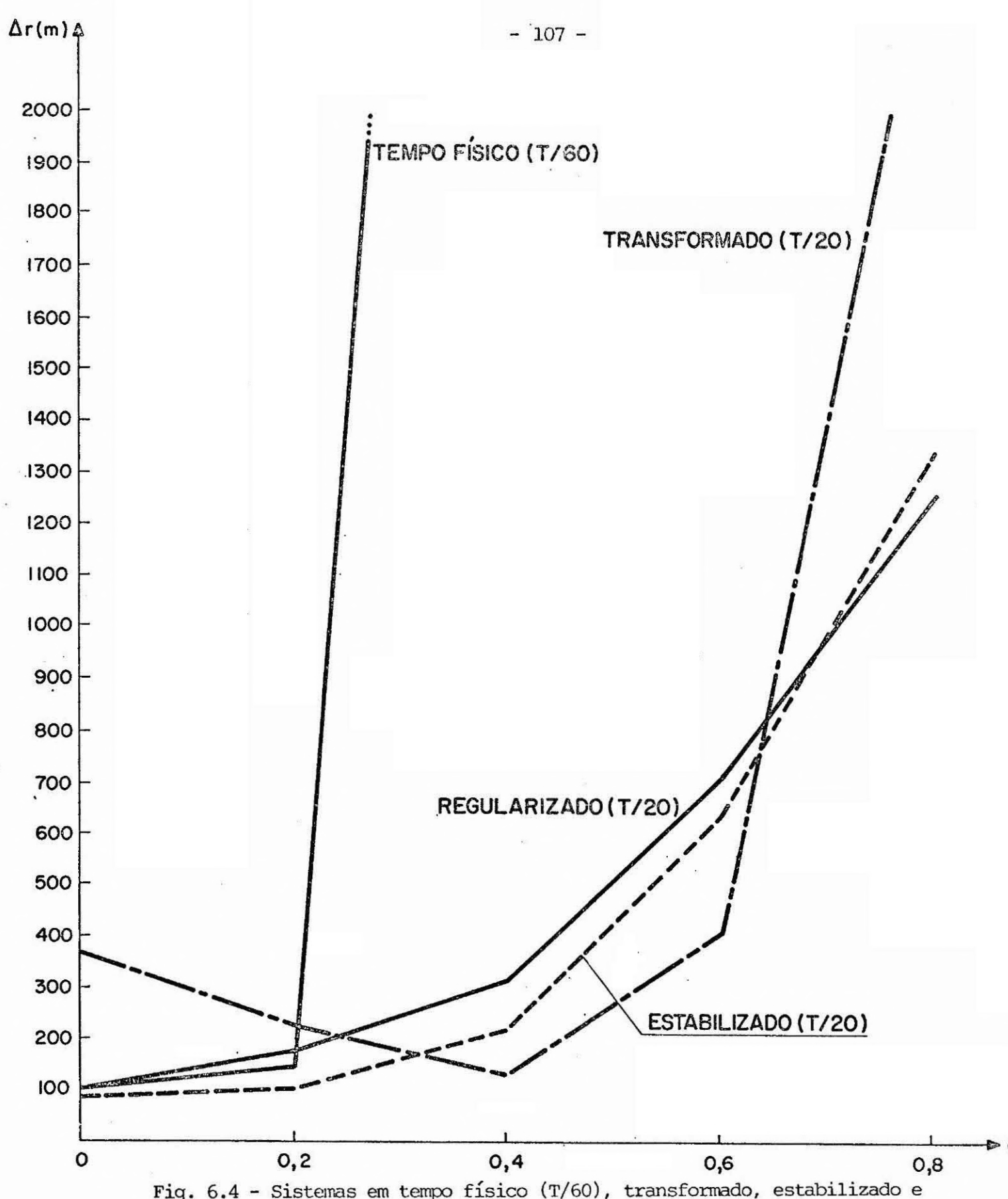


Fig. 6.4 - Sistemas em tempo físico (T/60), transformado, estabilizado e regularizado, propagados em um preditor-coretor de oitava or dem e com T/20 para tamanho de passo.

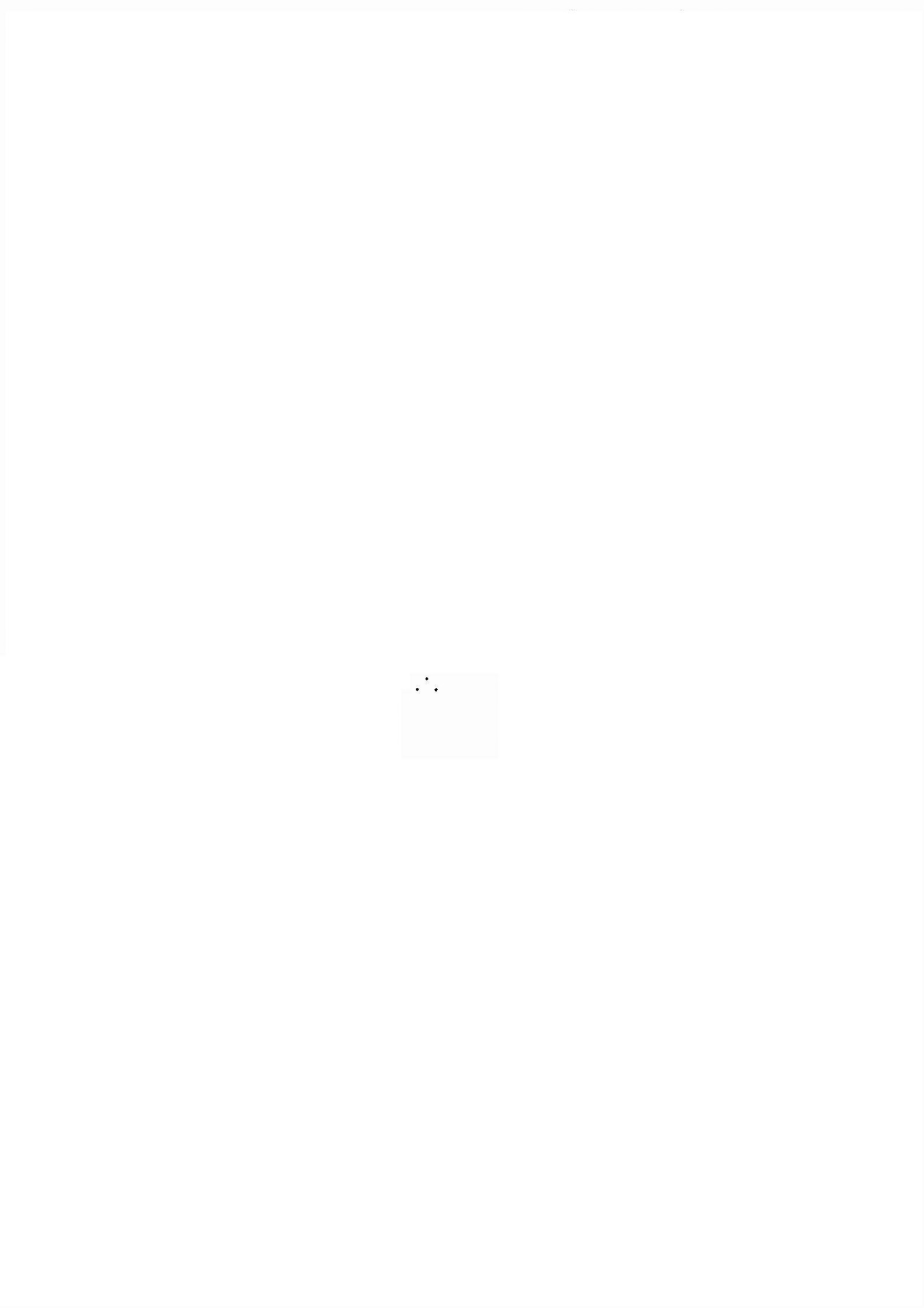
Da Figura 6.2 percepe-se que nao se deve utilizar o sistema em tempo físico com o Runge-Kutta de quarta ordem. Deve-se tra balhar preferivelmente com T/60 para tamanho de passo sendo que se a ex centricidade estiver contida entre [0,0,2], deve-se trabalhar com o sistema regularizado. Para excentricidades entre [0,2,0,4], o sistema deve ser apenas transformado. Valores entre [0,4,0,6], o sistema deve ser estabilizado, sendo que para excentricidades superiores a 0,6, novamente deve-se usar o sistema regularizado.

Da Figura 6.3, percebe-se que o sistema em tempo físico também deve ser evitado quando utiliza-se um Runge-Kutta de oitava ordem. Para excentricidades entre [0, 0,4], o sistema pode ser o transformado, que coincide em tal caso com os sistemas estabilizado e requal larizado, mas que deve ser utilizado por possuir o menor tempo de processamento. Valores entre [0,4,0,6], o sistema pode ser o estabilizado que coincide com o regularizado em tal intervalo. Em altas excentricidades (superior a 0,6), o sistema deve ser o regularizado.

Da análise da Figura 6.4, percebe-se que o sistema em tempo físico pode ser utilizado em conjunto com o preditor-corretor de oitava ordem, desde que a órbita tenha pequena excentricidade e traba lhe-se com T/60 para tamanho do passo. Ainda assim, caso a excentricida de esteja entre [0, 0,3], o sistema estabilizado deve ser usado. Para valores médios de excentricidades, [0,3,0,6], o sistema deve ser o transformado. Para altas excentricidades, acima de 0,6, o sistema de ve ser regularizado.

Como conclusões finais sobre o presente capítulo, po der-se-ía ressaltar inicialmente o fato de que a análise anterior em basada nos gráficos, esteve restrita à comparação em termos de precisão entre as diferentes formulações utilizando-se um determinado integra dor, ou seja, quatro conjuntos numéricos para cada integrador, formando assim uma das três figuras. Não foi apresentada uma análise global até o momento por estar a mesma reservada á parte final do trabalho, mas po

de-se adiantar que a justaposição dos três gráficos apresentaria conjuntos numéricos (integrador mais formulação) que melhores resulta dos apresentaram para excentricidades compreendidas entre 0 e 0,8. A in trodução de perturbação a órbita kepleriana elevou a dimensão dos er ros, mantendo porém de forma aproximada, a mesma tendência de relação, em termos de precisão entre as diferentes formulações, obtida com testes em órbita kepleriana, principalmente quando considera-se o Run ge-Kutta de oitava ordem, integrador este que apresentou sempre os sultados mais uniformes. É cada vez mais consistente de se tratar não uma formulação isolada, mas sim o conjunto numérico (integrador mais formulação empregada), que deve ser visto como um úni co ente matemático possuindo características específicas. Uma última e importante conclusão está no fato de que a coordenada de tempo físico das formulações transformado, estabilizado e regularizado, é obtida ob viamente com o seu erro numérico. O mecanismo de parada no tempo físico final não corrige esse erro e acredita-se, ainda de forma intuitiva, que o vetor de estado do satélite na saída não corresponde exatamente ao tempo físico final desejado, mas ao tempo físico com seu erro numé rico embutido, fato que contribui para a ampliação dos erros em posição e velocidade obtidos nos testes computacionais com órbitas perturba das.



CAPÍTULO 7

PROPOSTA DE TRANSFORMAÇÃO DE TEMPO

Em todas as formulações apresentadas até o último capítulo, o tempo fictício no qual se desenvolvia o sistema durante a propagação era o tempo na versão da anomalia excêntrica, apresentado no Capítulo 3. Tal tempo foi originado através de uma transformação do tipo Sundman na qual o módulo do vetor posição era elemento básico, servindo como moderador da velocidade física ao longo de uma revolução. No atual capítulo, enfocamos o fato de que outras transformações podem dar origem a outros tempos fictícios, constituindo-se assim em diferentes for mas de se propagar numericamente uma órbita. Inicialmente propõe-se uma outra transformação de tempo em conjunto com a sua motivação, apresen tando-se em seguida testes computacionais e análises gráficas, finalizando-se com uma conclusão sobre o comportamento, em termos de precisão, da transformação proposta em relação às outras formulações.

7.1 - MOTIVAÇÃO DA FORMULAÇÃO PROPOSTA

A transformação do tipo Sundman de tempo na versão da anomalia excêntrica, possui a forma,

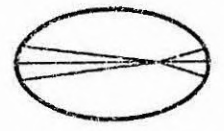
$$\vec{r}' = r \cdot \vec{r} \tag{7.1}$$

sendo r' a velocidade fictícia.

É perceptível que o módulo do vetor posição r funciona como um moderador da velocidade física, fazendo com que a velocidade fictícia assuma valores mais uniformes durante uma revolução. Os comprimentos de arco correspondentes a cada passo de integração, tendem a diminuir em regiões próximas ao perigeu, bem como a aumentar em regiões próximas ao apogeu, de tal sorte que em relação a órbita propagada em tempo físico, a órbita em tempo fictício assume comprimentos de arcos mais uniformes (Figura 7.1).







TRANSFORMADO

Fig. 7.1 - Órbitas com os sistemas em tempo físico e transformado, com seus respectivos comprimentos de arco.

A motivação da formulação proposta no presente capítulo surgiu a partir da possibilidade de se distribuir de forma ainda mais equitativa os comprimentos de arco ao longo de uma revolução, protegen do um pouco mais a região próxima ao perigeu, proteção esta que viria a facilitar a saída em um tempo físico final em tal região.

7.2 - A FORMULAÇÃO PROPOSTA

Acredita-se que a formulação proposta seja uma transfor mação de tempo também do tipo Sundman, só que multiplicada por termos não constantes, mas que variam ao longo da órbita. Em essência, a transformação possui a forma:

$$d\vec{r}/ds = r(1-eCOS(E))d\vec{r}/dt , \qquad (7.2)$$

sendo s o novo tempo fictício, e a excentricidade e E a anomalia ex cêntrica.

Nota-se que o termo (1-eCOS(E)) assume valores no intervalo]0 , 2[, para excentricidades no intervalo [0 , 1 [.Pa ra regiões próximas ao perigeu, o termo de ajuste (1-eCCS(E)) tende a 0 à medida em que a excentricidade tende a 1, diminuindo assim um pou co mais a velocidade fictícia em relação à obtida com a transformação do tipo Sundman na versão da anomalia excêntrica. É notável também que o termo de ajuste (1-eCOS(E)) é sensível ao crescimento da excentricidade, tornado-se mais influente com o aumento desta.

Da Equação 7.2 pode ser escrito o seguinte operador:

$$d/dt = (1/(r(1-eCOS(E))))d/ds$$
 (7.3)

São conhecidas as equações:

$$r = a(1-eCOS(E))$$
 (7.4)

$$Hk = u/2a$$
 , (7.5)

sendo a o semi-eixo orbital, u a constante terrestre e Hk o negativo da energia mecânica do movimento kepleriano.

Substituindo-se as Equações 7.4 e 7.5 na 7.3 tem-se:

$$d/dt = (u/2Hkr^2)d/ds$$
 (7.6)

O operador 7.6 é utilizado para escrever o sistema de equações diferenciais do movimento orbital originalmente em tempo físico,

$$d^2r/dt^2 = -(u/r^3)\vec{r} - \partial V/\partial \vec{r} + \vec{P} , \qquad (7.7)$$

em função da nova variável independente, tempo fictício da formul<u>a</u> ção proposta.

Inicialmente aplica-se o operador 7.6 a ele próprio:

$$d^{2}/dt^{2} = (u/2Hkr^{2})d/ds((u/2Hkr^{2})d/ds)$$
 (7.8)

No caso de movimento perturbado a energia de kepler Hk varia com o tem po físico ou fictício. Após a obtenção da derivada contida no segundo membro da Equação 7.8, a mesma torna-se:

$$d^{2}/dt^{2} = (u/2Hkr^{2})^{2}(-(2r'/r + Hk'/Hk)d/ds + d^{2}/ds^{2})$$
 (7.9)

onde o carater ' significa derivada com respeito ao novo tempo fict<u>í</u> cio. Aplicando-se o vetor r ao operador de segunda ordem 7.9 e cons<u>i</u> derando-se a Equação 7.7, tem-se:

$$(u/2Hkr^{2})^{2}(-(2r'/r + Hk'/Hk)dr/ds + d^{2}r/ds^{2}) =$$

$$-(u/r^{3})r^{2} - \partial V/\partial r^{2} + P$$
(7.10)

Reagrupando-se termos tem-se:

$$\vec{r}'' = (2r'/r + Hk'/Hk)\vec{r}' - (4Hk^2r/u)\vec{r} - (2Hkr^2/u)^2(\partial V/\partial \vec{r} - \vec{P})$$
 (7.11)

O sistema de equações diferenciais 7.11 constitui-se em uma forma alternativa de se propagar numericamente uma órbita, possuindo como variá vel independente um tempo que varia de forma acentuadamente não linear com o tempo físico.

A energia do movimento Kepleriano Hk, passou a ser uma coordenada generalizada do sistema, estando presente também na dinâ mica do movimento perturbado a sua derivada com respeito ao novo tempo fictício, que pode ser obtida a partir do seguinte formalismo:

A Equação 4.30 expressa a derivada da energia do movimento kepleriano em relação ao tempo físico.

$$Hk = \dot{\vec{r}} \cdot (\partial V/\partial \vec{r} - \vec{P}) \tag{4.30}$$

Com o operador transformação 7.6 pode-se escrever:

$$dHk/ds = (2Hkr^2/u)\dot{r}.(\partial V/\partial \dot{r} - \dot{P})$$
 (7.12)

$$\vec{r}' = (2Hkr^2/u)\hat{r}$$
(7.13)

Portanto,

$$Hk' = \overrightarrow{r}' \cdot (\partial V/\partial \overrightarrow{r} - \overrightarrow{P})$$
 (7.14)

A conhecida e sempre presente necessidade de se parar a integração em um tempo físico final qualquer, torna obrigatória a integração numér<u>i</u> ca da equação,

$$dt/ds = 2Hkr^2/u , \qquad (7.15)$$

que foi originada do operador 7.6.

Portanto, as Equações 7.11, 7.14 e 7.15 formam um conjunto de oito equações diferenciais de primeira ordem, sendo três relativas a posição, três a velocidade, mais as equações das coordenadas da energia de kepler e tempo físico, já que ambas passaram a ser coordenadas generalizadas do sistema.

O sistema proposto (Equação 7.11) foi obtido a partir da transformação:

$$\vec{r}' = r(1-eCOS(E))\vec{r}$$

ou ainda,

$$\vec{r}' = (r^2/a)\vec{r} .$$

O semi-eixo maior sofre variações em movimento perturbado e foi substituido pela energia do movimento kepleriano, que possui derivada com relação ao novo tempo fictício conhecida (Equação 7.14). Caso o tivesse mos considerado constante, a transformação proposta seria a já conhecida transformação do tipo Sundman com o r², a menos de uma multiplicação por uma constante.

A transformação do tipo Sundman de tempo em sua forma mais geral é escrita na forma:

$$\dot{\mathbf{r}}' = \mathbf{c} \ \mathbf{r} \dot{\mathbf{r}} , \qquad (7.16)$$

com c e n constantes. A transformação de tempo apresentada no Capítulo 3 possui c=1 e n=1, sendo conhecida como transformação de tempo na ver são da anomalia excêntrica. Outras conhecidas transformações $c=(u)^{-\frac{1}{2}}$ e n=(3/2) (transformação na versão da anomalia intermediária), e c=(ua(1-e2)) - e n=2 (transformação na versão da anomalia ra). A mais conhecida e difundida é a transformação na versão da ano malia excêntrica (Capítulo 3), justamente porque os processos de esta bilização (Capítulo 4) e regularização (Capítulo 5), são baseados no sistema já escrito com esta transformação. A relação em termos de preci são entre as diferentes transformações, pode variar com mudanças na ór bita inicial ou nas perturbações consideradas (Nacozy, 1977). Devido a este fato é que atualmente há uma tendência de se fazer inúmeros tes com o n variando entre 0 e 2 nas mais diferentes situações. ser dito entretanto, que com a proposta de transformação do presente ca pítulo, não se tentou explorar ainda mais o efeito da variação do ex poente n, mas trabalhar com um c variável e sensível ao crescimento da excentricidade, redistribuindo sempre de forma mais equitativa primentos de arco ao longo de uma revolução.

7.3 - O NOVO TEMPO FICTÍCIO

Tenta-se a partir de então, encontrar uma correlação ana lítica entre o novo tempo fictício e algum parâmetro orbital físico conhecido, a fim de se obter um significado dentro da realidade, dandolhe sentido.

A anomalia média é dada por:

$$M = E - eSEN(E)$$
 (7.17)

Considerando-se movimento kepleriano e derivando-se em relação ao novo tempo fictício:

$$dM/ds = (1-eCOS(E))dE/ds$$
 (7.18)

Com o operador 7.3 pode-se escrever:

$$dM/dt = (1/a(1-eCOS(E))^2)dM/ds$$
 (7.19)

$$dM/dt = \sqrt{u/a^3}$$
 (7.20)

Substituindo-se as Equações 7.19 e 7.17 na 7.18 tem-se:

$$dE/ds = (1-eCOS(E)) \sqrt{u/a}$$
 (7.21)

Ou ainda,

$$ds = \sqrt{a/u} dE/(1-eCOS(E))$$
 (7.22)

Com a Equação 7.22 percebe-se que o novo tempo fictício é igual ao tem po fictício na versão da anomalia excêntrica, para orbitas com excêntricidade nula. Para órbitas com excentricidade no intervalo] 0, l [, o novo tempo fictício veria de forma não-linear com a anomalia excêntrica, ao contrário do tempo fictício na versão da anomalia excêntrica, que varia de forma linear com es ta para órbita kepleriana.

As Figuras 7.2 e 7.3 contém os tamanhos dos intervalos de tempo físico em função da anomalia média, obtidos durante aproxima damente dois períodos de revolução em órbita perturbada, com excentricidade 0,2, utilizando-se os sistemas transformado (transformação na versão da anomalia excêntrica)e proposto (transformação proposta).

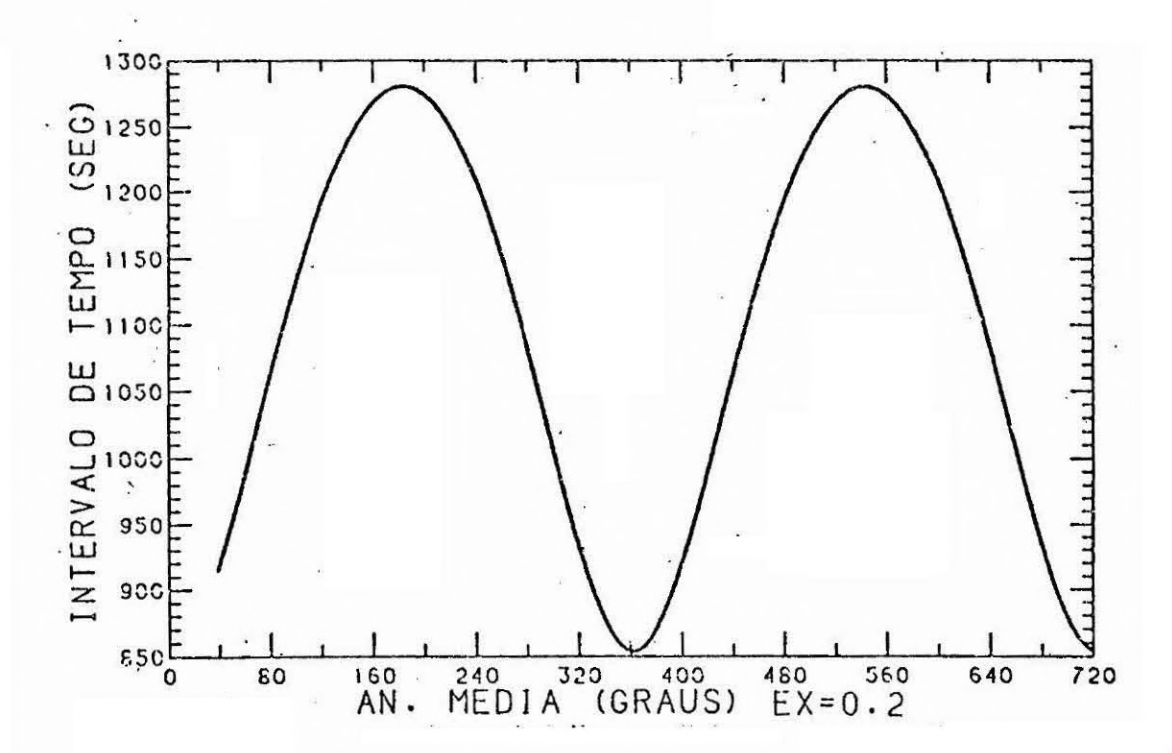


Fig. 7.2 - Variação do intervalo de tempo físico em função da anomalia média, obtida com um preditor-corretor de oitava ordem em conjunto com o sistema transformado.

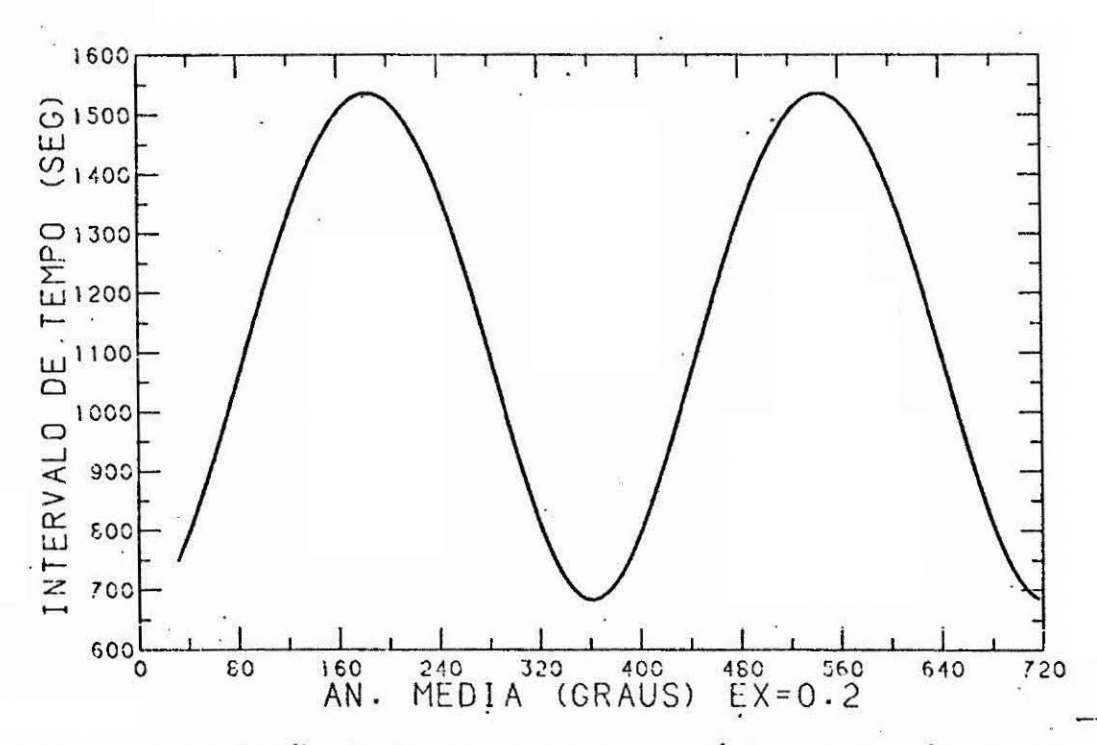


Fig. 7.3 - Variação do intervalo de tempo físico em função da anomalia média, obtida com um preditor-corretor de oitava ordem em conjunto com o sistema proposto.

Analisando-se os dois últimos gráficos, percebe-se que para ambas as formulações, o intervalo de tempo físico não se constante para cada intervalo de integração, mas aumenta com a proxi midade do apoque e diminui com a proximidade do perigeu, sendo esta a causa da redistribuição dos comprimentos de arco ao longo de uma revo lução. Deve-se ressaltar entretanto, que o sistema proposto um pouco melhor a região crítica do perigeu, haja visto o fato de que o valor mínimo do intervalo de tempo físico em tal regiao é de aproxima damente 680 segundos para o sistema proposto (Figura 7.3), aproximadamente 855 segundos para o sistema transformado. Efeito contrá rio é perceptível em uma região próxima ao apogeu, quando o valor máxi mo do intervalo de tempo físico obtido com o sistema proposto é um pou co maior do que o obtido com o sistema apenas transformado. se contudo, que o efeito verificado nas duas últimas figuras é o respon sápvel por uma redistribuição mais equitativa dos comprimentos de arco ao longo de uma revolução, trazendo como consequência, melhoramentos em termos de precisão principalmente em órbitas com altas excentrici dade.

7.4 - RESULTADOS DE TESTES COMPUTACIONAIS E CONCLUSÕES

O sistema proposto (Equação 7.11) pode ser escrito em função das suas coordenadas inerciais tridimensionais, na forma:

$$X'' = (2r'/r + Hk'/Hk)X' - (4Hk^2r/u)X - (2HKr^2/u)^2 (\partial V/\partial X - Px)$$

$$Y'' = (2r'/r + Hk'/Hk)Y' - (4Hk^2r/u)Y - (2Hkr^2/u)^2 (\partial V/\partial Y - Py)$$

$$Z'' = (2r'/r + Hk'/Hk)Z' - (4Hk^2r/u)Z - (2Hkr/u)^2 (\partial V/\partial Z - Pz)$$

$$(7.23)$$

Onde Px, Py e Pz são as projeções nas direções inerciais X, Y e Z, das forças específicas de natureza não conservativa. Adotando-se as já conhecidas transformações:

$$Y1 = X$$
 , $Y2 = Y$, $Y3 = Z$, $Y4 = X'$

$$Y5 = Y'$$
 , $Y6 = Z'$, $Y7 = Hk$, $Y8 = t$

o Sistema 7.22 torna-se:

$$Y1' = Y4$$

$$Y2' = Y5$$

$$Y3' = Y6$$

$$Y4' = AY4 - B(u/r^3)Y1 - B(\partial V/\partial Y1 - PY1)$$
 (7.24)

$$Y5' = AY5 - B(u/r^3)Y2 - B(\partial V/\partial Y2 - PY2)$$

$$Y6' = AY6 - B(u/r^3)Y3 - B(\partial V/\partial Y3 - PY3)$$

$$Y7' = \overrightarrow{r}' \cdot (\partial V/\partial \overrightarrow{r} - \overrightarrow{P})$$

$$Y8' = 2Hkr^2/u$$

onde, .

$$A = (2r'/r + Hk'/Hk)$$

$$B = (4Hk^2r^4/u^2)$$

O Sistema 7.23 foi propagado considerando-se o zonal 2 do geopotencial como efeito perturbador. As mesmas órbitas dos testes anteriores foram consideradas e se propagou por um tempo físico de aproximadamente um período orbital, equivalente a 18 horas. As integrações foram efetuadas com os três integradores habitualmente presentes neste trabalho, com os tamanhos de passo equivalentes a T/60, T/40 e T/20, onde T é o período orbital aproximado, estando os resultados dispostos nas Tabelas 7.1, 7.2 e 7.3.

TABELA 7.1

SISTEMA PROPOSTO, PROPAGADO EM UM RUNGE-KUTTA DE QUARTA ORDEM

EXC.	PASSO	∆r(m)	Δṙ(m/s)	CPU
	T/60	174,626708	0,016304	1,0
0,0	т/40-	455,143262	0,042485	0,7
124	т/20	5767,10906	0,524501	0,5
	т/60	974,069476	0,129490	0,7
0,2	т/40	3322,12690	0,426863	0,7
	т/20	7489,68895	1,070147	0,4
	T/60	319,836906	0,072634	0,8
0,4	T/40	11688,0824	2,206447	0,5
	т/20	98477,1173	18,59051	0,4
	т/60	886,989552	0,276525	1,0
0,6	T/40	30598,7648	9,649974	0,5
	T/20	157148,038	49,60504	0,4
	T/60	100585,869	73,45254	0,7
0,8	т/40	49445,5168	36,12054	0,7
	т/20	7622085,77	4332,879	0,5

SISTEMA PROPOSTO, PROPAGADO EM UM RUNGE-KUTTA DE OITAVA ORDEM

TABELA 7.2

EXC.	PASSO	Δr(m)	Δr(m/s)	CPU
	T/60	109,966859	0,017722	3,7
.0,0	т/40	109,998606	0,010725	2,5
	T/20	110,025574	0,010728	1,4
	т/60	189,009728	0,023440	3,7
0,2	т/40	189,006123	0,023440	2,9
	T/20	188,944837	0,0234433	1,5
	т/60	351,459347	0,062072	3,6
0,4	Т/40	351,467923	0,062072	2,9
	Т/20	351,375929	0,062056	1,6
	т/60	791,164244	0,239904	3,7
0,6	T/40	790,644073	0,239732	1,7
4	т/20	768,486155	0,233187	2,0
	т/60	1356,48218	0,980229	2,2
0,8	T/40	1292,69026	0,945052	2,0
	T/20	1944,12632	1,436148	1,3

SISTEMA PROPOSTO, PROPAGADO EM UM PREDITOR-CORRETOR DE OITAVA ORDEM

TABELA 7.3

EXC.	PASSO	Δr(m)	Δṙ(m/s)	CPU
٠,	т/60	109,983641	0,010724	1,1
0,0	Т/40	110,294830	0,010755	1,1
	T/20	99,224569	0,016391	0,9
	т/60	191,985078	0,023793	1,2
0,2	T/40	296,288002	0,035977	1,1
	T/20	21525,3483	2,143774	0,9
	т/60	348,460,749	0,061551	1,2
0,4	T/40	310,4811.90	0,055919	1,0
	T/20	300790,700	63,86046	1,0
	т/60	712,159776	0,215855	1,3
0,6	T/40	1318,05461	0,396551	1,2
ē.	Т/20	19271,0780	5,760428	1,2
	т/60	31,9969850	0,055786	1,5
0,8	Т/40	1255037,24	1768,227	1,5
	т/20	DIVERGE	DIVERGE	_

O conjunto sistema proposto-preditor corretor de oitava ordem mostrou-se sensível à variação do tamanho de passo. Tal fato propiciou a formação de uma tabela com resultados obtidos com tamanhos ótimos de passo. Estes últimos foram obtidos por tentativas sucessivas para cada excentricidade, já que não se dispõe de um mecanismo automático para este fim, estando os resultados dispostos na Tabela 7.4.

SISTEMA PROPOSTO PROPAGADO COM UM PREDITOR-COR RETOR, COM TAMANHO DE PASSO ÓTIMO

TABELA 7.4

EXC.	PASSO ÓTIMO	Δr(m)
0,0	т/19	51,808255
0,2	T/68	189,97891
0,4	. т/40	310,48119
0,6	T/45	13,954885
0,8	т/60	31,996985

Deve ser ressaltado que para uma órbita diferente, os tamanhos ótimos de passo podem assumir valores diferentes dos apresentados na Tabela 7.4. Porém, caso trabalhe-se com uma missão espacial cuja órbita inicial é conhecida, poder-se-ía encontrar o tamanho ótimo do passo de integração, que valeria por um longo tempo até que sofres se alguma alteração.

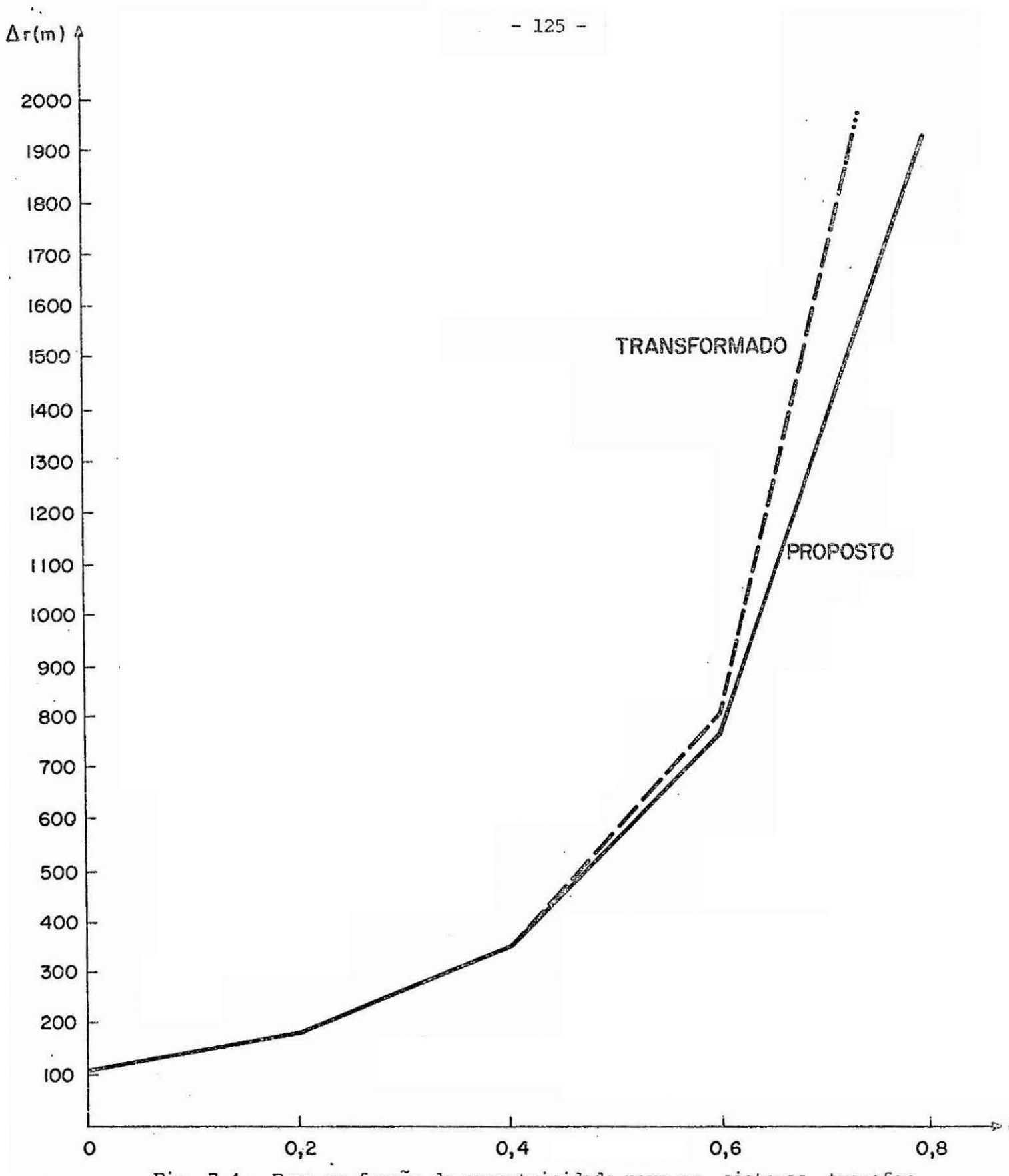


Fig. 7.4 - Erro em função da excentricidade para os sistemas transfor mado e proposto, propagados em um Runge-Kutta de oitava ordem, com T/20 para tamanho de passo.

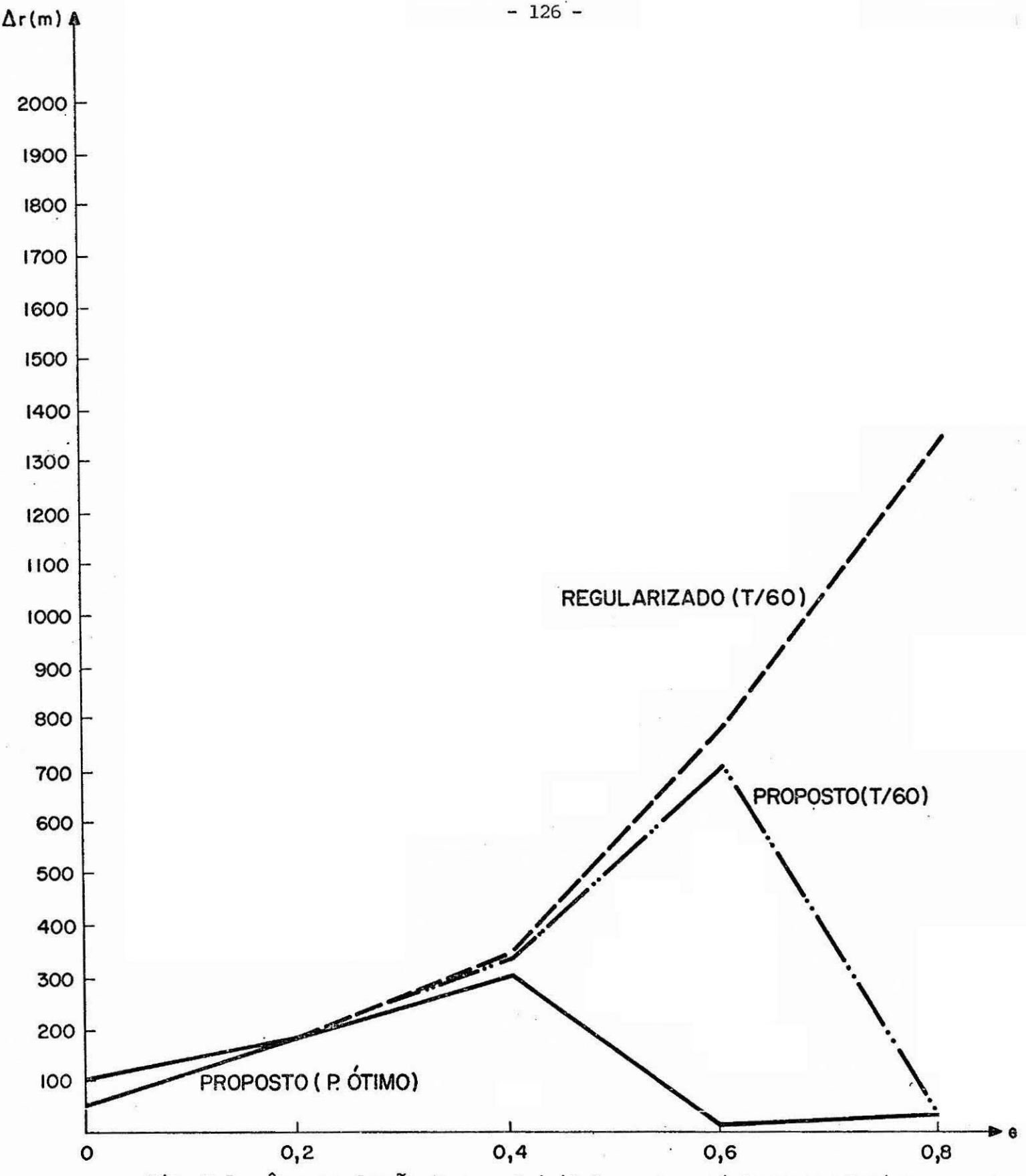


Fig. 7.5 - Êrro em função da excentricidade para os sistemas regulariza do e proposto, propagados em um preditor-corretor de oita va ordem com T/60 para tamanho de passo, mais a curva do sis tema proposto com os tamanhos ótimos de passo.

Analisando-se as Tabelas 7.1, 7.2 e 7.3, percebe-se que o sistema proposto não deve ser utilizado com o Runge-Kutta de quarta cr dem (Tabela 7.1), a exemplo do sistema apenas transformado com mesmo in tegrador. Já com o Runge-Kutta de oitava ordem, o sistema proposto (Tabela 7.2) apresentou comportamento idêntico ao apenas transformado com mesmo integrador nos tamanhos de passo T/60 e T/40, superando-o à medida em que a excentricidade aumenta, para T/20 como tamanho de passo. O conjunto sistema proposto-preditor-corretor de oitava ordem apresentou o melhor comportamento dentre os demais conjuntos com a mesma formulação, considerando-se para tanto o tamanho de passo T/60.

Os gráficos contidos nas Figuras 7.4 e 7.5 ressaltam o comportamento em termos de precisão entre o sistema proposto e as de mais formulações. Na Figura 7.4 vê-se uma comparação em função da excentricidade entre os conjuntos sistema transformado-Rungé-Kutta de oita va ordem, sistema proposto-Runge-Kutta de oitava ordem, ambos com T/20 para tamanho de passo. É perceptível que a medida em que a excentricidade cresce, o sistema proposto torna-se mais preciso em relação ao transformado.

A Figura 7.5 ressalta uma particularidade do conjunto sistema proposto-preditor-corretor de oitava ordem, particularidade es ta que se traduz como uma maior sensibilidade à variação do tamanho do passo, fato que não ocorre com o conjunto sistema proposto-Runge-Kutta de oitava ordem. Nela vê-se que o sistema proposto com T/60 possui me lhor comportamento que o regularizado com T/60 e ambos com o preditor-corretor. Poder-se-ía propagar com o tamanho de passo ótimo para ca da valor de excentricidade, já que o sistema proposto com o preditor-corretor de oitava ordem mostrou-se sensível nesse particular. Caso as sim se procedesse, a curva encontrada seria a curva inferior da Figura 7.5, com resultados extraídos da Tabela 7.4. Sem dúvida, essa curva possui a melhor precisão dentre todas as formulações, quando se considera órbita perturbada.

Como conclusões finais, tem-se a acrescentar inicial mente o fato de que intenta-se com a proposta de transformação, dar uma contribuição a fim de se obter resultados mais precisos ao término da propagação. A transformação proposta não tem a pretensão de ser a me lhor dentre as transformações possíveis, pois tal assunto é relativa mente novo e longe se está de uma última palavra. O tempo físico continua sendo avaliado com o seu erro numérico embutido, o que contribui de forma significativa na obtenção dos erros em posição e velocidade quan do se pára a propagação em um tempo físico final. E finalmente, devese salientar que a sensibilidade à variação do tamanho do passo, carac terística apresentada pelo conjunto sistema proposto-preditor-corretor de oitava ordem , deve ser aproveitada futuramente no que poderia vir a ser um mecanismo de escolha automática do tamanho do passo ótimo em função da órbita inicial.

CAPÍTULO 8

A COORDENADA DE TEMPO FÍSICO

Em capítulos anteriores, trabalhou-se com os sistemas transformado, estabilizado e regularizado. O tempo no qual estes sistemas se desenvolvem não é o físico, mas um tempo fictício que varia de forma não linear com o primeiro, fato que provoca uma redistribuição dos comprimentos de arco ao longo de uma revolução. A necessidade de se parar a propagação em um tempo físico final, obriga a integração da coor denada de tempo físico, que para órbita perturbada, não possui solução analítica. Este capítulo destina-se a estudar o comportamento da coorde nada de tempo físico que é obtida numericamente, seu erro numérico e a consequente influência do mesmo sobre os vetores posição e velocidade do tidos ao término da propagação, no tempo físico final. Diversos gráficos ilustrativos são traçados e finaliza-se com uma conclusão sobre o estu do desenvolvido.

8.1 - ERRO NA COORDENADA DE TEMPO FÍSICO

A relação entre o tempo físico e o fictício oriunda da transformação do tipo Sundman de tempo na versão da anomalia excêntrica, foi obtida no Capítulo 3 e possui a forma:

$$dt/ds = r , (8.1)$$

onde r é o vetor posição e s o tempo fictício.

Esta equação possui solução analítica quando o movimento não é perturbado, o que faz com que a saída se verifique realmente no tempo físico final desejado. Em caso de órbita kepleriana, o tempo ficiticio s possui uma relação linear com a anomalia excêntrica, conforme de monstrado no Capítulo 3, possuindo a forma:

$$s = \sqrt{a/u} \quad E \tag{8.2}$$

onde considerou-se a propagação partindo do perigeu, sendo a o semieixo maior, u a constante de gravitação terrestre e E a anomalia excêntrica.

Com a Equação 8.2, pode-se obter a anomalia excêntrica em cada ponto discreto da integração numérica e em assim procedendo-se, ob tém-se o tempo físico exato até o presente ponto. Uma vez obtido o tem po físico exato, integra-se numericamente a Equação 8.1, -se o resultado com o valor exato do tempo físico no ponto da diferença entre os dois tempos físicos obti ção em questão. dos analítica e numericamente constitui-se no erro global da coordena da de tempo físico quando trata-se com órbita kepleriana. Os seguintes mostram o erro global da coordenada de tempo físico e sua va riação em função da anomalia excêntrica. As órbitas iniciais considera das são as mesmas órbitas presentes nos testes anteriores, sendo que o erro foi obtido considerando-se obviamente, movimento não perturbado, propagado em um Runge-Kutta de oitava ordem em conjunto com o transformado (transformação do tipo Sundman de tempo na versão da anoma lia excêntrica), por um tempo físico equivalente a três períodos de re volução e com T/60 para tamanho do passo de integração.

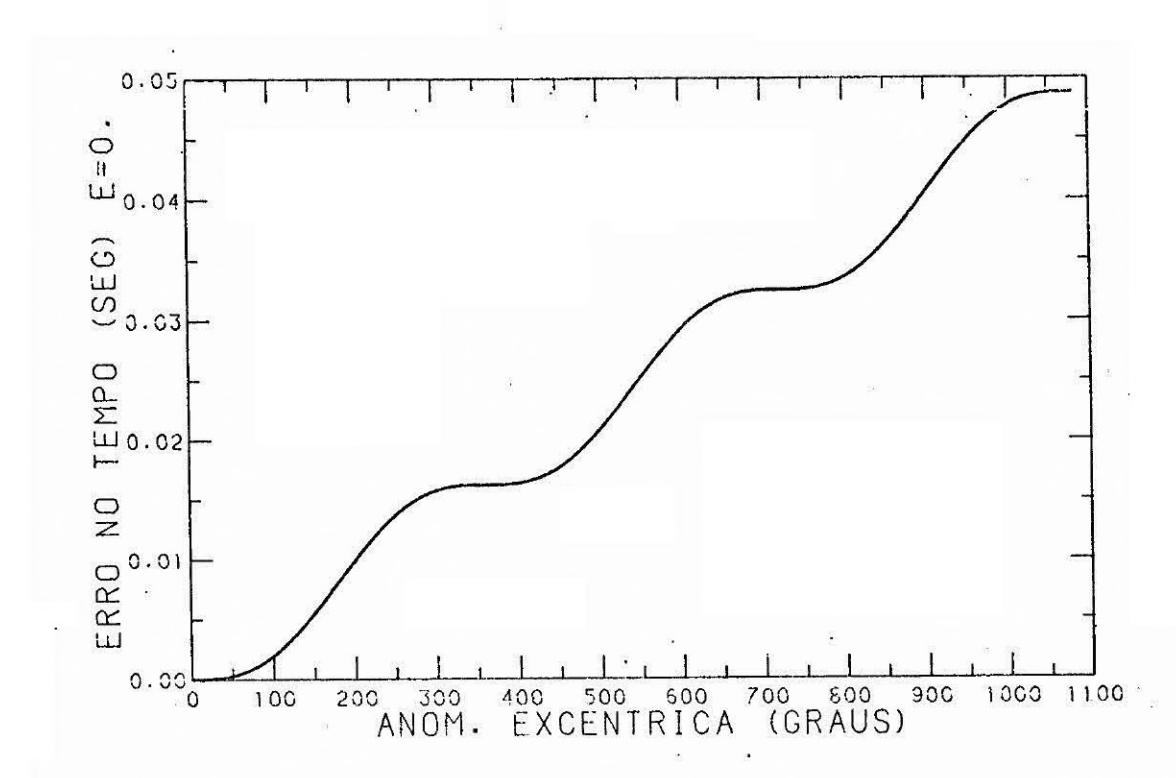


Fig. 8.1 - Erro global da coordenada de tempo físico em órbita com cêntricidade nula.

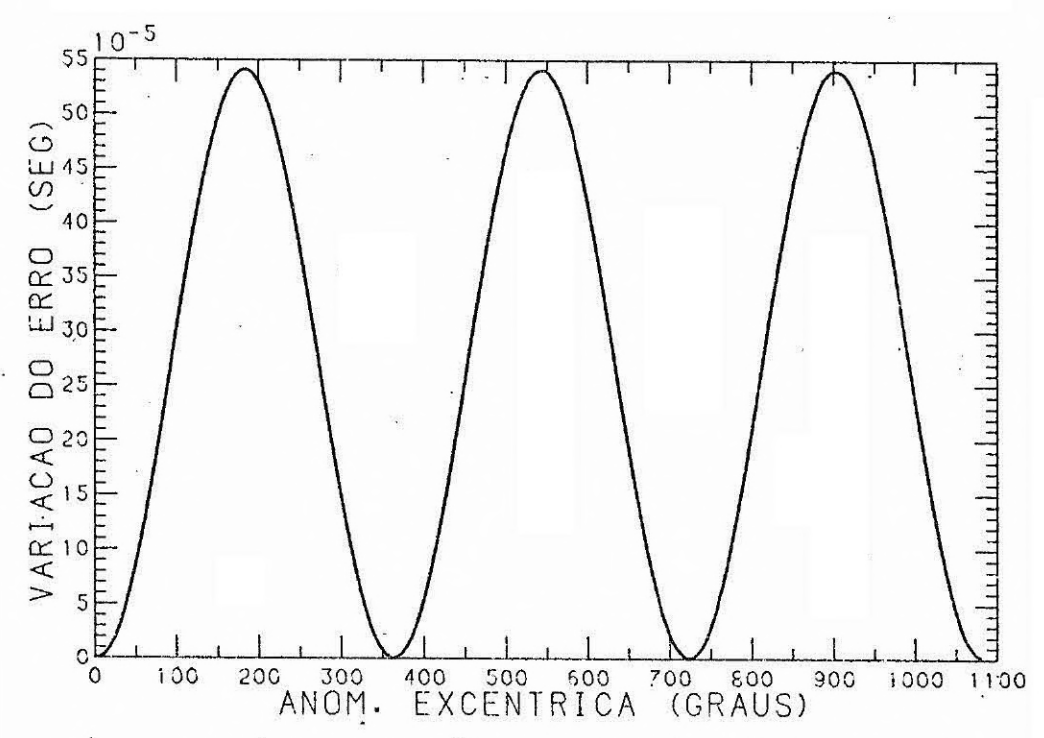


Fig. 8.2 - Variação do erro global da Figura 8.1.

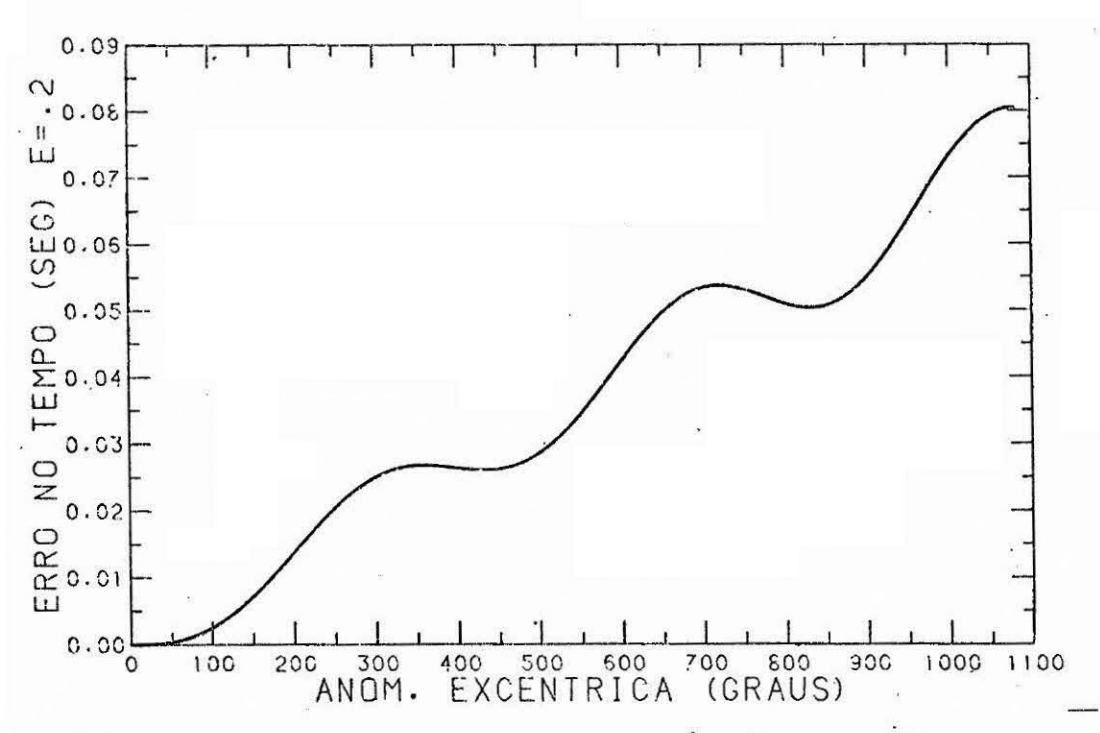


Fig. 8.3 - Erro global da coordenada de tempo físico em órbita com ex centricidade 0,2.

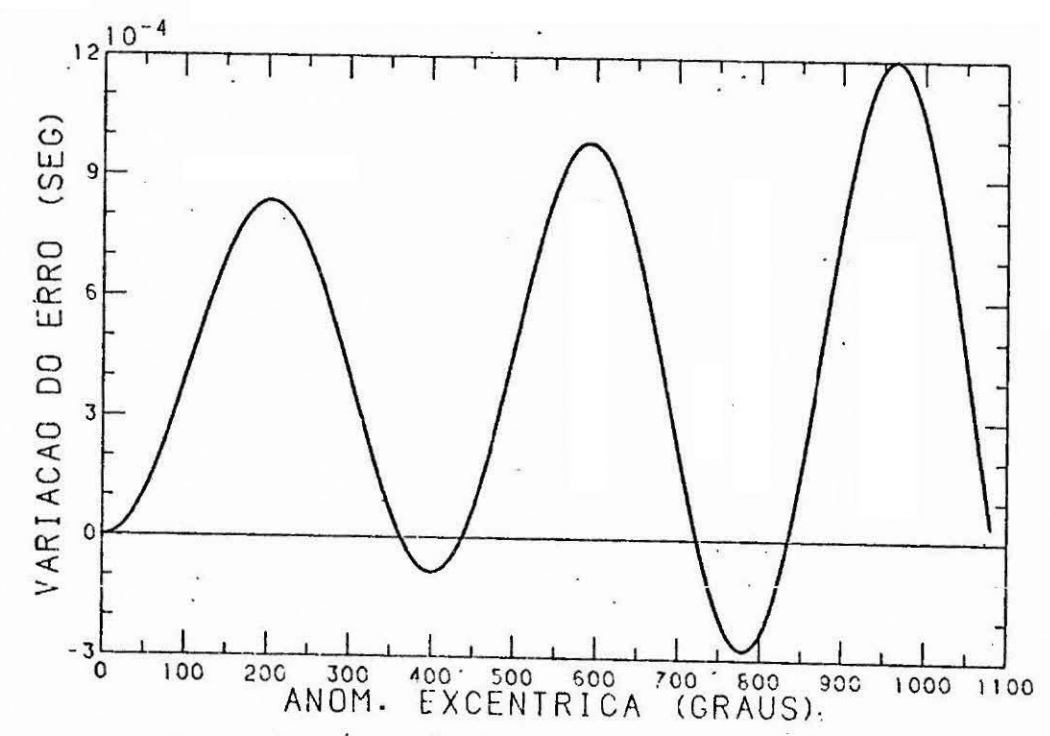


Fig. 8.4 - Variação do erro da Figura 8.3.

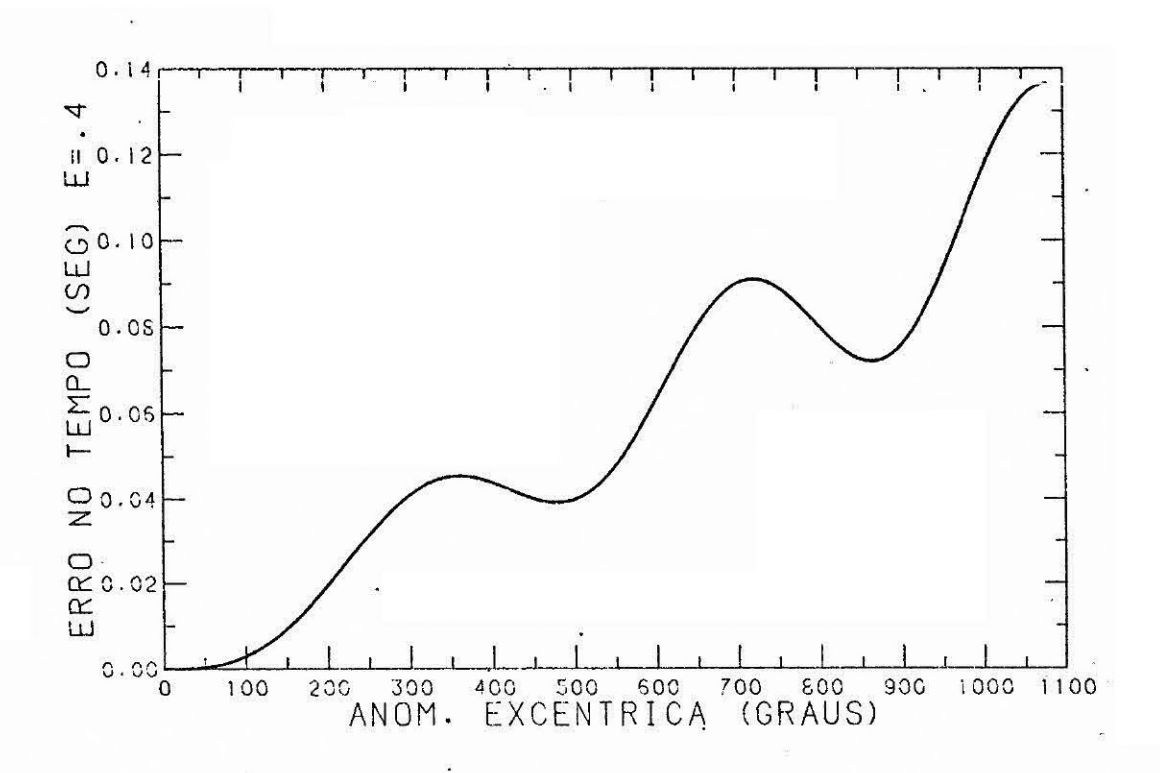


Fig. 8.5 - Erro global da coordenada de tempo físico em órbita com ex centricidade 0,4.

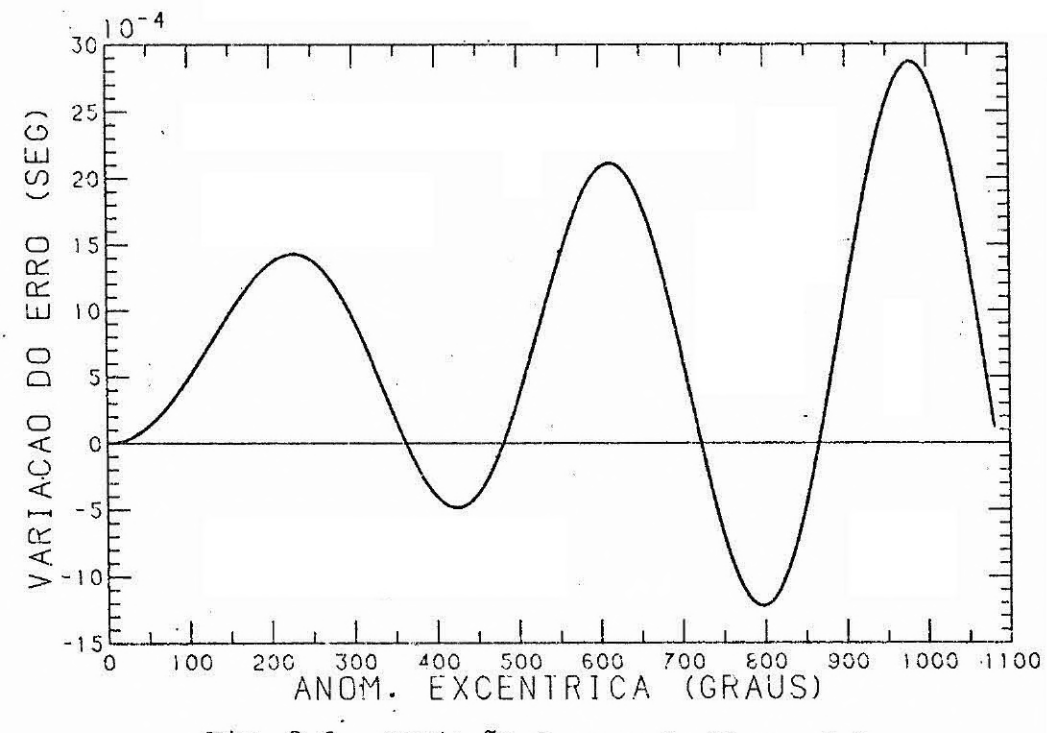


Fig. 8.6 - Variação do erro da Figura 8.5.

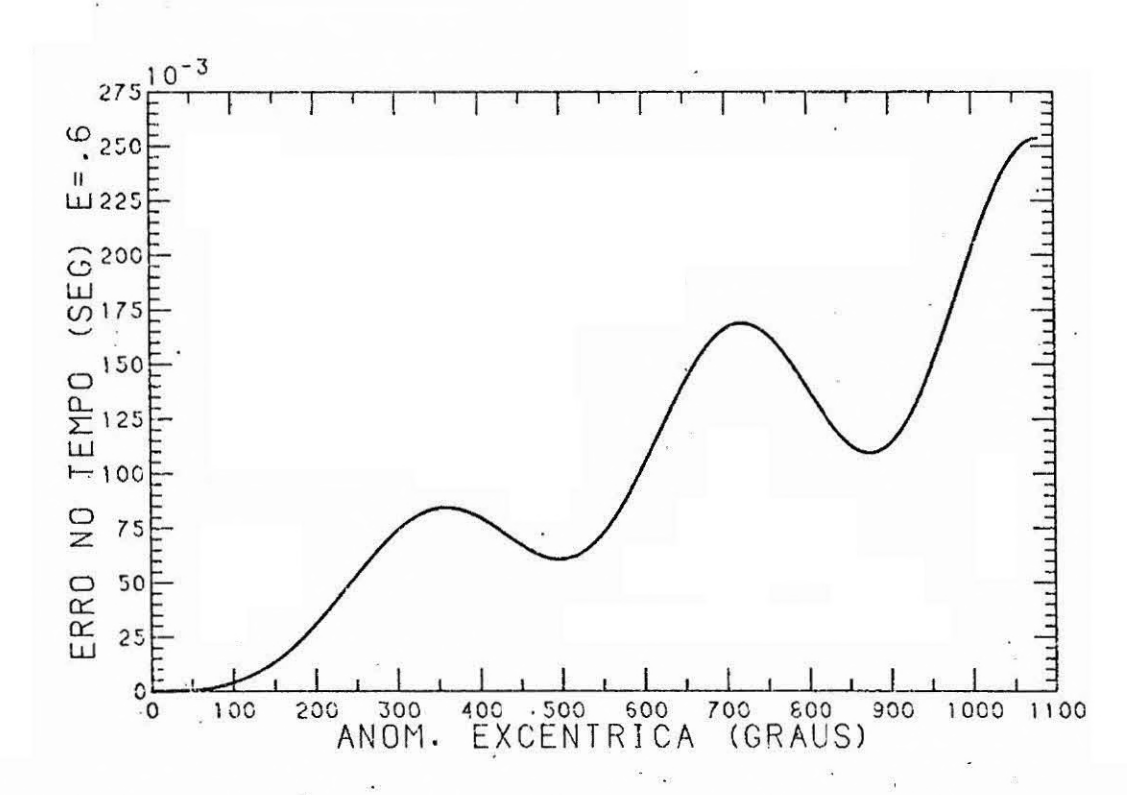


Fig. 8.7 - Erro global da coordenada de tempo físico em órbita com excentricidade 0,4.

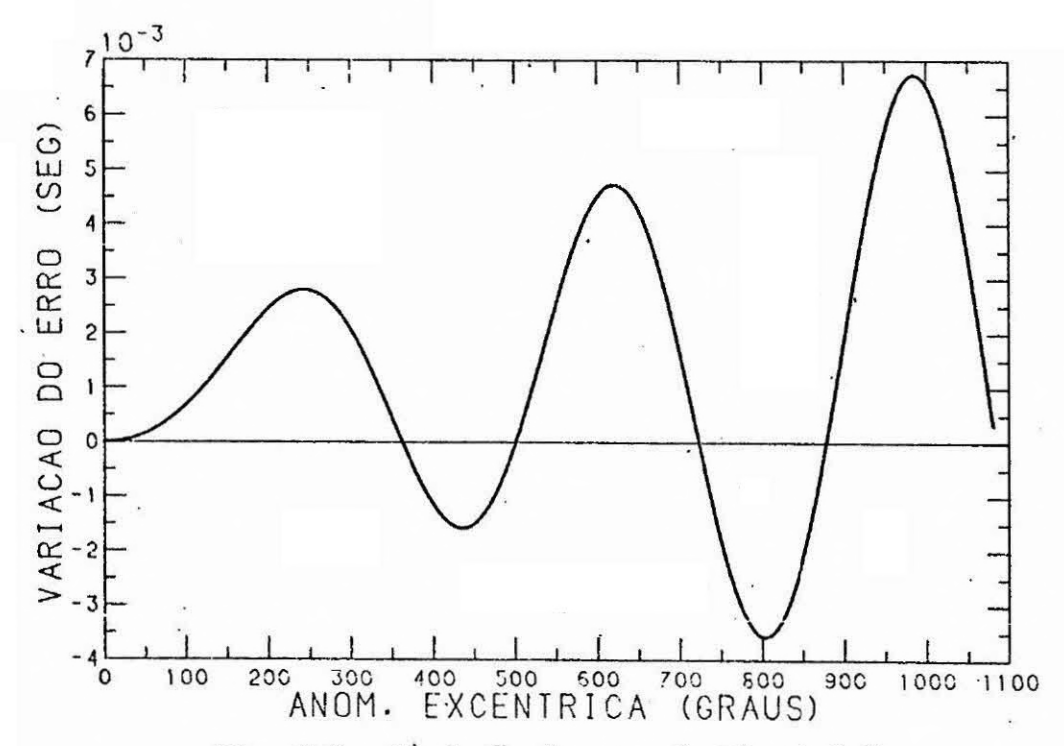


Fig. 8.8 - Variação do erro da Figura 8.7.

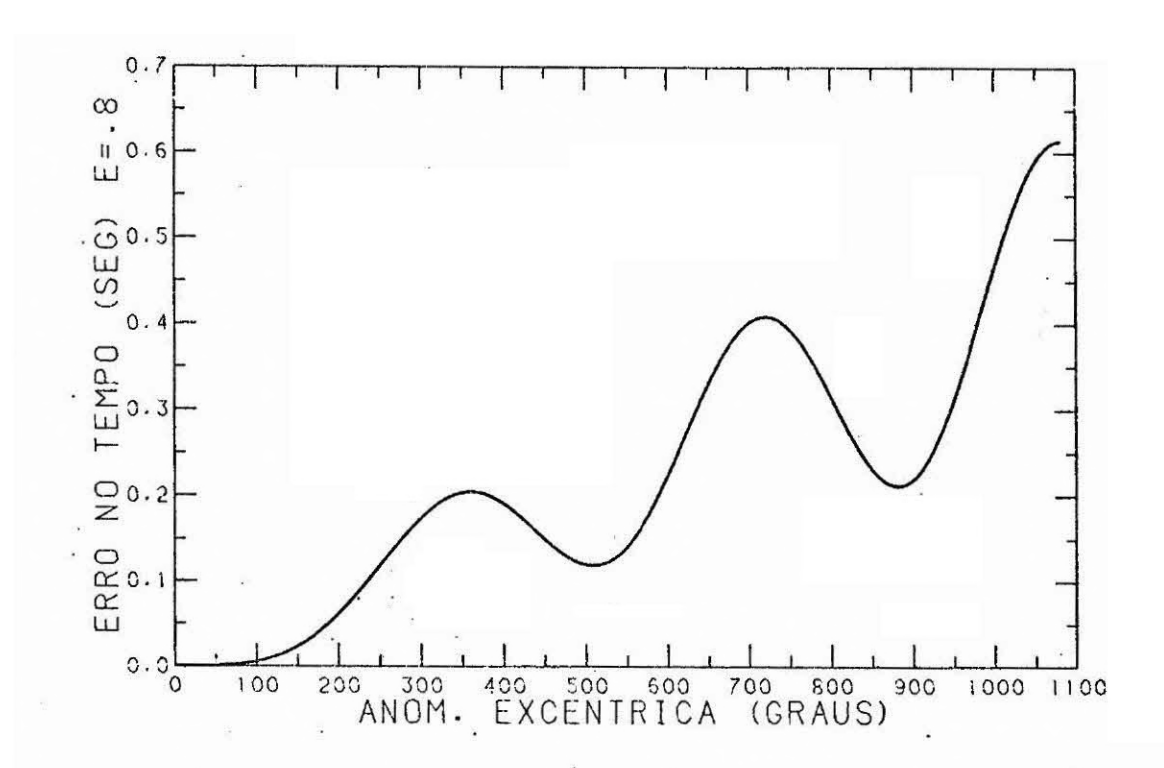


Fig. 8.9 - Erro global da coordenada de tempo físico em órbita com ex centricidade 0.8.

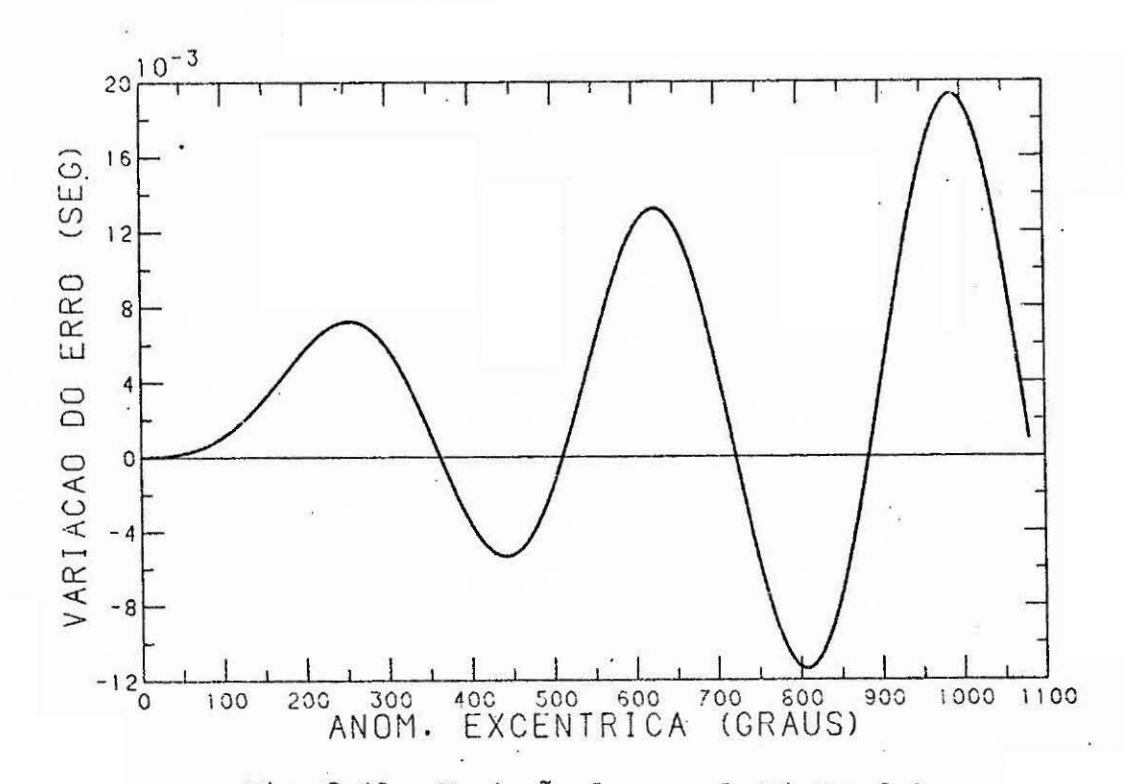


Fig. 8.10 - Variação do erro da Figura 8.9.

A análise dos gráficos permite algumas conclusões sobre o comportamento da coordenada de tempo físico obtida numericamente. primeira e mais óbvia é que o erro global da coordenada de tempo físico. cresce com o tempo de propagação, bem como com o acréscimo da excentri cidade. Existe um crescimento secular e a curva real é uma ondulação em volta deste, sendo que a amplitude de oscilação cresce com a excentrici dade da órbita. Os pontos de máximos da oscilação coincidem com a sagem pelo perigeu, região na qual a variação do erro torna-se nula. Pa ra órbitas com excentricidade nula, o erro global sempre cresce, ou se ja, sua variação chega a zero nos pontos de máximo mas nunca assume va lores negativos. À medida em que a excentricidade cresce, surgem re giões físicas nas quais o erro global está diminuindo, fato assinalado pelo aparecimento de variação negativa, as oscilações ficam mais marcan tes e surgem pontos de mínimo nos quais supõe-se obter erros em posição e velocidade menores. As amplitudes de oscilação crescem com o tempo de propagação, fazendo com que os pontos de mínimo tornem-se mais nítidos. Estas conclusões sugerem novos testes que são apresentados no próximo tópico, que concluirá a respeito da influência do erro global da coorde nada de tempo físico sobre os erros em posição e velocidade obtidos ao término da propagação.

8.2 - TESTES COM O MECANISMO DE PARADA

No tópico anterior, foi enfatizado a existência do erro na coordenada de tempo físico quando esta é obtida de forma numérica. Não há dúvida quanto a influência marcante deste erro sobre os erros em posição e velocidade obtidos ao término da propagação. A fim de se verificar tal influência, um primeiro teste foi idealizado. Trata-se da propagação por um período orbital em movimento não perturbado, com tér mino da propagação no tempo físico final obtido através do mecanismo de senvolvido no Capítulo 6, ou seja, convergindo-se a saída para o tempo físico final obtido de forma numérica. Foram consideradas as mesmas ór bitas iniciais e os erros em posição e velocidade encontrados foram con frontados com os erros obtidos parando-se no tempo físico final obtido de forma analítica. Os resultados deste primeiro teste estão dispostos

na Tabela 8.1, tendo sido utilizado o sistema transformado em conjunto com o Runge-Kutta de oitava ordem e com T/60 para tamanho de passo.

ERROS COM PARADAS NO TEMPO FÍSICO FINAL OBTIDO

DE FORMAS ANALÍTICAS E NUMÉRICA

TABELA 8.1

EXC.	TEMPO AN	NALÍTICO	TEMPO N	UMÉRICO
	Δr(m)	Δṙ(m/s)	Δr(m)	Δr(m/s)
0,0	27,447065	0,002661	72,447119	0,007024
0,2	40,392916	0,004996	139,34972	0,017238
0,4	58,747033	0,010358	278,61010	0,049126
.0,6	87,907361	0,026636	639,54950	0,193788
0,8	148,23037	0,119773	-2193,8712	1,772697

Observando-se a Tabela 8.1, percebe-se a influência do erro na determinação numérica da coordenada de tempo físico sobre os er ros em posição e velocidade ao término da propagação. Uma vez que o er ro global da coordenada de tempo cresce com a excentricidade, os er ros em posição e velocidade para uma saída em um tempo físico obtido numericamente também crescem. Portanto, as diferenças entre os erros verificados com saída nos tempos físicos obtidos de formas analítica e numérica (Tabela 8.1), devem-se à falta de precisão na determinação numérica da coordenada de tempo físico.

Os dez gráficos obtidos anteriormente permitem mais uma especulação. Trata-se da possibilidade de existirem regiões da órbita física nas quais o término da propagação apresentaria resultados mais precisos. Estas regiões seriam coincidentes com os pontos de mínimo das curvas do erro global para as diversas excentricidades. Tomou-se por

exemplo, a órbita inicial com excentricidade 0,6 (Figura 8.7), que apresenta um ponto de mínimo para uma anomalia excêntrica de aproximadamen te 500 graus, comparando-se o resultado com o mesmo mecanismo de parada aplicado em um tempo físico final equivalente a 360 graus de anomalia excêntrica, estando os resultados dispostos na Tabela 8.2.

TABELA 8.2

ERROS EM POSIÇÃO E VELOCIDADE EM ÓRBITA KEPLERIANA

EXC. $E = 36$		= 360 (GRAUS).		(GRAUS)
	Δr(m)	Δṙ(m/s)	Δr(m)	Δr(m/s)
0,6	639,54950	0,193788	229,55109	0,018689

A Tabela 8.2 evidencia a influência do erro na coordena da de tempo físico sobre a saída, vetor de estado final. Nela percebese que quando este último diminui a um valor mínimo em E=500 graus, o erro na avaliação do vetor de estado também diminui.

Até o presente momento estudou-se o comportamento da co ordenada de tempo físico quando obtida numericamente e sua influência na obtenção do vetor de estado no tempo físico final desejado. O estudo foi desenvolvido em órbita kepleriana tendo-se verificado a forte in fluência do erro na determinação do tempo físico sobre 'os erros na obtenção do vetor de estado, podendo ser dito que quanto maior o erro global da coordenada de tempo físico, maior será o erro obtido na determinação do vetor de estado, muito embora não seja a relação uma proporção.

O que precisa ainda ser verificado é se quando a órbita for perturbada, a coordenada de tempo teria a mesma tendência e in fluência sobre os erros na avaliação do vetor de estado. Para este fim, elaborou-se o último teste do presente capítulo, que consta da propa

gação com o conjunto sistema transformado-Runge-Kutta de oitava or dem com T/60 para tamanho de passo, na mesma órbita inicial do último teste, parando se a integração nos mesmos pontos em anomalia excêntrica, E=360 graus e E=500 graus, correspondentes aproximadamente aos tem pos físicos equivalentes a 64800 e 86020 segundos. Não mais considerous -se movimento kepleriano, mas perturbado com o segundo harmônico do geopotencial, estando os resultados dispostos na Tabela 8.3.

TABELA 8.3

ERROS EM POSIÇÃO E VELOCIDADE EM ÓRBITA PERTURBADA

EXC.	.E = 36	00 (GRAUS)	E = 500 (GRAUS	
	Δr(m)	Δṙ(m/s)	Δr(m)	Δr(m/s)
0,6	791,13939	0,239896	287,69651	0,023399

Os resultados contidos na Tabela 8.3, deixam transpare cer o fato de que a influência da coordenada de tempo físico na obten ção do vetor de estado final verificada para órbita não perturbada, tam bém verifica-se em movimento perturbado, ou seja, as curvas do erro global absoluto da coordenada de tempo físico em movimento perturbado, se pudessem ser traçadas, teriam aproximadamente as mesmas formas das curvas em movimento não perturbado obtidas anteriormente.

8.3 - CONCLUSÕES

Como conclusões finais, tem-se a ressaltar o que de for ma implícita já foi dito. O erro global da coordenada de tempo físico cresce com a excentricidade e com o tempo físico da propagação, compor tamento verificado tanto em órbita kepleriana quanto em perturbada, já que as curvas do erro global da coordenada de tempo físico obtidas para movimento kepleriano, possuem aproximadamente as mesmas formas das cur vas em movimento perturbado. Pode ser dito ainda e com base nas Tabe

las 8.1 e 8.3, que a maior parcela do erro obtido na avaliação do vetor de estado final em órbita perturbada, não é produto de deficiência da formulação, que promove um muito eficiente controle analítico do tama nho do passo de integração, mas sim da falta de precisão na obtenção da coordenada de tempo físico. Este fato permite que se faça uma sugestão para um futuro trabalho, que consistiria da construção de um estimador do erro global da coordenada de tempo físico, o que viria a possibilitar a utilização ótima das diferentes formulações.

TABELA 9.8

SISTEMA ESTABILIZADO, COM ELEMENTO DE TEMPO, PROPAGADO EM UM PRE DITOR-CORRETOR DE OITAVA ORDEM

			Mark Country C	
EXC.	PASSO	Δr(m)	Δṙ(m/s)	CPU
	т/60	110,010521	0,010726	1,0
0,0	т/40	110,718787	0,010794	1,0
	т/20	244,192269	0,020556	0,8
	т/60	189,024997	0,023443	1,0
0,2	т/40	189,880169	0,023548	1,0
	T/20	339,336102	0,039437	0,8
	т/60	351,498785	0,062077	1,1
0,4	т/40	352,582167	0,062264	1,0
	т/20	587,787257	0,101019	0,9
	т/60	791,167122	.0,239897	1,0
0,6	T/40	791,349106	0,240266	1,0
	T/20	1212,82993	0,357372	1,0
	т/60	1379,35675	0,991210	1,1
0,8	T/40	1152,08741	0,872220	1,0
10-10-13-13-13-13-13-13-13-13-13-13-13-13-13-	T/20	3170,18423	2,579999	1,0

TABELA 9.7

SISTEMA TRANSFORMADO, COM ELEMENTO DE TEMPO, PROPAGADO EM UM PRE DITOR-CORRETOR DE OITAVA ORDEM

EXC.	PASSO-	· Δr(m)	∆ṙ́(m/s)	CPU
	т/60	109,979202	0,010723	1,0
0,0	T/40	109,892809	0,010711	0,9
	т/20	277,325424	0,014537	0,6
	т/60	188,981888	0,023438	1,0
0,2	т/40	188,792450	0,023412	. 0,9
	т/20	275,130782	0,024034	0,7
	т/60	351,330382	0,062049	0,9
0,4	т/40	351,007707	0,062000	0,7
	т/20	406,056615	0,064566	0,7
	т/60	790,165206	0,239612	1,0
0,6	т/40	799,370723	0,242720	1,0
	т/20	975,288174	0,282525	. 0,7
	T/60	1464,04666	1,056181	1,2
0,8	т/40	1071,07818,	0,805138	1,0
	T/20	5982,69523	3,801632	1,0

TABELA 9.6

SISTEMA REGULARIZADO, COM ELEMENTO DE TEMPO, PROPAGADO EM UM RUNGE-KUTTA DE OTTAVA ORDEM

EXC.	PASSO	∆r(m)	Δr(m/s)	CPU
	T/60 ·	109,973396	0,010722	4,2
0,0	т/40	109,981352	0,010723	2,9
	T/20	109,982183	0,010723	1,6
	T/60	188,986372	0,023438	4,3
0,2	т/40	188,989633	0,023439	2,9
	т/20	188,991043	0,023439	1,7
1000	T/60 .	351,459020	0,062071	4,9
0,4	T/40	351,471536	0,062073	2,9
	T/20	351,463946	0,062072	1,7
	т/60	791,142891	0,239897	4,3
0,6	T/40	791,148491	0,239899	4,3
	т/20	791,143442	0,239897	1,8
0,8	Ť/60	1357,50248	0,980647	4,3
	T/40	1357,49527	0,980641	3,1
	T/20	1357,55278	0,980677	2,0

TABELA 9.5

SISTEMA ESTABILIZADO, COM ELEMENTO DE TEMPO, PROPAGADO EM UM RUNGE-KUTTA DE OITAVA ORDEM

EXC.	PASSO	Δr(m)	Δṙ(m/s)	CPU
0,0	T/60	109,973046	0,010722	3,8
	T/40	109,978788	0,010723	2,6
	т/20	109,977148	0,010723	1,5
	T/60	188,985217	0,023438	3,7
0,2	T/40	188,985684	0,023438	2,6
	T/20	188,990605	0,023439	1,5
	т/60	351,460535	0,062071	3,8
0,4	T/40	351,472398	0,062073	2,6
	T/20	351,461817	0,062071	1,5
	T/60	1055,45177	0,320609	3,8
0,6	T/40	1055,44475	0,320607	2,6
	т/20	1055,46207	0,320611	1,6
	т/60.	1357,50232	0,980646	3,9
0,8	T/20	1357,50320	0,980648	2,7
	т/60	1357,00738	0,980502	1,8

TABELA 9.4

SISTEMA TRANSFORMADO, COM ELEMENTOS DE TEMPO, PROPAGADO EM UM RUNGE-KUTTA DE OITAVA ORDEM

EXC.	PASSO	Δr(m)	Δṙ(m/s)	CPU
0,0	т/60	109,974555	0,010723	3,5
	т/40	109,970342	0,010722	2,0
9 A	т/20	109,956119	0,010721	1,3
4	т/60	188,967299	0,023436	4,0
0,2	T/40	188,986425	0,023438	2,5
	т/20	188,979398	0,023438	1,1
	т/60	351,460235	0,062071	2,2
0,4	T/40	351,468454	0,062073	2,1
	т/20	351,543240	0,062087	1,3
	т/60	791,155256	0,239901	3,6
0,6	T/40	791,155461	0,239901	2,5
	т/20	796,936008	0,241639	1,1
	т/60	1357,57050	0,980696	4,0
0,8	T/40	1358,37803	0,981284	2,7
	т/20	1835,92677	1,324431	1,3

IGADO COM EL ENCINO DE CENTO DE CENTO

SISTEMA REGULARIZADO, COM ELEMENTO DE TEMPO, PROPACADO EM UM RUNGE-KUTTA DE QUARTA ORDEM

TABELA 9.3

EXC.	PASSO	Δr(m)	Δṙ(m/s)	CPU
	т/60	108,356019	0,010566	1,3
0,0	T/40	101,245582	0,009877	0,9
	т/20	533,218643	0,051038	0,6
	т/60	186,955341	0,023187	1,2
0,2	T/40	178,291878	0,023187	0,9
	т/20	594,852322	0,073077	0,5
12 12 12 12 12 12 12 12 12 12 12 12 12 1	T/60	·348,985459	0,061635	1,2
0,4	т/40	338,558699	0,059797	0,9
	T/20 ·	624,064817	0,109577	0,7
	T/60	787,755812	0,238870	1,4
0,6	T/40	773,314336	0,234498	1,0
	т/20	486,7399043	0,146841	0,6
	т/60	1352,78015	0,977196	1,4
0,8	т/40	1329,96718	0,960491	1,0
	T/20	516,828539	0,382749	0,6

TABELA 9.2

SISTEMA ESTABILIZADO, COM ELEMENTO DE TEMPO, PROPAGADO EM UM RUNCE-KUTTA DE QUARTA ORDEM

EXC.	PASSO	Δr(m)	Δr(m/s)	CPU
•	T/60	84,127232	0,008217	1,1
0,0	T/40	533,13141	0,051043	0,7
	т/20	1659,3295	0,157769	0,5
	т/60	155,37058	0,019426	1,1
0,2	т/40	581,84867	0,071707	0,7
	т/20	2023,0426	0,023975	0,5
	т/60	304,55233	0,054767	1,1
0,4	т/40	564,08169	.0,102401	0,7
	T/20	2453,2886	0,389647	0,5
	т/60	708,54303	0,219363	1,0
0,6	т/40	321,65627	0,124098	0,6
	т/20	3832,0349	0,959464	0,5
0,8	т/60	1337,6390 [.]	0,971283	1,2
	T/40	1247,8601	0,668761	0,8
	T/20	4473,8428	2,993391	0,6

TABELA 9.1

SISTEMA TRANSFORMADO, COM ELEMENTO DE TEMPO, PROPAGADO EM UM RUNGE-KUITA DE QUARTA ORDEM

EXC.	PASSO	Δr (m)	Δr(m/s)	CPU
	т/60	105,294670	0,010996	1,1
0,0	т/40	136,553966	0,014955	0,7
	т/20	434,994960	0,077314	0,5
	т/60	166,576467	0,021478	1,0
0,2	т/40	149,845830	0,020386	0,8
	т/20	850,217385	0,059130	0,5
	т/60	121,005854	0,022828	1,1
0,4	T/40	467,863395	0,079275	0,8
	T/20	14457,8737	2,470213	0,5
	т/60	1412,21680	0,421627.	1,1
0,6	т/40	7587,90417	2,281157	0,8
	т/20	137256,444	41,25958	0,5
0,8	т/60	31100,4147	22,60455	1,1
	T/40	141874,259	103,4373	0,8
	т/20	2165508,18	1640,373	0,6

$$T' = (1/2H)(u+(1/rH)\vec{r}.\vec{r}'(\vec{p}.\vec{r}')-r(\vec{r}.(\partial V/\partial \vec{r}-\vec{P})+2V))$$
(9.17)

sendo T o elemento de tempo segundo Stiefel.

Integrando-se uma primeira vez em relação ao tempo fi<u>c</u> tício a Equação 9.16, tem-se:

$$t + r'/2H = T$$
 (9.18)

Ou ainda,

$$t = T - (1/2Hr)\overrightarrow{rr}' \tag{9.19}$$

A Equação 9.19 relaciona o tempo físico com o elemento de tempo, que é obtido numericamente a partir da Equação 9.17, que deixa transparecer o fato de que se a órbita for kepleriana, o elemento de tempo será uma função linear do tempo fictício. No próximo tópico apresenta-se resultados de testes em órbita perturbada, utilizando-se as formulações com elemento de tempo.

9.2 - TESTES COMPUTACIONAIS E CONCLÚSÕES

Os testes deste tópico foram efetuados sobre as mesmas órbitas iniciais dos testes anteriores, considerando-se movimento per turbado com o segundo harmônico do geopotencial. A coordenada generaliza da do elemento de tempo é integrada numericamente, sendo seu valor inicial obtido a partir da Equação 9.19, ou seja:

$$T(0) = t(0) + (1/2H(0)r(0))\dot{r}(0).\dot{r}'(0)$$
 (9.20)

onde todas as variáveis do lado direito são conhecidas no tempo inicial, seja com a formulação transformado, estabilizado ou regularizado. As três formulações foram integradas com o elemento de tempo, utilizando—se os Runge-Kutta de quarta e oitava ordem e o preditor-corretor de oitava ordem, estando os resultados dispostos nas tabelas seguintes.

$$r'' + 2Ht' = u - r(\vec{r} \cdot (\partial V/\partial \vec{r} - \vec{P}) + 2V)$$
 (9.11)

Adicionando-se a ambos os membros da Equação 9.11 o termo -(r'H')/H, tem -se:

$$r'' - r'H'/H + 2Ht' = u - r'H'/H +$$

$$-r(\vec{r}.(\partial V/\partial \vec{r} - \vec{P}) + 2V)$$
 (9.12)

Ou ainda,

$$t'+(1/2H)r''-(1/2H^2)r'H' = (1/2H)$$
.
 $(u-r'H'/H - 2rV-rr.(\partial V/\partial r - P))$ (9.13)

A derivada da equação da energia total em relação ao tempo fictício foi obtido no Capítulo 4 e possui a forma:

$$H' = -\vec{p} \cdot \vec{r}' \tag{9.14}$$

onde considerou-se o potencial V idenpendente explicitamente do tempo físico ou fictício.

Substituindo-se a Equação 9.14 na 9.12 tem-se a equação:

$$t'+(1/2H)r''-(1/2H^2)r'H' = (1/2H)$$
.

.
$$(u+(1/rH)\vec{r}.\vec{r}'(\vec{p}.\vec{r}')-2rV-r\vec{r}.(\partial V/\partial \vec{r}-\vec{p}))$$
 (9.15)

Assume-se então que o lado direito da Equação 9.15 é a derivada do ele mento de tempo em relação ao tempo fictício, ou seja:

$$t'+(1/2H)r''-(1/2H^2)r'H' = T'$$
 (9.16)

onde

substituição ao tempo físico, que se relacionará com esta. A equação di ferencial em tempo físico do movimento perturbado possui a forma:

$$\ddot{\vec{r}} = -u/r^3 \vec{r} - \partial V/\partial \vec{r} + \vec{P} \tag{9.2}$$

O elemento proposto por Stiefel (Stiefel e Sheifele, 1971) e citado por Baungarte (Baungarte, 1971), utiliza a equação da energia do movimento,

$$(1/2) |\dot{r}|^2 - u/r + V + H = 0$$
 (9.3)

onde u é a constante de gravitação terrestre, V o potencial perturbador e H o negativo da energia total. Derivando-se duas vezes com relação ao tempo físico o termo (1/2) r. r tem-se:

$$d^{2}/dt^{2}((1/2)\vec{r}.\vec{r}) = \vec{r}.\vec{r} + |\vec{r}|^{2}$$
 (9.4)

Substituindo-se as Equações 9.3 e 9.2 na 9.4 tem-se:

$$d^{2}/dt^{2}((1/2)\vec{r}.\vec{r}) = u/r - \vec{r}.(\partial V/\partial \vec{r} - \vec{P}) - 2(V+H)$$
 (9.5)

Considerando-se o operador transformação de tempo:

$$d/dt = (1/r)d/ds , \qquad (9.6)$$

pode-se obter a relação:

$$d^2/dt^2((1/2)\vec{r}.\vec{r}) = d/dt(r.\dot{r}) = (1/r).r''$$
 (9.7)

A Equação 9.5 pode ser escrita então na forma:

$$r'' + 2Hr = u - r(\vec{r}.(3V/3\vec{r} - \vec{P}) + 2V)$$
 (9.10)

Considerando-se a Equação 9.1, a 9.10 torna-se:

CAPÍTULO 9

ELEMENTOS DE TEMPO

No capítulo anterior, ficou comprovada a forte influên cia do erro na determinação numérica da coordenada de tempo físico, so bre os erros na avaliação do vetor de estado. Neste capítulo, estudase os chamados elementos de tempo, que foram desenvolvidos com o intuí to de diminuirem os erros na avaliação da coordenada de tempo físico, diminuindo consequentemente o erro na obtenção do vetor de estado fi nal. Pode ser dito que o elemento de tempo é um substituto nada de tempo físico nos sistemas de equações diferenciais transformado, estabilizado ou regularizado, passando a ser ele próprio nada generalizada com a qual obtém-se o tempo físico com maior precisão. Diversos tipos de elementos de tempo têm surgido recentemente, como os apresentados pelos autores: Baungarte, 1972; Janin e Bond, 1981; Kwok e Nacozy, 1981; Stiefel e Sheifele, 1971; Zare, 1983. Não se pode, no momento, afirmar qual é o que melhor se adapta ao problema real de saté lites artificiais terrestres e no presente capítulo, estuda-se o elemen to de tempo proposto por Stiefel e Sheifele, que também foi apresentado por Baungarte, sendo talvez a mais conhecida e difundida formulação do tipo.

9.1 - O ELEMENTO DE TEMPO

A transformação do tipo Sundman de tempo na versão da anomalia excêntrica, permite que se obtenha o tempo físico em função do fictício através da seguinte equação diferencial:

$$t' = r \tag{9.1}$$

onde 'significa derivada com relação ao tempo fictício e r é o módulo do vetor posição. Após a introdução do elemento de tempo, a equação diferencial com a qual se obterá o tempo físico será a equação do elemento de tempo, que passará a ser a coordenada generalizada do sistema em

TABELA 9.9

SISTEMA REGULARIZADO, COM FLEMENTO DE TEMPO, PROPAGADO EM UM PRE DITOR-CORRETOR DE OLTAVA ORDEM

EXC.	PASSO	Δr(m)	Δṙ(m/s)	CPU
	т/60	109,973707	0,010723	1,1
0,0	T/40	109,977554	0,010723	1,0
en a company of the c	T/20	110,698136	0,010788	0,8
	т/60	188,991857	0,023439	1,0
0,2	т/40	188,988506	0,023438	1,0
	т/20	189,749808	0,023587	0,8
	т/60	351,456313	0,062070	1;1
0,4	т/40	351,546151	0,062082	1,0
	T/20	349,232780	0,062324	0,9
	т/60	791,216948	0,239910	1,1
0,6	T/40	791,215756	0,239950	1,1
	T/20	799,733662	0,245481	0,8
	т/60	1371,46606	0,987489	1,3
0,8	T/40	1239,09845	0,915794	1,1
	T/20	1563,08036	1,293385	1,1

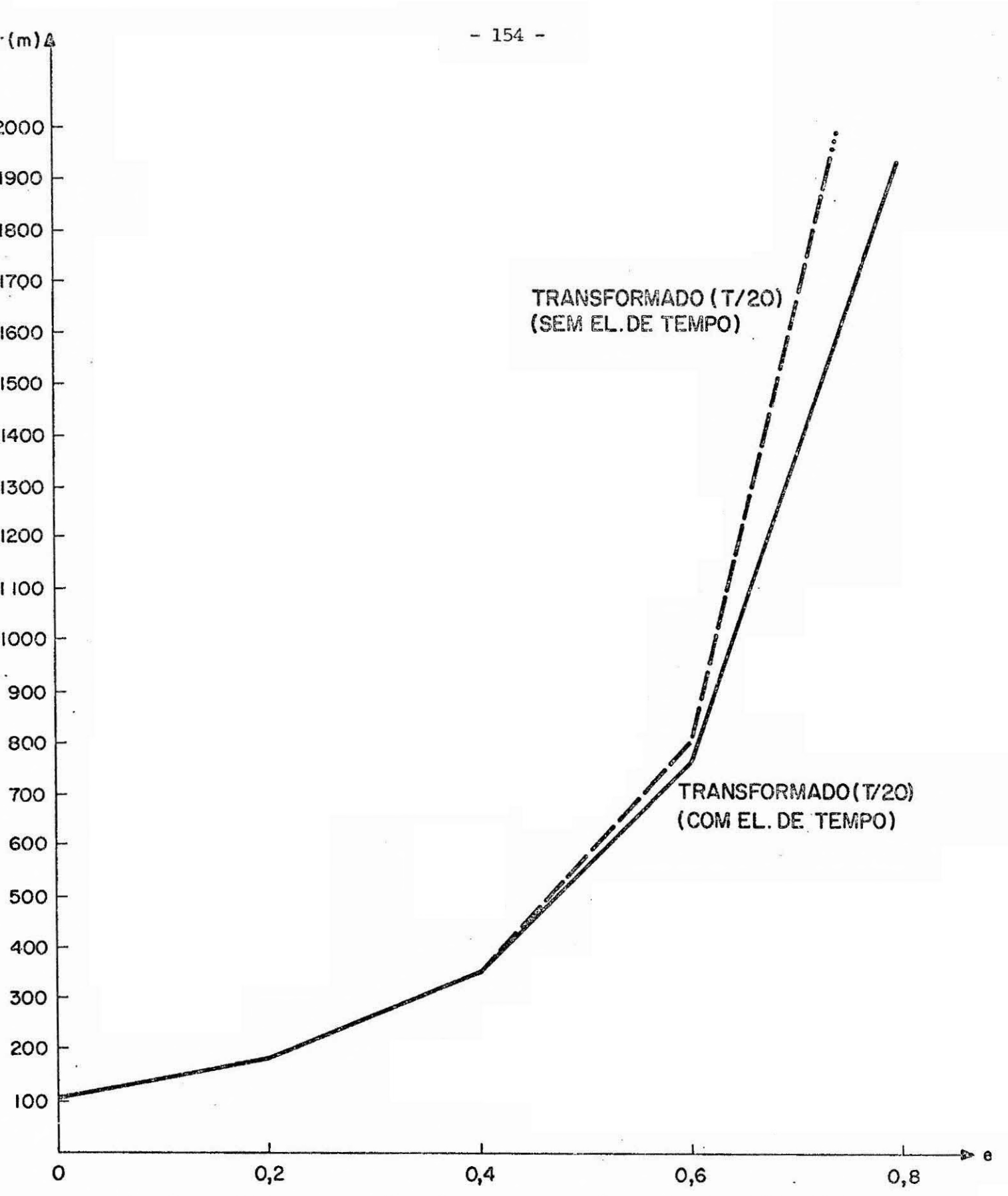


Fig. 9.1 - Sistemas transformado, com e sem elemento de tempo, propaga dos em um Runge-Kutta de oitava ordem e com T/20 para tamanho do passo.

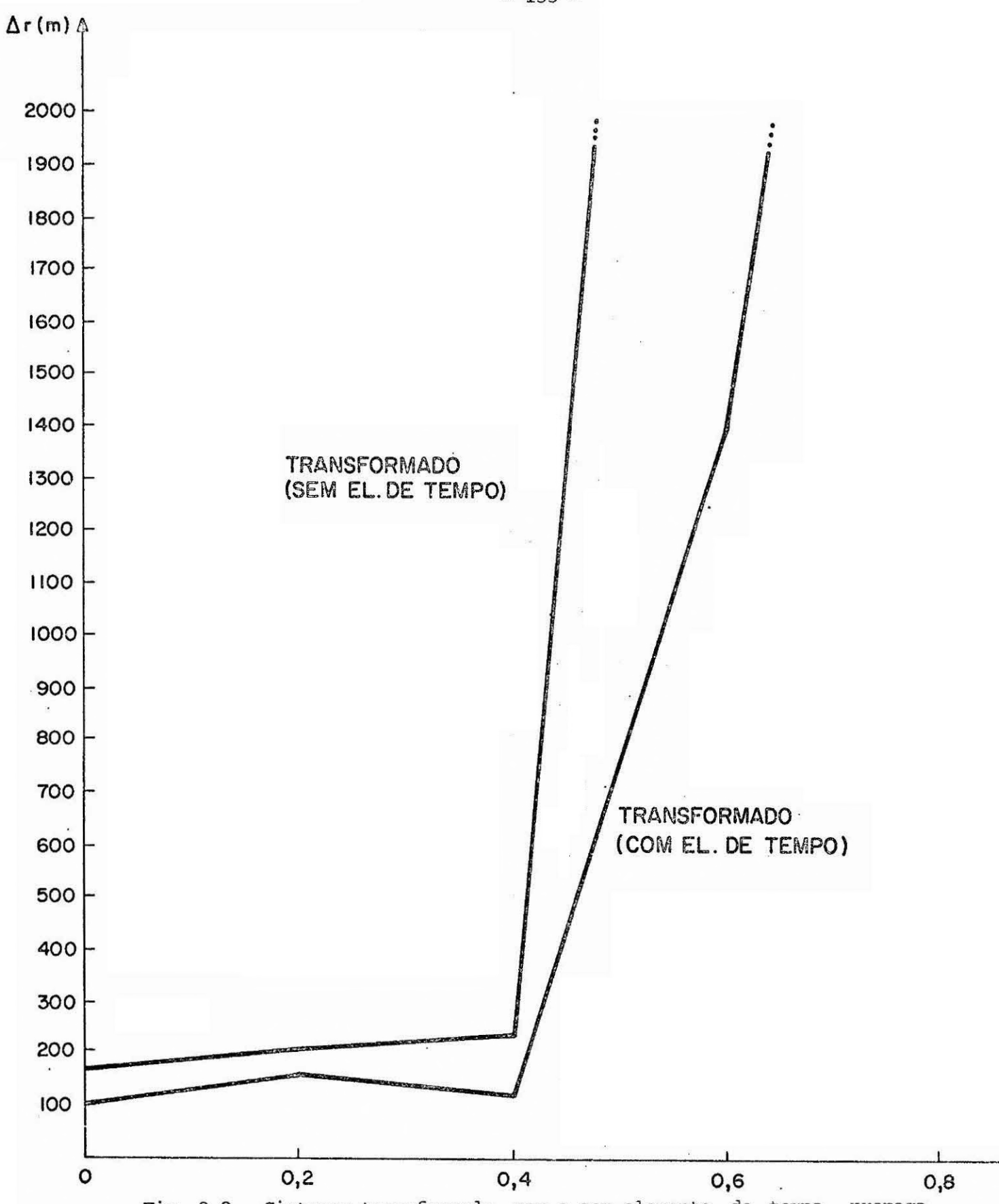


Fig. 9.2 - Sistemas transformado, com e sem elemento de tempo, propaga dos em um Runge-Kutta de quarta ordem e com T/60 para tama nho do passo.

(m) A

1900

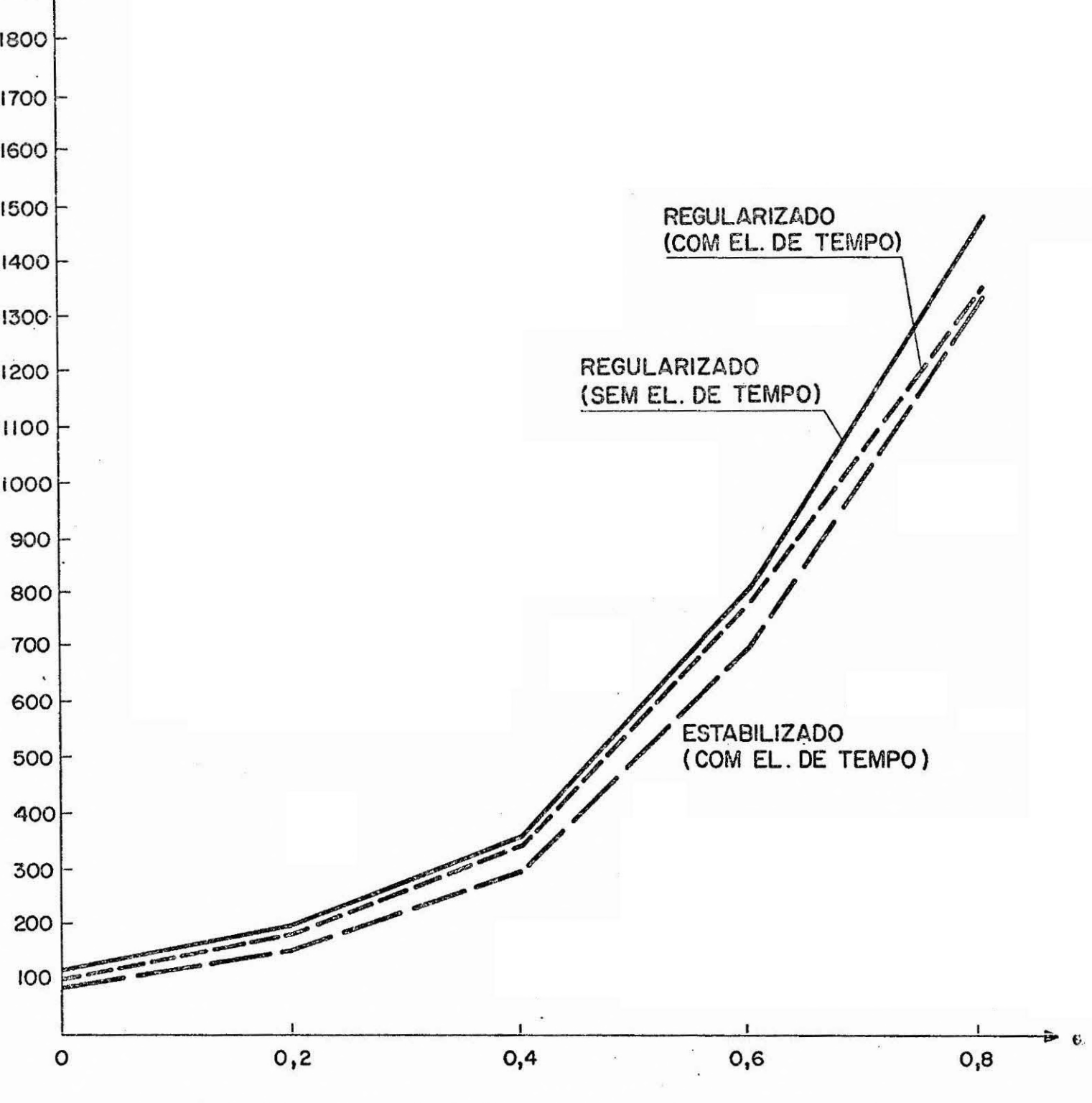


Fig. 9.3 - Sistemas regularizado sem elemento de tempo, regularizado com elemento de tempo e estabilizado com elemento de tempo, propa gados em um Runge-Kutta de quarta ordem e com T/60 para tama nho do passo.

As conclusões seguintes são fruto da análise das nove tabelas e três gráficos, resultados dos testes computacionais do presente capítulo. As tabelas construídas neste capítulo foram confrontadas comas do Capítulo 6, nas quais encontram-se dispostos os resultados obtidos com as formulações sem o uso do elemento de tempo.

Inicialmente pode ser dito que quase não há ganho em pre cisão quando utiliza-se alguma formulação com elemento de tempo em con junto com integradores de mais alta ordem, oitava por exemplo, possa haver outros tipos de elementos de tempo que apresentem ganhos em precisão com tais integradores, o que pode vir a ser confirmado em traba lhos futuros. O que verificou-se no presente trabalho é que as numero sas avaliações das derivadas em integradores de mais alta ordem, em espe cial o Runge-Kutta de oitava ordem, promovem melhoramentos em termos de precisão, elevando o nível do resultado ao término da propagação, nado assim menos perceptível o efeito benéfico do elemento de tempo so bre a avaliação mais precisa da coordenada de tempo físico. Quando há al gum ganho com o uso do elemento de tempo em integradores de oitava ordem, este ocorre geralmente com o tamanho de passo T/20 e em altas excentri cidades, conforme pode ser verificado analisando-se a Figura qual contém a informação de que o sistema transformado de tempo em conjunto com o Runge-Kutta de oitava ordem, apresentou lhores résultados em termos de precisão do que a mesma formulação elemento de tempo e com o mesmo integrador, ambos com T/20 para tama nho de passo.

Quando utiliza-se alguma formulação com o elemento de tempo em integradores de mais baixa ordem, quarta por exemplo, obtémse um mais perceptível ganho em precisão em comparação com as mesmas for mulações sem o uso do elemento de tempo também com integradores de quar ta ordem, conforme pode ser verificado a partir das Tabelas 9.1 a 9.3, comparadas com suas respectivas do Capítulo 6. As Figuras 9.2 e 9.3 auxiliam a visualização de tal efeito. A Figura 9.2 contém os erros em posição em função da excentricidade, obtidos com os sistemas transformado

com e sem elemento de tempo, propagados com o Runge-Kutta de quarta or dem e com T/60 para tamanho do passo. Nela vê-se que o sistema transfor mado e com elemento de tempo possui melhor comportamento em termos de precisão do que o apenas transformado. A Figura 9.3 contém os sistemas regularizado com e sem elemento de tempo e o estabilizado com elemento de tempo, todos propagados com o Runge-Kutta de quarta ordem e com T/60 para tamanho do passo. Da sua análise percebe-se que o sistema estabilizado mostrou-se ligeiramente superior ao regularizado, ambos com o elemento de tempo. Estes últimos apresentaram resultados melhores do que os obtidos com o sistema regularizado sem o elemento de tempo em conjunto com o Runge-Kutta de quarta ordem, que dentre os conjuntos sem elemento de tempo com tal integrador, foi o que melhores resultados apresentou.

Como conclusões finais, pode ser dito inicialmente que o elemento de tempo torna consistente a utilização de métodos de quarta ordem em problemas reais de satélites artificiais terrestres, ou seja, os resultados obtidos com tais integradores são compatíveis aos obtidos em integradores de oitava ordem sem o uso do elemento de tempo, chegando até a superá-los em alguns casos. Portanto, aconselha-se só utilizar in tegradores de quarta ordem se as formulações contiverem o elemento de tempo. As formulações utilizadas em conjunto com o Runge-Kutta de quar ta ordem e com o elemento de tempo, mostraram-se sensíveis à variação do tamanho do passo. À medida em que se amplia o passo de forma gradativa entre T/60 e T/20, obtém-se variações nos erros verificados ção do vetor de estado. Pode-se encontrar erros menores do que os obti dos com T/60, mas isto é casual, dependendo inclusive da órbita inicial. Caso trabalhe-se com uma missão espacial cuja órbita é conhecida e bem definida, pode-se utilizar a estrutura de testes desenvolvida e determi nar assim o tamanho ótimo do passo, que valeria por um relativamente lon go tempo até que sofresse alguma alteração. Caso deseje-se uma utiliza ção mais rápida, aconselha-se o uso do T/60 sempre que se fizer uso de integradores de quarta ordem em conjunto com as formulações mado, estabilizado e regularizado, todas com o elemento de tempo, apenas com a ressalva que para elevadas excentricidades, é desaconselhável

utilização do sistema apenas transformado. Viu-se no Capítulo 8, que o erro na avaliação da coordenada de tempo físico influi de forma significativa na existência dos erros em posição e velocidade. O elemento de tempo desenvolvido por Stiefel-Sheifele e apresentado também por Boungarte, determina de forma mais precisa a coordenada de tempo físico, principalmente quando utilizado em integradores de quarta ordem, sendo esta a razão do ganho em precisão na avaliação do vetor de estado final, ganho este ressaltado pelas Figuras 9.1, 9.2 e 9.3.



CAPÍTULO 10

CONCLUSÕES

Nos últimos oito capítulos deste trablaho, estudouse diferentes formas de se escrever as equações diferenciais do movimen= to orbital, bem como os efeitos de tais formulações sobre os parâmetros físicos da órbita. Habituou-se a medir os acontecimentos em intervalos de uma grandeza padrão, o tempo físico, assim como a se observar o uni verso pela óptica dos sentidos tridimensionais. Contrariando tais conven ções, Sundman propôs um novo tempo para o desenvolvimento do sistema di nâmico do movimento orbital e o Kustaanheimo idealizou uma quarta dimen são. Tais fatos deixam a certeza de que o sistema propagado não tem vín culo com a realidade física, possuindo entretanto janelas de comunica ções através das entradas e saídas do mesmo, nas primeiras foge-se a rea lidade, e nas segundas volta-se a esta. Este capítulo destina-se a formu lação de conclusões finais sobre tudo o que foi estudado, numa tentativa de sintetizar na forma mais clara possível, todos os resultados oriundos dos testes computacionais efetuados no presente trabalho de dissertação.

10.1 - CONCLUSÕES GERAIS

O estudo teórico das diferentes formulações bem como os diversos testes computacionais efetuados, permitem que sejam dispos tas conclusões de âmbito geral sobre tudo o que foi apresentado.

Inicialmente ressalta-se o fato de que cada formulação com algum integrador, forma um conjunto dinâmico que não deve ser disso ciado para efeito de análise de resultados. Isto significa dizer que uma formulação que apresentou melhores resultados do que outra em um determinado integrador, pode apresentar resultado adverso em um outro integrador, ou seja, a eficiência do conjunto formulação e integrador é que de ve ser julgada.

A transformação do tipo Sundman de tempo na versão da anomalia excêntrica promove um controle analítico, em tempo físico, do passo de integração, promovendo consequentemente uma redistribuição mais equitativa dos comprimentos de arco ao longo de uma revolução.

Podem existir outras transformações de tempo que melhor se adaptem ao problema real de satélites artificiais, que promovam uma distribuição de forma um pouco mais equitativa dos comprimentos de arco ao longo de uma revolução. No Capítulo 7 foi proposta uma transformação cujos resultados obtidos com o preditor-corretor de oitava ordem se mostraram superiores aos obtidos com a transformação do tipo Sundman de tempo na versão da anomalia excêntrica. Evidentemente não se falará de forma definitiva sobre a transformação proposta; visto a mesma ter sido criada recentemente, precisando-se de maturidade em testes computacio nais a fim de se garantir uma última palavra.

A estabilização sugerida por Baungarte é feita sobre o sistema de equações diferenciais do movimento não perturbado. Como a mais influente parcela de termos da equação matemática do movimento per turbado é justamente a parcela estabilizada do movimento kepleriano, o efeito da estabilização faz-se presente também em movimento perturbado.

A regularização proposta por Stiefel e Sheifele torna regular o movimento kepleriano, ou seja, elimina por completo a singularidade do sistema de equações em tempo físico. Ela também estabiliza o movimento kepleriano, transformando—o em um oscilador harmônico simples de frequência constante, fazendo—o ao custo da introdução de mais uma dimensão ao movimento anteriormente tridimensional.

As formulações transformado, estabilizado e regularizado, utilizam como coordenada independente o tempo fictício oriundo da transformação do tipo Sundman na versão da anomalia excêntrica. Significa di zer que a estabilização, bem como a regularização são feitas sobre o sistema transformado.

A necessidade de se obter o vetor de estado em um tempo físico qualquer, obriga a integração da equação base da transformação de tempo, que para movimento perturbado só tem solução numérica. O tempo físico é então avaliado com um certo erro numérico embutido e este contribui de forma significativa na obtenção dos erros em posição e velocidade no tempo físico final.

O uso do elemento de tempo introduz melhoramentos em ter mos de precisão na avaliação da coordenada de tempo físico, sendo que seu efeito é mais perceptível quando propagações são efetuadas em integradores de mais baixa ordem, quarta por exemplo.

Deve ser ressaltado que embora os testes computacionais efetuados tenham sido feito sobre uma órbita padrão exceto quanto a excentricidade, a tendência de resultados apresentados nas tabelas e gráficos deste trabalho manter-se-ía caso a propagação se verificasse em uma órbita padrão diferente, embora pudessem ocorrer deslocamentos para mais ou para menos nas dimensões dos erros obtidos, deslocamentos estes relacionados principalmente ao semi-eixo orbital, ou seja, um semi-eixo menor implicaria em erros proporcionalmente menores de uma forma geral.

Segundo conclusões quanto ao erro global da coordenada de tempo físico obtidas no Capítulo 8, a região do perigeu é uma região crítica para se obter a saída do sistema ao término da propagação, pois é nela que estão localizados os pontos de máximo da curva de erro global. Esta região foi precisamente a escolhida para compor todos os testes des te trabalho, o que significa dizer que trabalhou-se com a pior das pos síveis situações quanto ao término da propagação.

Finalizando-se este tópico, pode ser dito que as formula ções apresentadas mostraram-se, de uma forma geral, superiores à formulação em tempo físico e ainda, quase não oneram em tempo de processamen to, viabilizando assim suas utilizações em problemas reais de satélites artificiais.

10.2 - CONCLUSÕES QUANTO AO CUSTO E PRECISÃO DE RESULTADOS

Neste tópico, todos os conjuntos dinâmicos (integrador mais formulação empregada) são relacionados entre si quanto a precisão de resultados e quanto ao custo do processamento. As tabelas e os gráficos foram confrontados suscintamente e chegou-se a conclusões quanto a eficiência dos diversos conjuntos. Com o objetivo de se fazer uma síntese global, quatro tabelas contendo critérios que julgam a eficiência de cada conjunto foram criadas, correspondentes a quatro intervalos bem definidos de excentricidade. Adotou-se os seguintes símbolos representativos para o julgamento quanto a precisão de resultados:

```
( *** = ÓTIMO )
( ** = BOM )
( * = REGULAR )
( - = INSUFICIENTE)
```

E quanto a eficiência em tempo de processamento:

```
( A = ÓTIMO )
( B = BOM. )
( C = REGULAR )
```

guir:

As tabelas contém outros símbolos que são definidos a se

```
CRIT = CRITÉRIO

PREC = PRECISÃO NA OBTENÇÃO DO VETOR DE ESTADO

CPU = CUSTO DE PROCESSAMENTO

C/ET = COM ELEMENTO DE TEMPO

S/ET = SEM ELEMENTO DE TEMPO

TF = SISTEMA EM TEMPO FÍSICO

RK4 = RUNGE-KUTTA DE QUARTA ORDEM

RK8 = RUNGE-KUTTA DE OITAVA ORDEM

PC8 = PREDITOR-CORRETOR DE OITAVA ORDEM
```

Além dos intervalos de excentricidade, as tabelas con sideram também os diferentes tamanhos de passo T/60, T/40 e T/20 na ava liação da eficiência dos diversos conjuntos, sendo que considerou-se os testes com movimento perturbado devido ao segundo harmônico do geopoten cial para a composição das tabelas, que são apresentadas a seguir.

TABELA 10.1

EFICIÊNCIA DOS DIFERENTES CONJUNTOS PARA EXCENTRICIDADES NO INTERVALO [0.0,2]

INTEG.	PASSO	CRIT	TF	TRA	NSF.	EST	AB.	REGU	几.
÷				C/ET	S/ET	C/ET	S/ET	C/ET	S/ET
	T/60	PREC	-	***	*	***	**	***	***
		CPU	A	A	A	Α.	A	A	A
RK4	T/40	PREC	_	**			*	***	**
		CPU	A	A	A.	A	A	A	A
	T/20	PREC	_		-	-		_	
	1 .	CPU	A	A	A	A	A	A	A
	T/60	PREC		***	***	***	***	***	***
		CPU	В	C	В	С	, C	С	C
RK8	T/40	PREC		***	***	***	***	***	***
·		CPU	A	В	В	В	В	C	C
	T/20	PREC	-	***	***	***	***	***	***
	1	CPU	A	l A	Α .	A	Α	В	В
	T/60	PREC ·	***	***	***	***	***	***	***
		CPU	A	A	A	A	A	A	A
PC8	T/40	PREC	-	***	**	***	***	***	***
	-	CPU	A	A	A	A	A	A	A
	T/20	PREC		*	*	*	***	***	***
	<u> </u>	CPU	A	A	A	A	· A	А	A

TABELA 10.2

EXCENTRICIDADES NO INTERVALO [0,2,0,4]

INTEG.	PASSO	CRIT	TF	TRA	NSF.	EST	AB.	REGU	兀.
				C/ET	S/ET	C/ET	S/ET	C/ET	S/ET
26	T/60	PREC		***	*	**	**	***	***
		CPU	А	Ä	A	A	A	A	Α
RK4	T/40	PREC		**	*		*	***	**
1/1/4		CPU	A	A	A	A	A	A	Α
	T/20	PREC	-	-	-			-	*
		CPU	Α.	A	A	A	A	А	Α.
	T/60	PREC	<u> </u>	***	***	***	***	***	***
		CPU	.В	С	В	С	С	С	С
RK8	T/40	PREC		***	***	***	***	***	***
KKO		CPU	А	В	В	С	C	С	С
	T/20	PREC	_	***	***	***	***	***	***
		CPU	A	A.	A	В	В .	<u>.</u> B	В
	T/60	PREC	_	***	***	***	***	***	***
		CPU	A	- A	, A	A	À	Α	A
PC8	T/40	PREC		***	. ***	***	***	***	***
FCO		CPU	. A	А	A	A	A	A	A
W-	T/20	PREC		*	***	*	***	***	***
		CPU	А	A	A	A	A.	Ά	A

TABELA 10.3

EXCENTRICIDADES NO INTERVALO [0,4 , 0,6]

INTEG.	PASSO	CRIT	TF	TR	ANSF.	ESTA	AB.	REGU	JL.
	. 1			C/ET	S/ET	C/ET	S/ET	C/ET	S/ET
	т/60	PREC	_	* .		***	***	***	***
		CPU	А	A	A	A	A	А	A
RK4	T/40	PREC	_		-	.**	*	***	**
KK4		ĊPU	A	l A	A	A	A	A	A
	T/20	PREC	_		-			***	*
		CPU	A	A	A	A	А	A	A
	T/60	PREC	-	***.	***	**	***	***	***
		CPU	В	С	В	C	C	C .	C
RK8	T/40	PREC		***	***	**	***	***	***
KNO		CPU	A.	В	В	С	С	С	С
	T/20	PREC	_	***	***	**	***	***	***
*		CPU	A	A	. A	В	В	В	В
¥-	T/60	PREC		***	***	***	***	***	***
		CPU	A	A	A	А	Α	A	А
PC8	T/40	PREC	l -	***	***	***	***	***	***
FCO		CPU	A	A	A.	A	А	A	A
	T/20	PREC	_	**	***	*	***	***	***
*		CPU	A	A	A	A	A	A	А

TABELA 10.4

EFICIÊNCIA DOS DIFERENTES CONJUNTOS PARA EXCENTRICIDADES NO INTERVALO [0,6 , 0,8 [

INTEG.	PASSO	CRIT	TF	TRA	NSF.	ES	TAB.	REG	UL.
	•			C/ET	S/ET	C/ET	S/ET	C/ET	s/et
	T/60	PREC	_	_	-	***]	***	***
		CPU	A	·A	A	A	A	A	A
RK4	T/40	PREC			-	***	_	***	**
		CPU	A	A	A	A	A	Α	A
	T/20	PREC		-	-			***	*
		CPU	A	A	A	A	A	A	A
	т/60	PREC	_	***	***	**	***	***	***
		CPU	В	С	В	С	С	С	С
RK8	T/40	PREC	-	***	***	**	***	***	***
ruto		CPU	A	В	B [']	С	C	С	С
	T/20	PREC		**	*	**	***	***	***
		CPU	A	A	A	В	В.	В	С
	T/60	PREC	-	***	***	***	***	***	***
		CPU	A	. A	A	A	A	A	A
PC8	T/40	PREC	-	***	***	***	***	***	***
100		CPU	A	A	A	A	_ A	A	A
4	T/20	PREC		_	·*	*	***	**	***
		CPU	A	A	A	Α .	А	·A	A

As tabelas apresentadas neste tópico já são conclusivas e dispensam maiores comentários, devendo-se observar no entanto, que o critério de eficiência precisão é absoluto em cada intervalo de excentricidade, sendo relativo no geral, ou seja, a precisão ótima para a excentricidade 0,8 é insuficiente para a excentricidade nula. Já o critério de tempo de processamento é sempre absoluto, independendo da excentricidade.

As quatro últimas tabelas permitem que se monte uma última tabela, que dará uma idéia global da eficiência de cada formulação. Nos testes deste trabalho, cada formulação foi propagada em três integradores e em cada integrador com três diferentes tamanhos de pas so. Sendo quatro os intervalos de excentricidades contidos nas últimas tabelas, significa dizer que são trinta e seis resultados apresentados para cada formulação. Contou-se quantos foram os resultados para cada formulação, que apresentaram precisão ótima e tempo de processamento ótimo, estando os dados dispostos na tabela seguinte.

QUANTIDADE DE RESULTADOS ÓTIMOS DAS DIFERENTES FORMULAÇÕES, EXTRAÍDOS DE UM TOTAL DE TRINTA E SEIS RESULTADOS APRESENTADOS

FORMULAÇÃO	RES. ÓTIMOS	% TOTAL		
TF ·	1	2,77.		
TRANSF.	12	33,33		
TRANSF. C/ET	13	36,11		
ESTAB.	14	38,88		
ESTAB. C/ET	14	38,88		
REGUL.	17	47,22		
REGUL. C/ET	21	58,33		

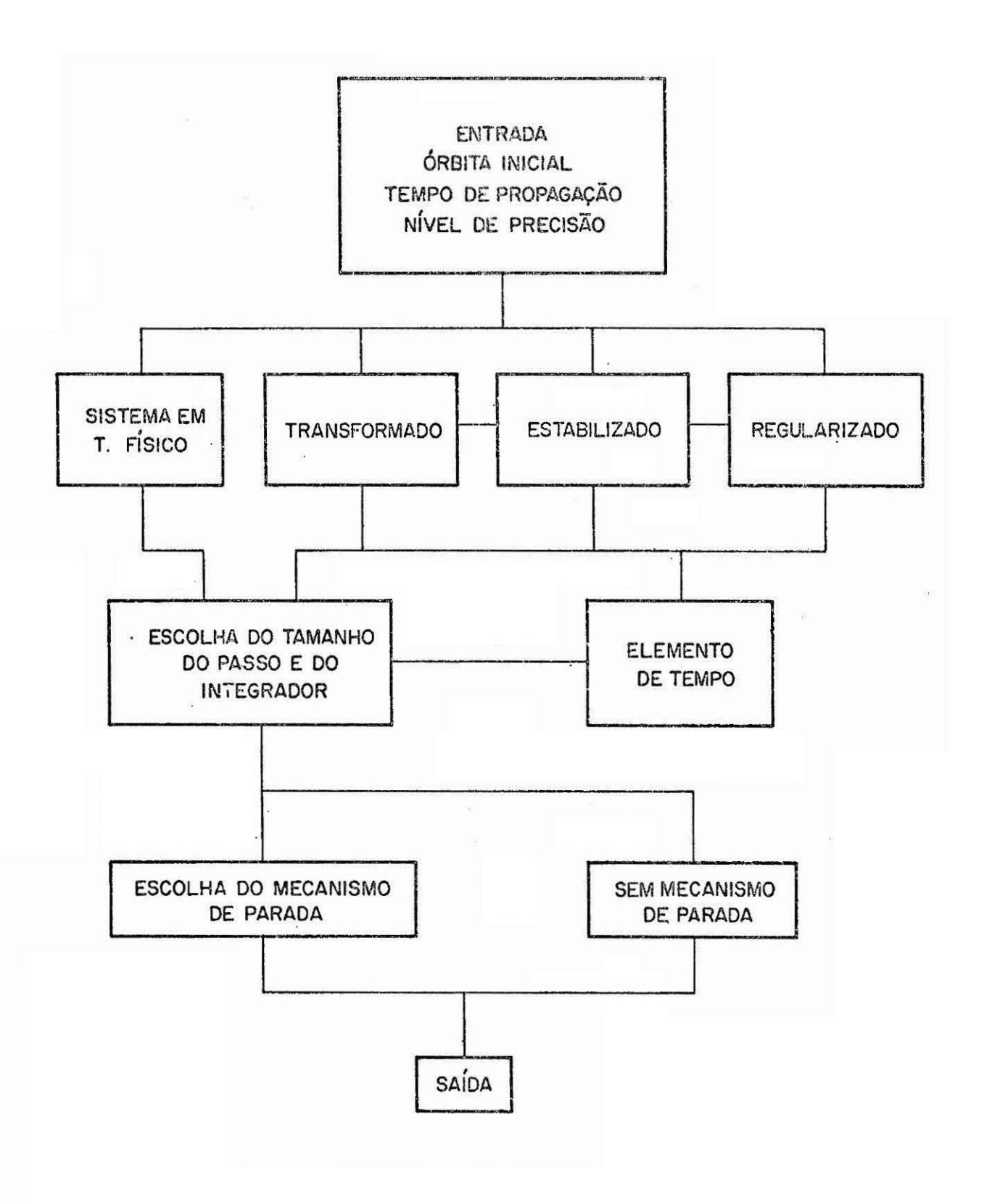
Percebe-se que a formulação regularizado com elemento de tempo foi a mais eficiente dentre as sete formulações pesquisadas neste trabalho, apresentando um rendimento ótimo de 58,33%.

10.3 - SUGESTÃO PARA FUTURAS APLICAÇÕES

As Tabelas 10.1 a 10.4 fornecem dados para a tomada de decisão em um possível "software" para propagação numérica de órbita. Es te "software" teria um sistema de gerenciamento que seria autônomo para tomar decisões, tais como as escolhas da formulação, do integrador, do tamanho do passo e do mecanismo de parada no tempo físico final, tudo em função da órbita inicial, do tempo de propagação e de um nível de precisão desejável, que seriam os dados de entrada no sistema de gerenciamento. Um fluxograma simplificado é apresentado a seguir.

Os níveis de precisão seriam três, sendo representados por caracteres que os identificassem como níveis regular, bom e ótimo. Minimizar o tempo de processamento seria tarefa do gerenciador do "soft ware". Os sistemas transformado, estabilizado e regularizado teriam as opções com e sem elemento de tempo, as escolhas do integrador e do tama nho do passo e a escolha do mecanismo de parada, que poderia inclusive ter um estimador do erro da coordenada de tempo físico ao término da propagação.

Nunca tem-se acesso a realidade plena de um fenômeno físico. Seja na previsão ou na observação, distorções ocorrem que a inibem parcialmente. Este trabalho tenta dar uma contribuição, ainda que peque na, para a ampliação do contato com a realidade física em uma propaga ção orbital, sendo que cada capítulo pode ser estudado de forma mais aprofunda no futuro, caracterizando assim possíveis continuações em trabalhos afins.



REFERÊNCIAS BIBLIOGRÁFICAS

- PATE, R.R.; MUELER, D.D.; WHITE, J.F. Fundamentals of Astrodynamics. New York, N.Y., Dover, 1971.
- BAUMGARTE, J. Numerical Stabilization of Differential Equations of Keplerian Motion. Celestial Mechanics, 5(4):490-501, July 1972.
- BOND, V.R. A transformation of Two-Body Problem. Celestial Mechanics, 35(1):1-7, Jan. 1985.
- BROWER, D.; CLEMENCE, G.M. Methods of Celestial Mechanics. New York, N.Y., Academic, 1961.
- ESCOBAL, P.R. Methods of Orbit Determination. New York, N.Y., John Wiley, 1965.
- FERRER, S.; SEIN-ECHALUCE, M.E. Generalizad Sundman's Transformation for the Perturbad Two-Body Problem. Celestial Mechanics, 32(4): 333-347, Apr. 1984.
- FERRONSKY, V.I.; DENISIK, S.A.; FERRONSKY, S.V. The Liapunov Stability of Motion. Celestial Mechanics, 35(1):23-43, Jan. 1985.
- HEINSKANEN, W.A.; MEINESZ, F.A.V. The Earth and Its Gravity Field. New York, N.Y., McGraw-Hill, 1958.
- HEINSKANEN, W.A.; MORITZ, H. Physical Geodesy. San Francisco, C.A., W.A. Freeman, 1967.
- HENRICI, P. Discrete Variables methods in Ordinary Differential Equations. New York, John Wiley, 1962.
- JANIN, G. Acurate Computation of Highly Eccentric Satellite Orbits. Celestial Mechanics, 10:451-467, 1974.
- JANIN, G.; BOND, V.R. A General Time Element for Orbit Integration in Cartesian Coordinates. Advances Space Research, 1:69-78, 1981.
- KAPLAN, M.H. Modern Spacecraft Dynamics and Control. New York, N.Y., John Wiley, 1976.
- KAULA, W.M. Theory of Satellite Geodesy. Blaisdell, 1966.

- KUGA, H.K.; SILVA, W.C.C. Gerador Numérico de Órbitas de Satelites

 Artificiais Terrestres. São José dos Campos, INPE, 1984.

 (INPE-3050-RPE/455).
- KUSTAANHEIRO, P. Spinor Regularization of the Kepler Motion. Ann. Univ. Turkn., Ser. AI, 73, 1964).
- LALA, P. Perturbation of the Satellite Orbit Due to Solar Radiation

 Pressure. NASA, National Geodetic Satellite Program, Washington,
 1977.
- LAMBERT, P. Computational Methods in Ordinary Differential Equation.
 New York, John Wiley, 1979.
- LAPIDUS, I.; SEINFELD, J.H. <u>Numerical Solution of Ordinary</u> Differential Equations. London, Academic, 1971.
- Light Diffusily Reflected from the Earth. <u>Celestial Mechanics</u>, <u>15</u>(4):387-420, Aug. 1977.
- NACOZY, P.E. A Discussion of Time Transformation and Local Truncation Errors. Celestial Mechanics, 13(4):495-501, 1976b.
- The intermediate Anomaly. <u>Celestial Mechanics</u>, <u>16(2):309-314</u>, Nov. 1977.
- Time Element in Keplerian Orbital Elements. Celestial Mechanics, 23(2):173-198, Feb. 1981.
- Time Elements. In: COSPAR-IAU-IUTAM. Satellite Dynamics, Simposium Held in São Paulo, June 19-21, 1974. <u>Proceedings</u>. New York, Springer-Verlag, 1975, p. 16-26.
- SHAMPINE, L.F.; GORDON, M.K. Computer Solution of Ordinary
 Differential Equations. San Francisco, C.A., W.H. Freeman, 1975.
- SILVA, W.C.C.; FERREIRA, L.D.D. <u>Satélite Artificial Movimento Orbital</u>. São José dos Campos, INPE, 1984. (INPE-3163-RPE/458).
- STIEFEL, E.L.; SHEIFELE, G. <u>Linear and Regular Celestial Mechanics</u>. Berlin, Springer-Verlag, 1971.

- STOKS, A. General Time Elements for the Two-Body Problem. Celestial Mechanics, 17(2):137-144, Feb. 1978.
- VELEZ, C.E. Notions of Analitic Vs Numerical Stability as Aplied to the Numerical Calculation of Orbits. <u>Celestial Mechanics</u>, 10:405-422, 1974.
- Stabilization and Real World Satellite Problem. New York, Springer-Verlag, 1975, p. 136-153.
- VELEZ, C.E.; HILINSK, S. The Transformation and Cowell's Method. Celestial Mechanics, 17(1):83-99, Jan. 1978.
- VELTE, W. Concerning the Regularizing KS-Transformation. Celestial Mechanics, 17(4):395-404, May 1978.
- ZARE, K. Time Element for General Anomaly. The Journal of Astronautical Sciences, 31(4):561-567, Oct./Dec. 1983.

